

Anhang zu:

Beurteilung der Querkraft- und Torsionstragfähigkeit von Brücken im Bestand – erweiterte Bemessungsansätze

von

Josef Hegger
Martin Herbrand
Viviane Adam

RWTH Aachen
Lehrstuhl und Institut für Massivbau (IMB)

Reinhard Maurer
Philipp Gleich
Eva Stuppak

Technische Universität Dortmund
Lehrstuhl Betonbau

Oliver Fischer
Nicholas Schramm
Wolfgang Scheufler

Technische Universität München
Lehrstuhl für Massivbau

Konrad Zilch
Remus Tecusan

Zilch + Müller Ingenieure GmbH
München

**Berichte der
Bundesanstalt für Straßenwesen**

Brücken- und Ingenieurbau Heft B 150 – Anhang

bast



Lehrstuhl
und Institut
für Massivbau



tu technische universität
dortmund

Lehrstuhl Betonbau



Technische Universität München



ZM-I ZILCH + MÜLLER INGENIEURE

Schlussbericht

- Anhang -

des Instituts für Massivbau der RWTH Aachen

Gegenstand: Beurteilung der Querkraft- und Torsionstragfähigkeit von Brücken im Bestand
– erweiterte Bemessungsansätze

Auftraggeber: Bundesanstalt für Straßenwesen (BASt)
Brüderstraße 53
51427 Bergisch Gladbach

erstattet von: Univ.-Prof. Dr.-Ing. Josef Hegger
Univ.-Prof. Dr.-Ing. Reinhard Maurer
Univ.-Prof. Dr.-Ing. Oliver Fischer
Prof. Dr.-Ing. habil. Dr.-Ing. E.h. Konrad Zilch

Datum: Aachen, den 31. Oktober 2018

Projekt-Nr. BASt: FE 15.0591/2012/FRB

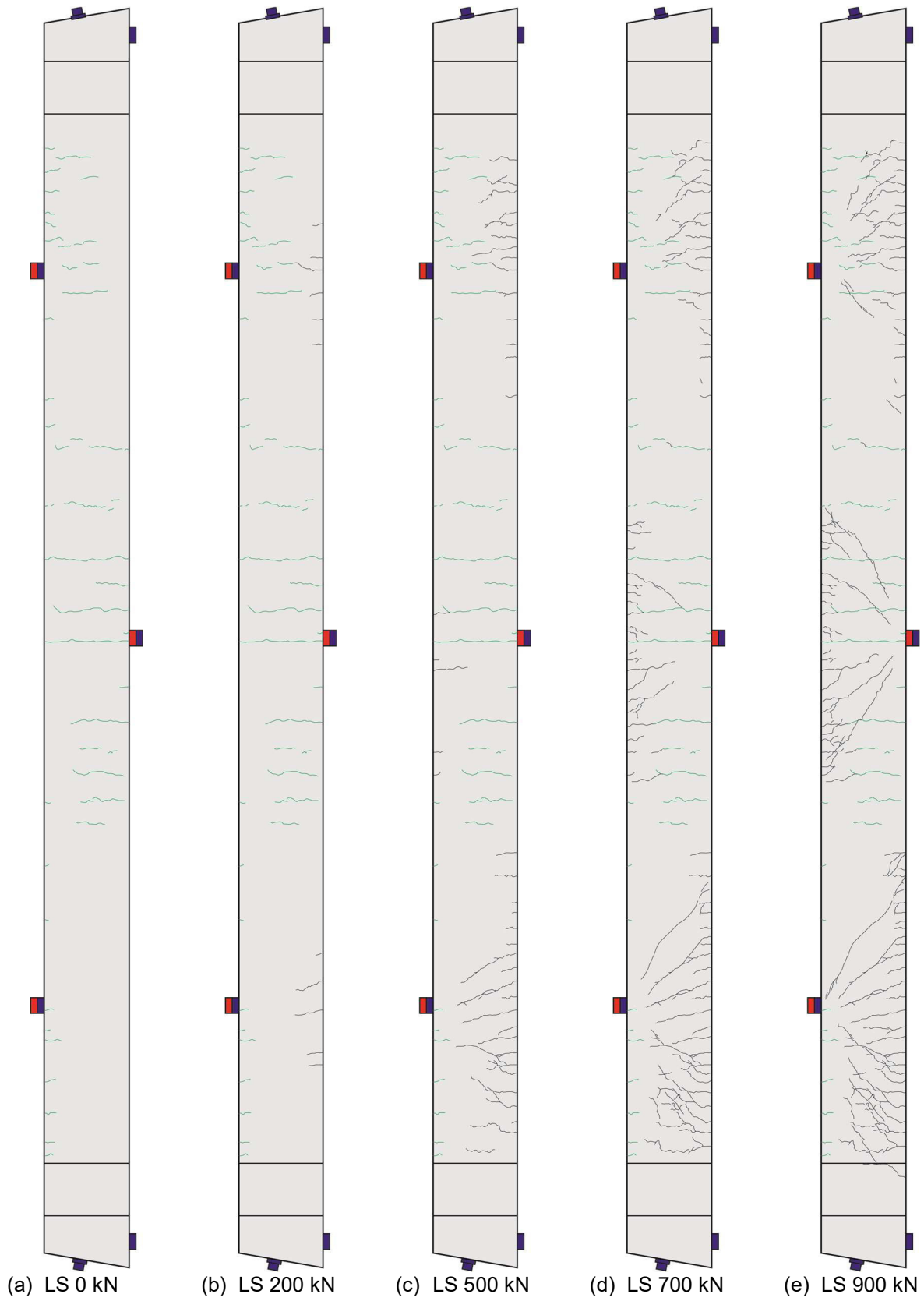
Projekt-Nr. IMB: F-2014-016

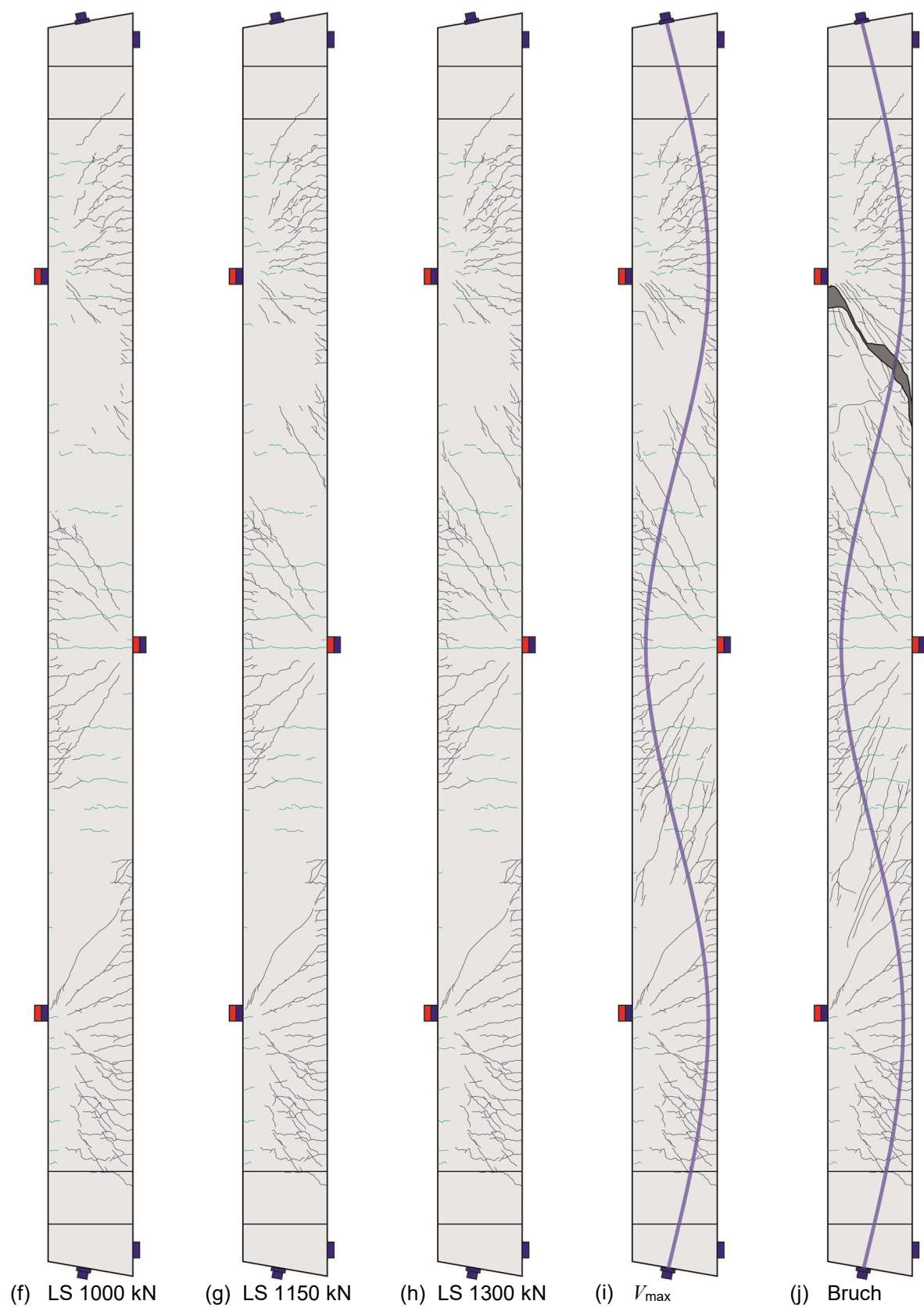
Dieses Dokument 96 Seiten zzgl. Deckblatt.

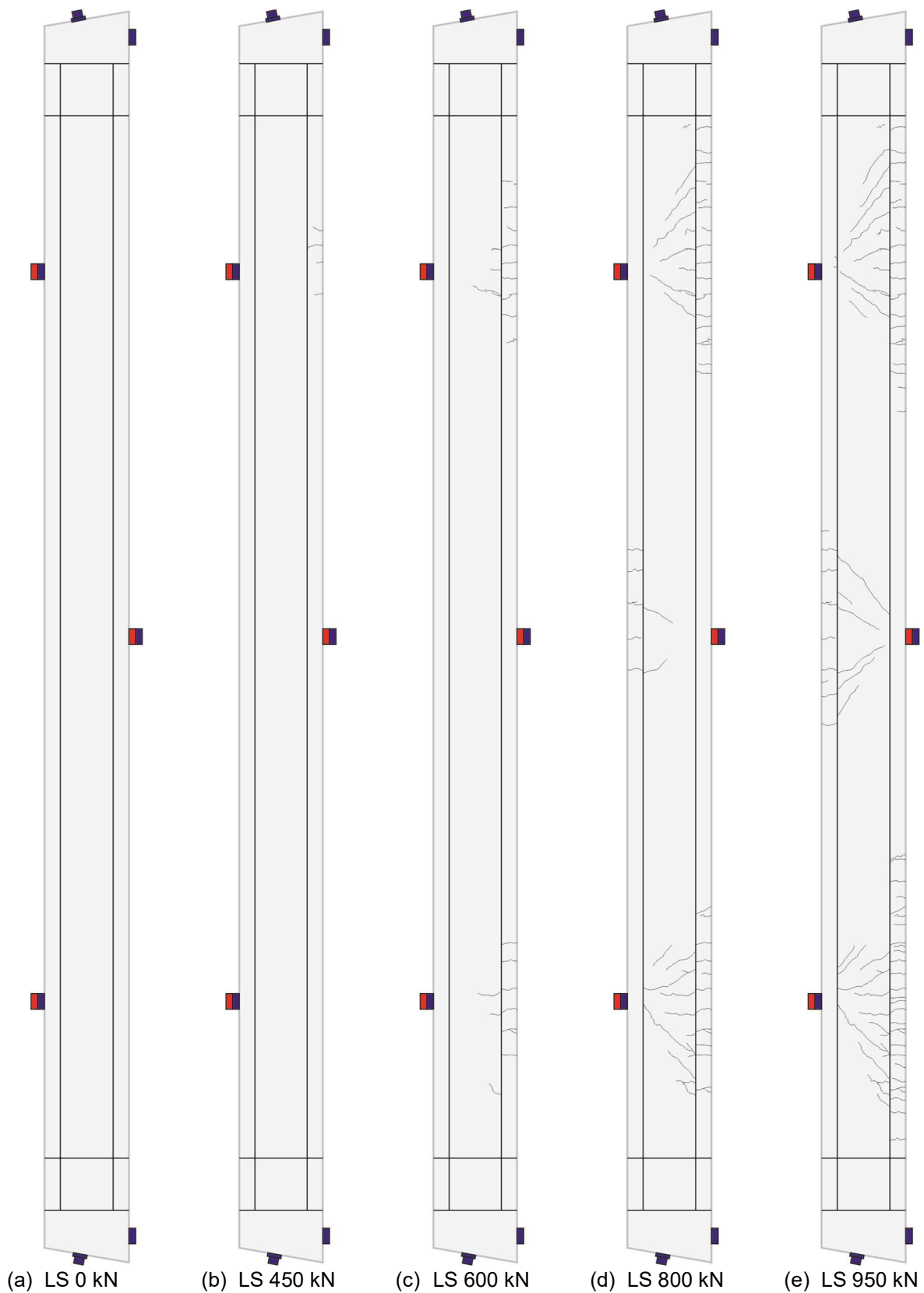
A.1 Messergebnisse – RWTH Aachen

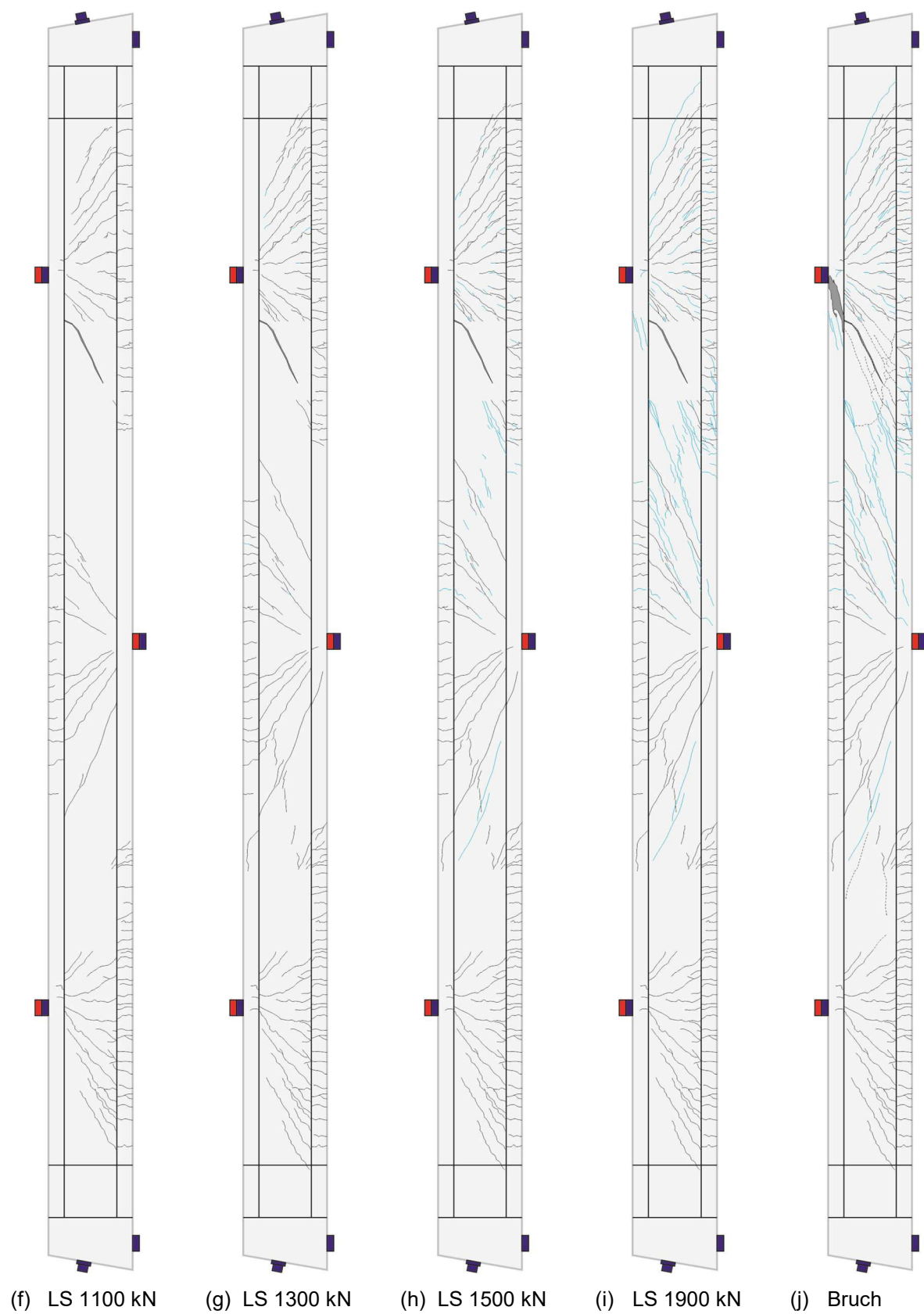
A.1.1 Rissbilder

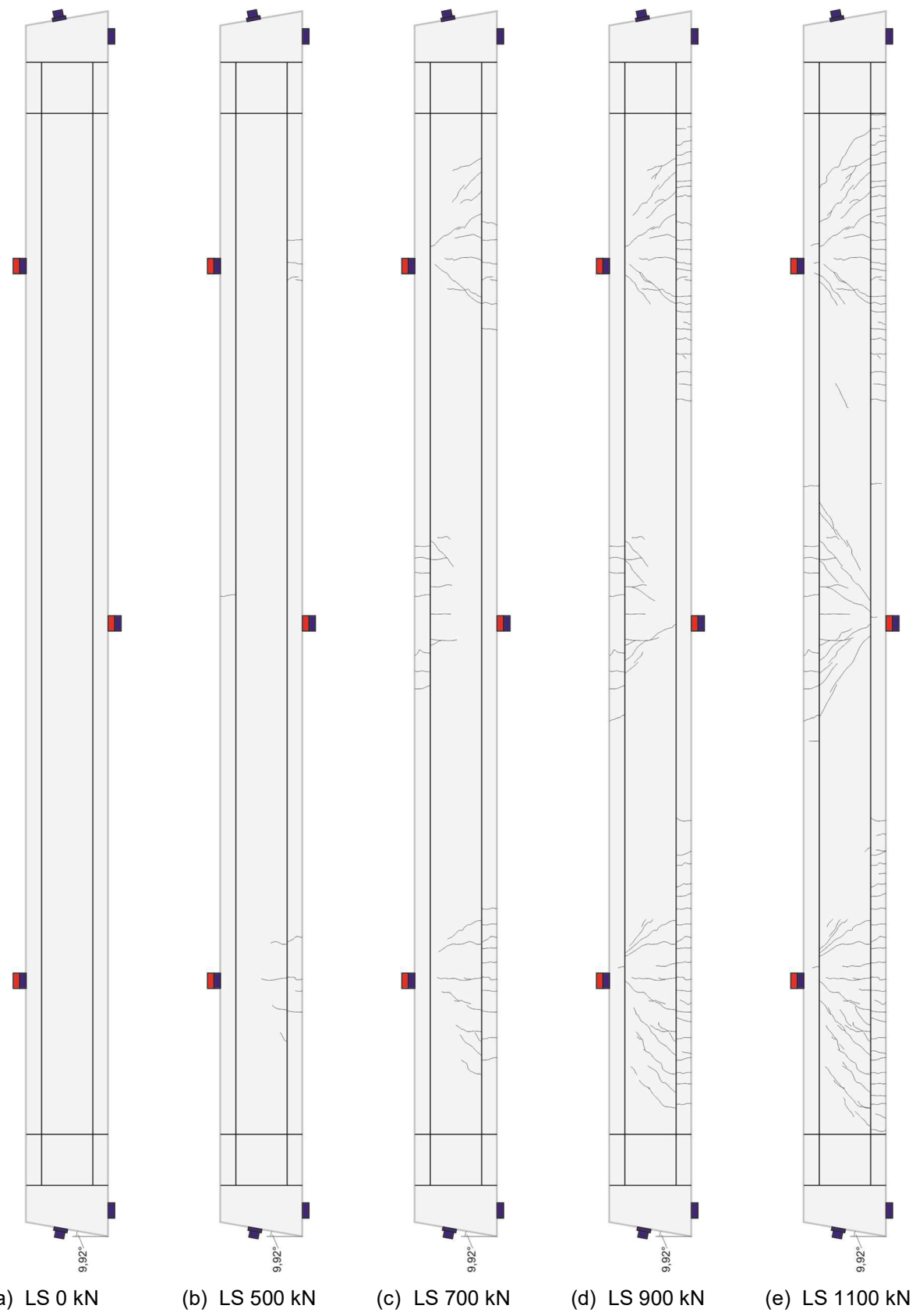
A.1.1.1 Versuchsträger DLT 1.1

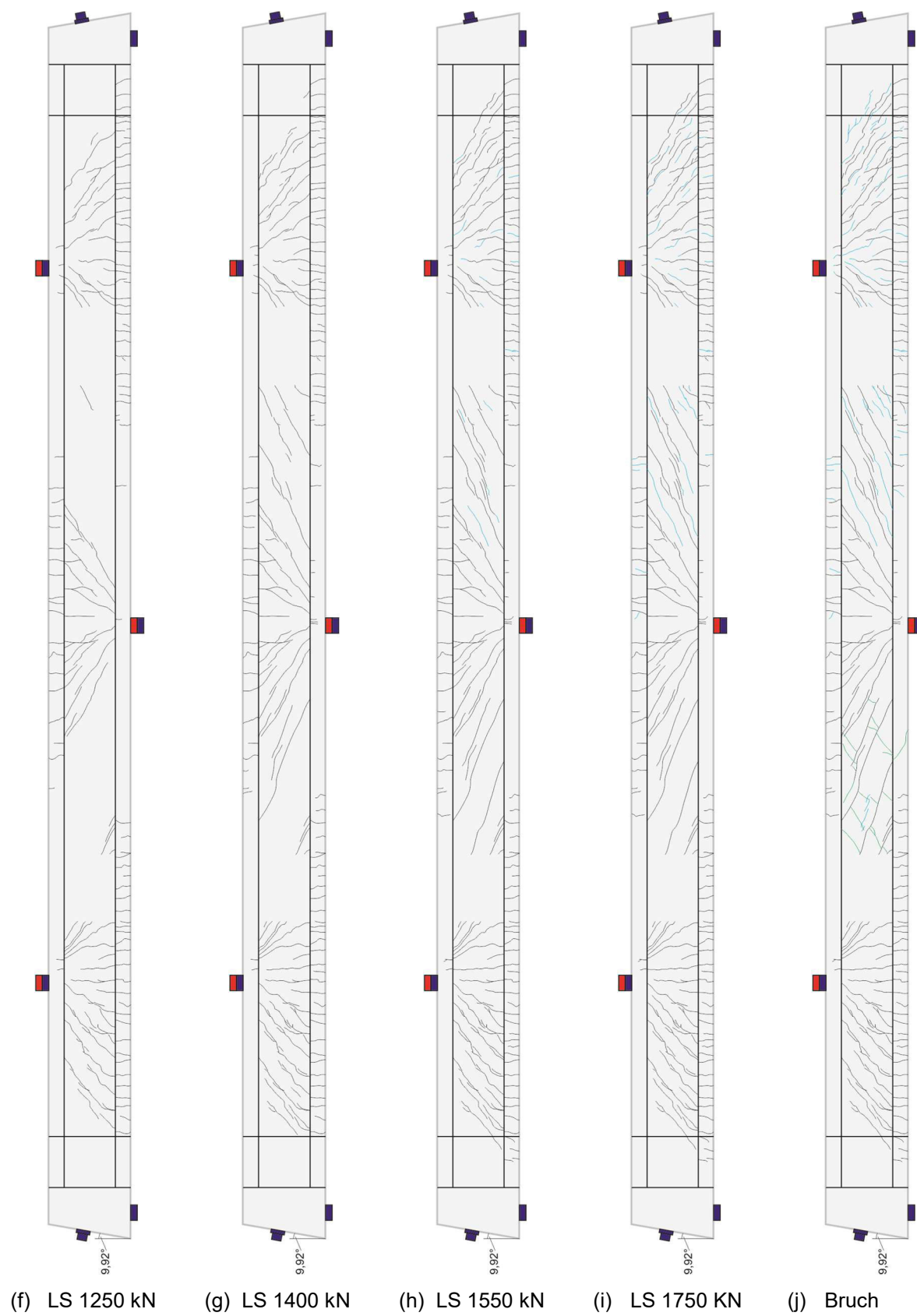


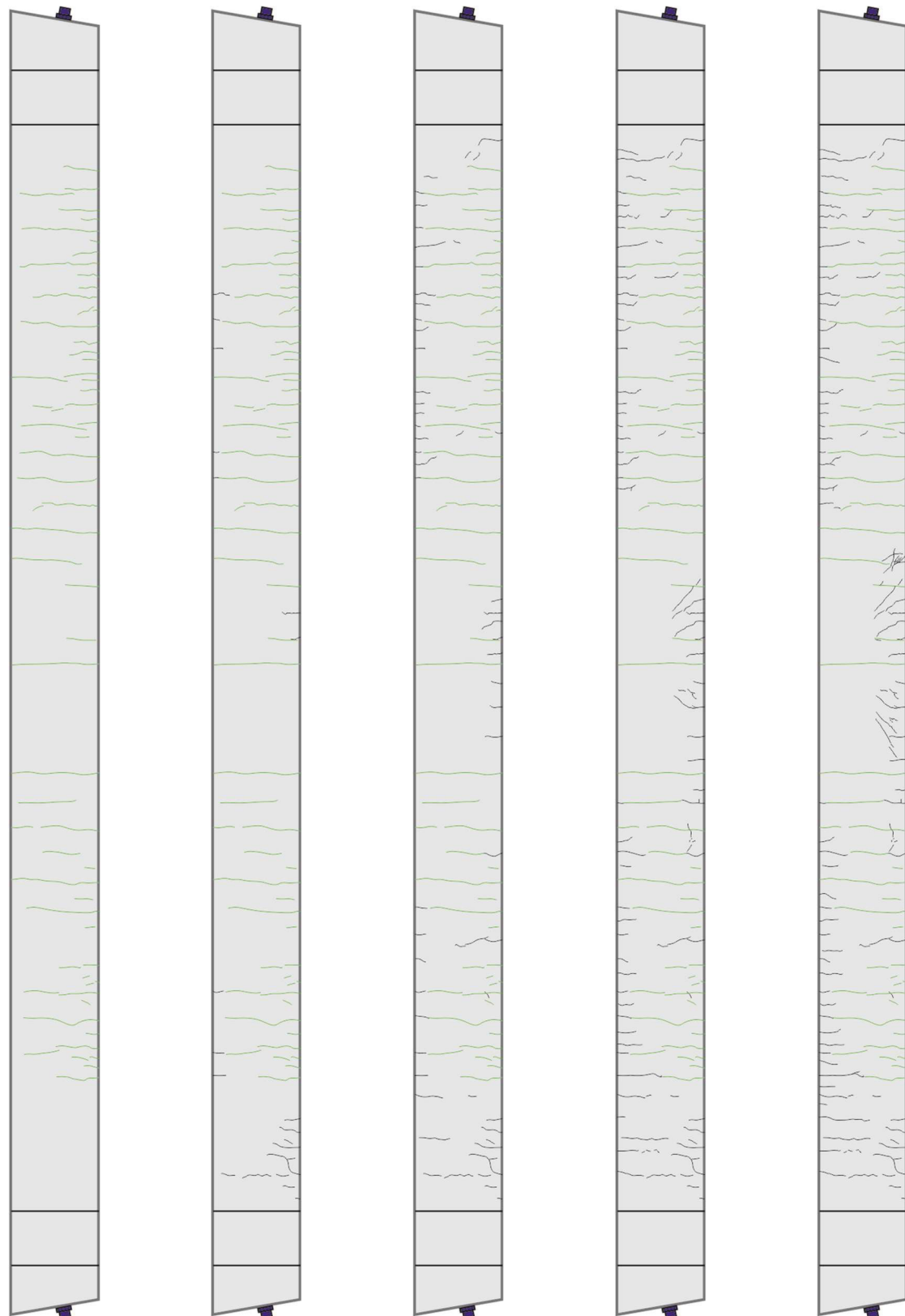


A.1.1.2 Versuchsträger DLT 1.2



A.1.1.3 Versuchsträger DLT 1.3



A.1.1.4 Versuchsträger DLT 1.4

(a) LS 0 kN/m

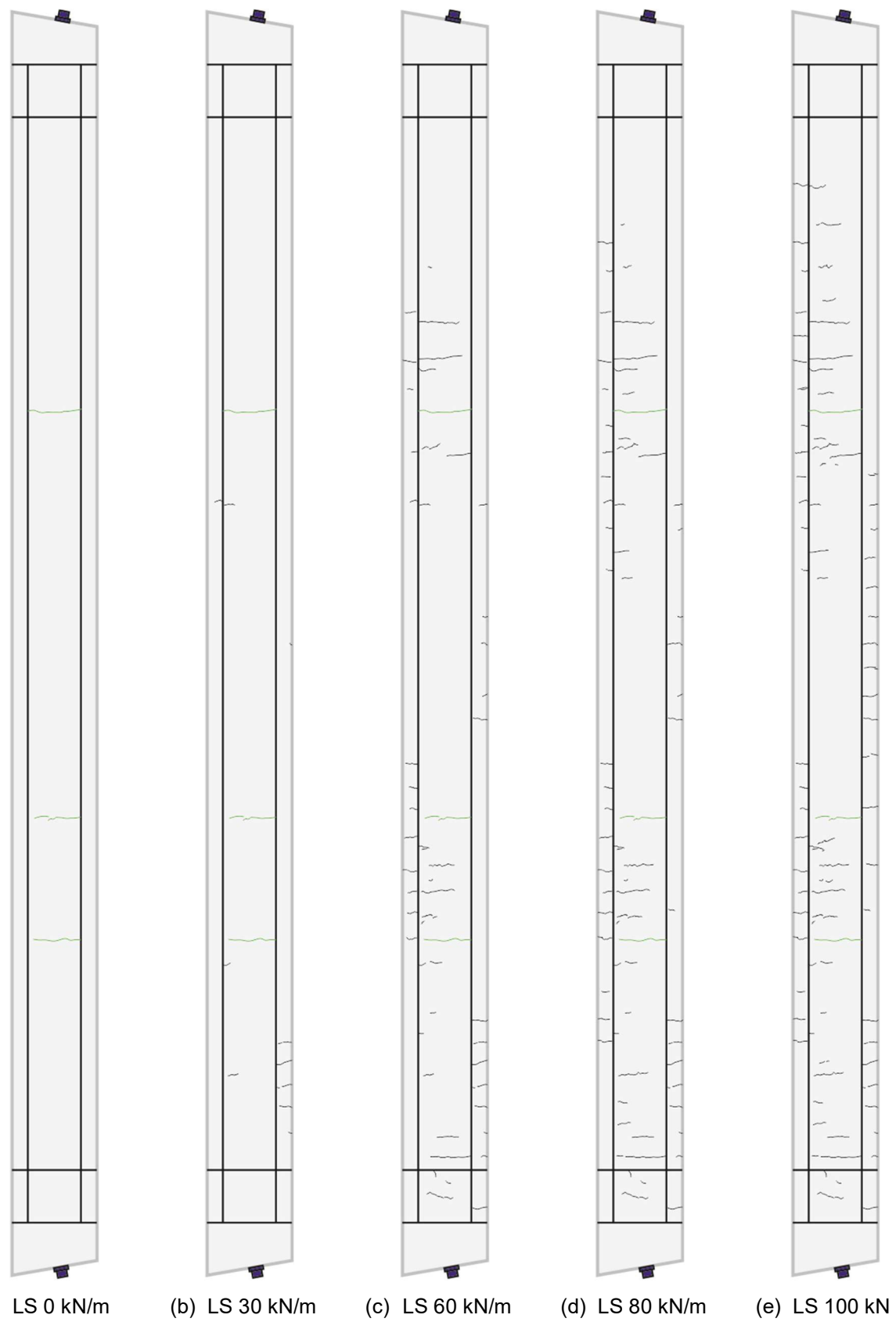
(b) LS 30 kN/m

(c) LS 60 kN/m

(d) LS 80 kN/m

(e) LS 100 kN/m



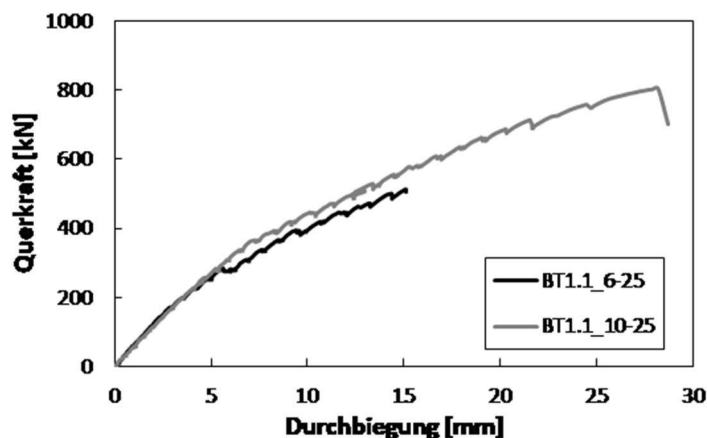
A.1.1.5 Versuchsträger DLT 1.5



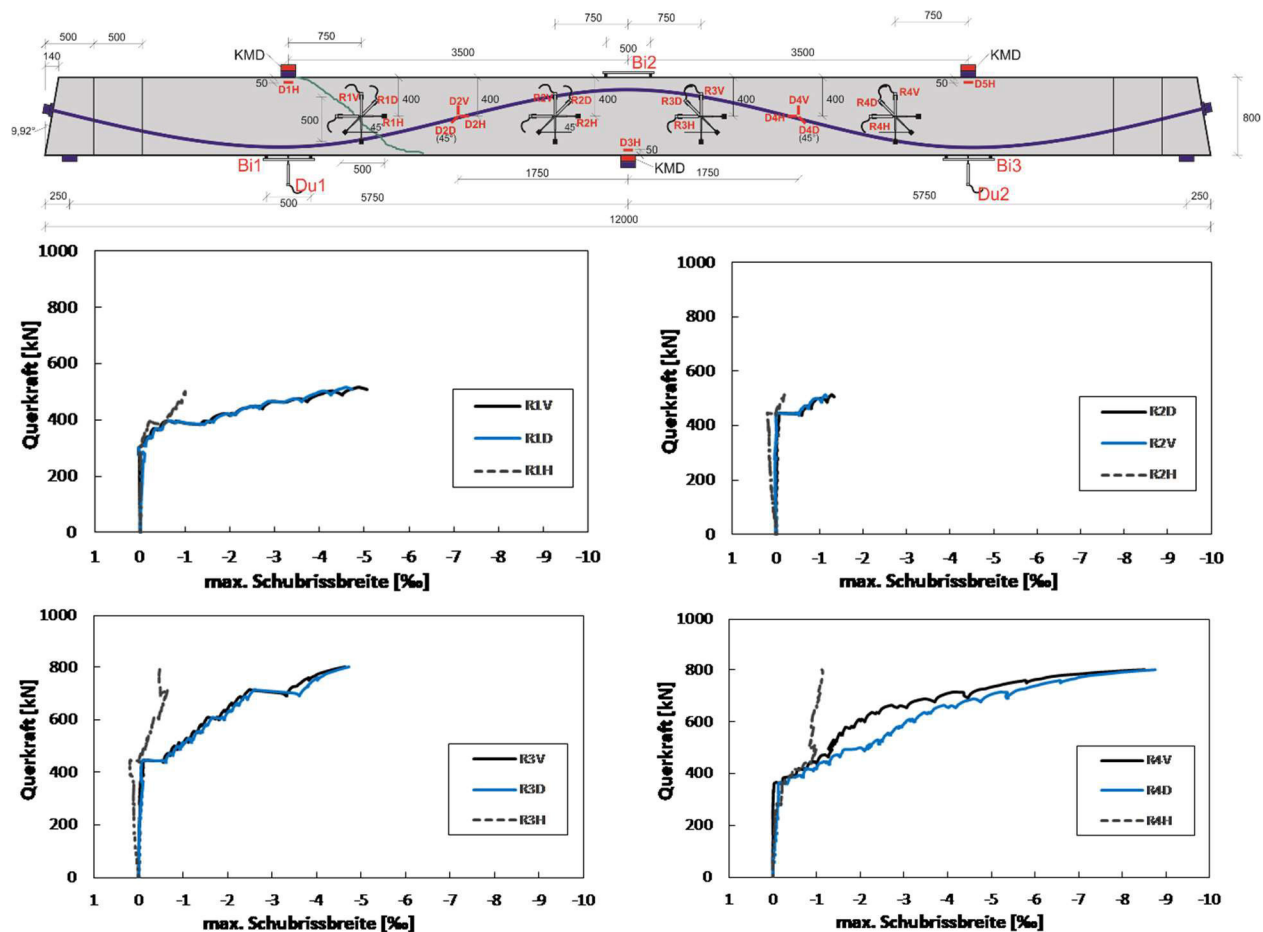
A.1.2 Bauteilverhalten

A.1.2.1 Messdaten DLT 1.1

Last-Verformungskurve

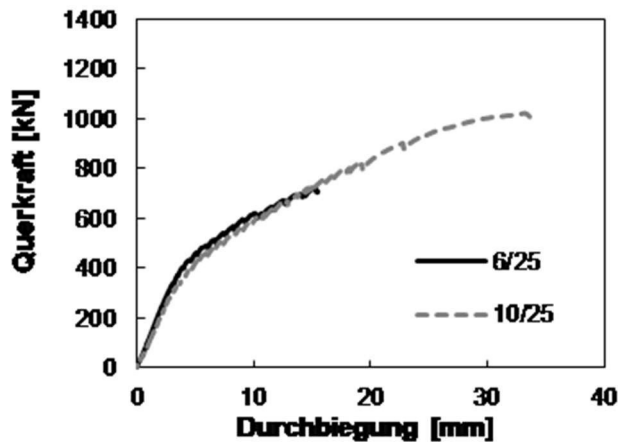


Schubrissöffnung

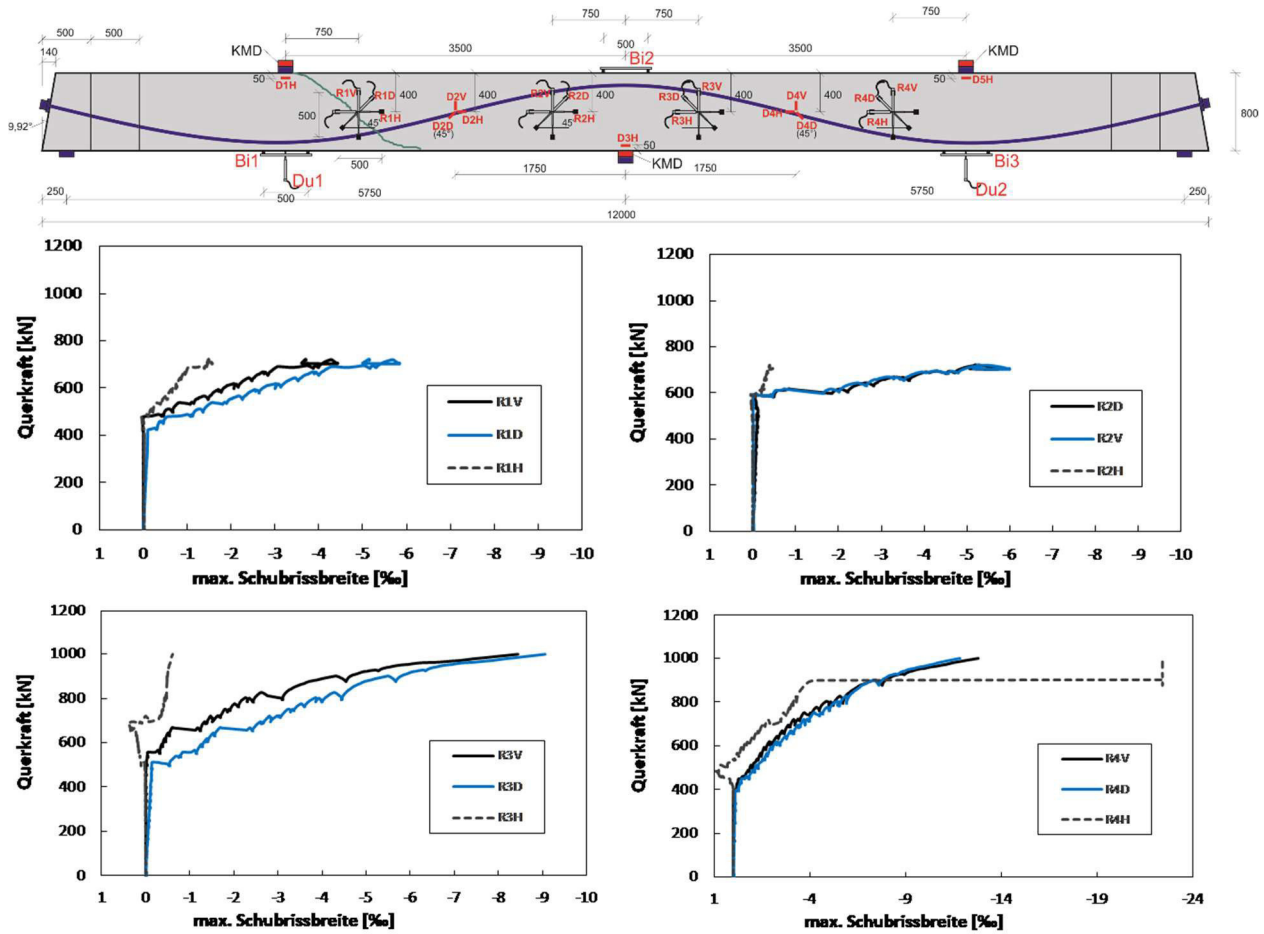


A.1.2.2 Messdaten DLT 1.2

Last-Verformungskurve

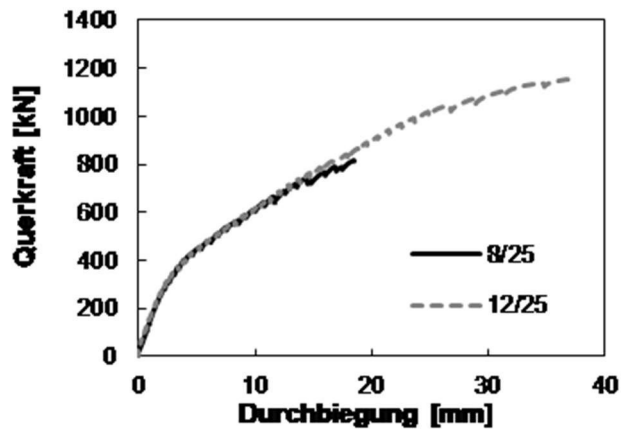


Schubrissöffnung



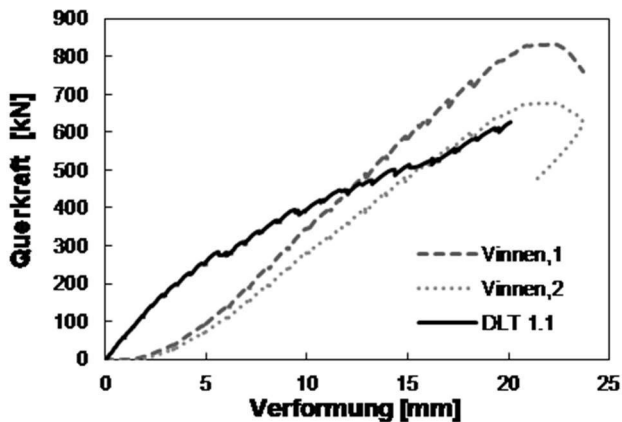
A.1.2.3 Messdaten DLT 1.3

Last-Verformungskurve



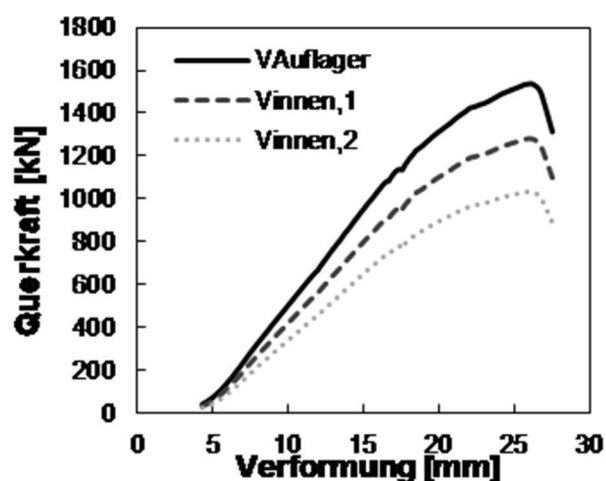
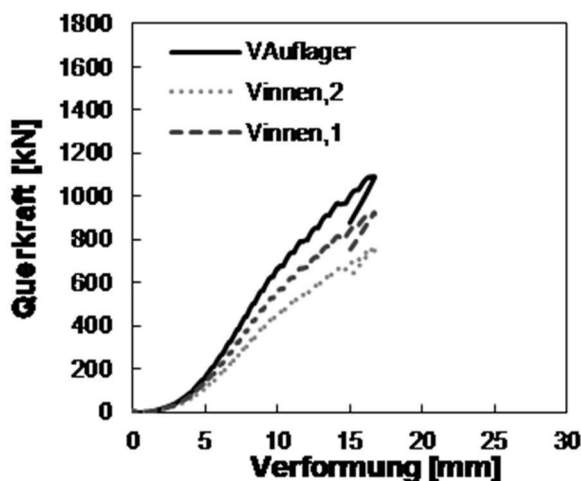
A.1.2.4 Messdaten DLT 1.4

Last-Verformungskurve



A.1.2.5 Messdaten DLT 1.5

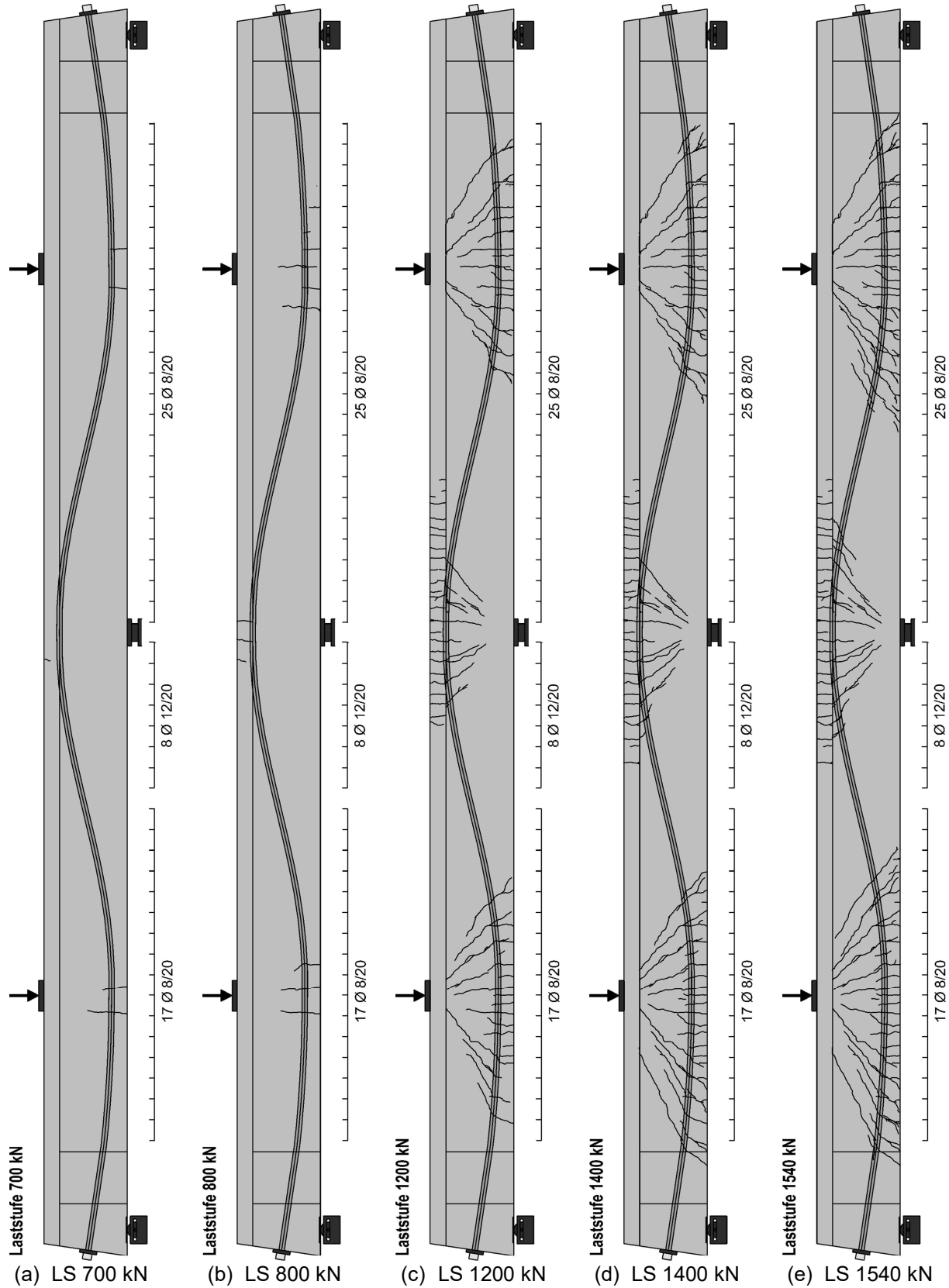
Last-Verformungskurve

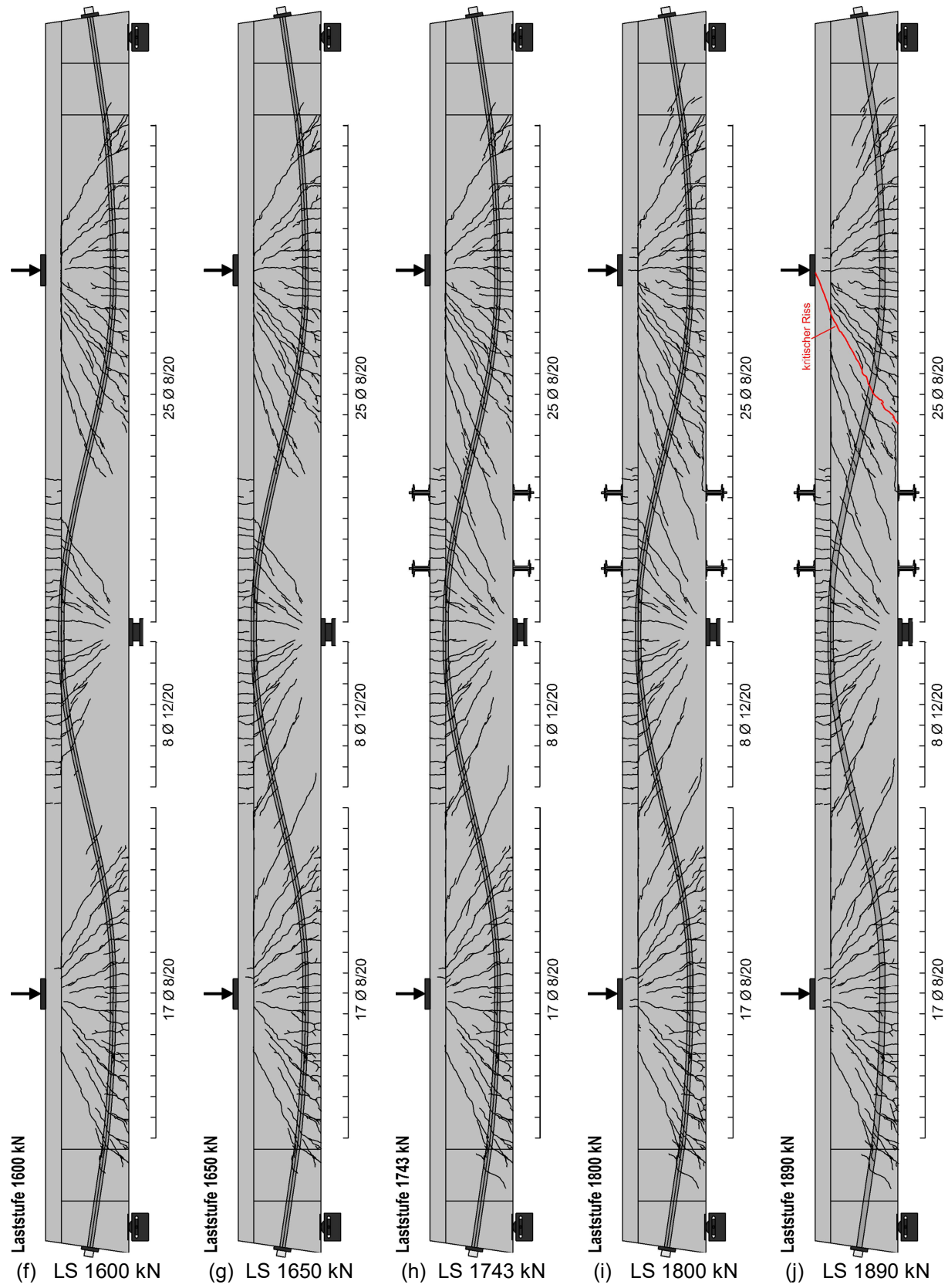


A.2 Messergebnisse – TU Dortmund

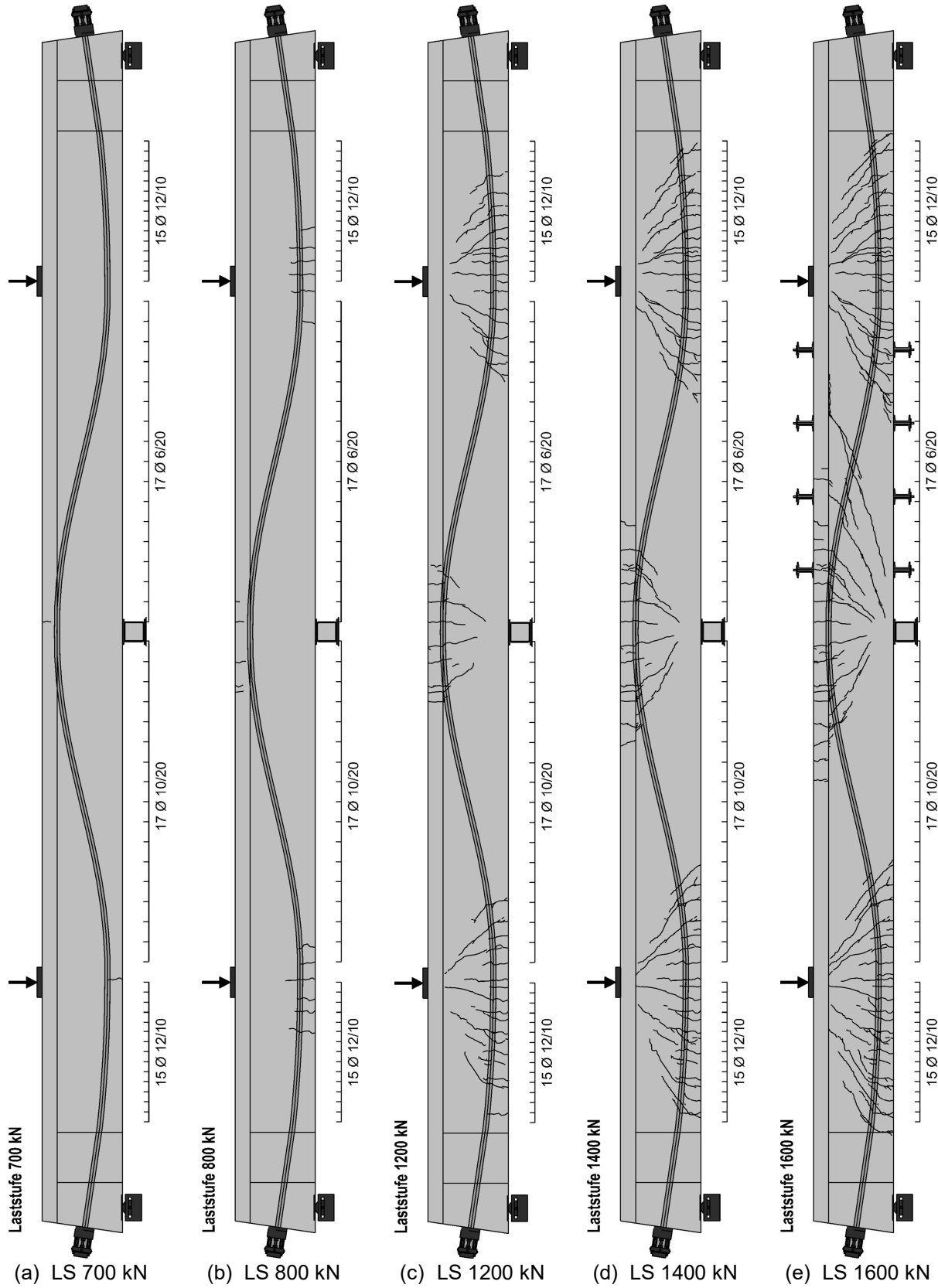
A.2.1 Rissbilder [GLEICH, 2018b]

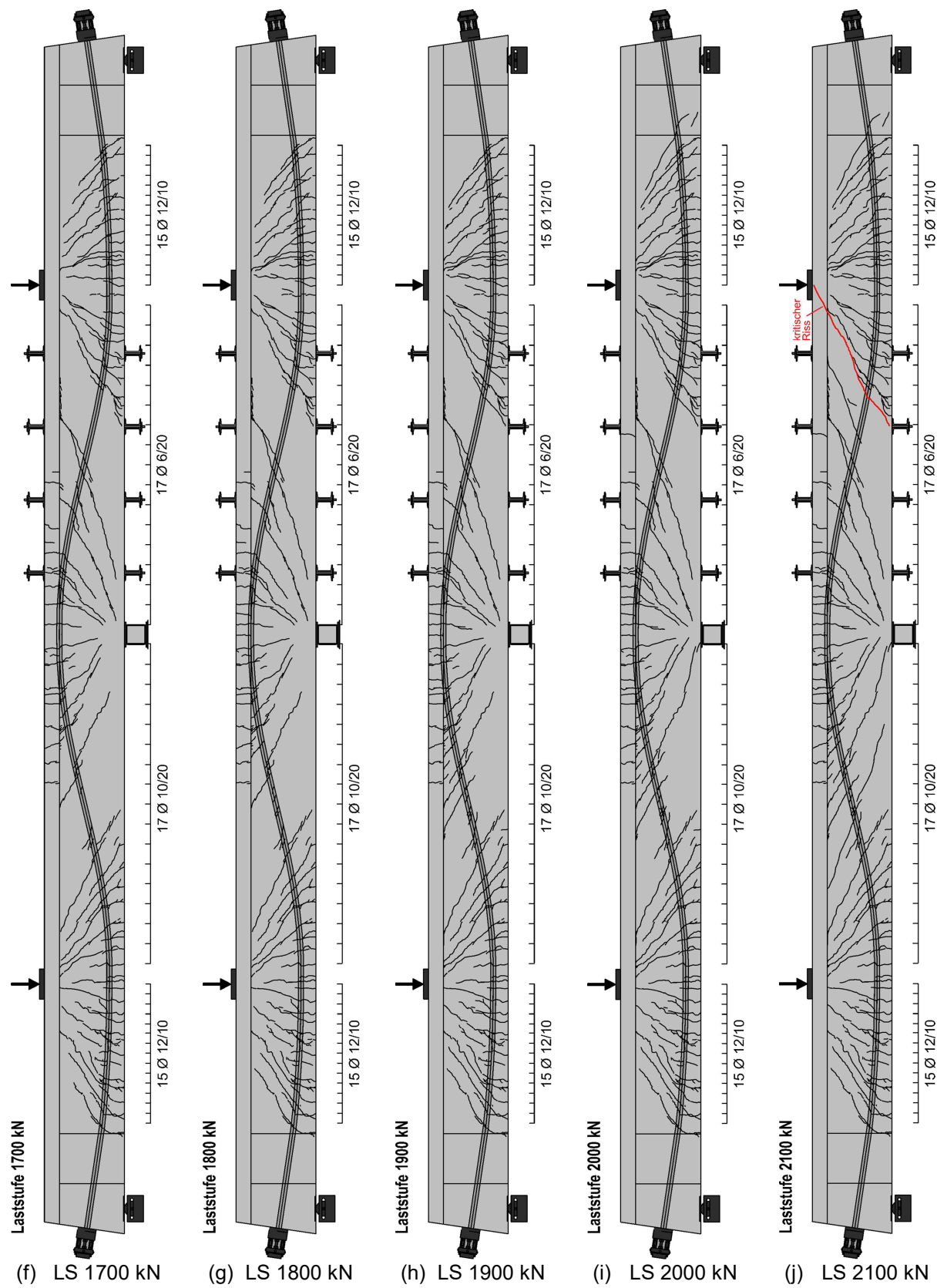
A.2.1.1 Versuchsträger DLT 2.1



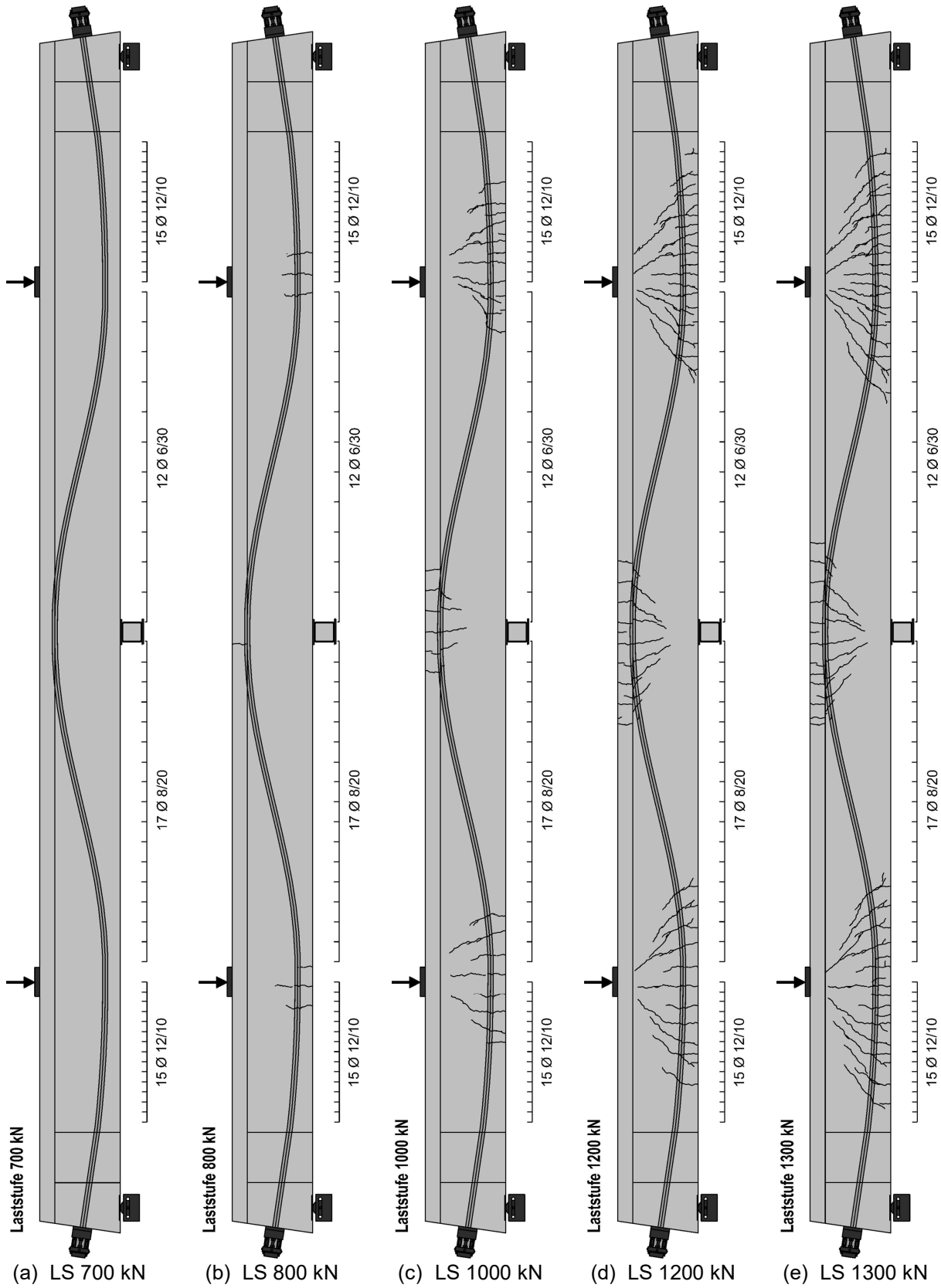


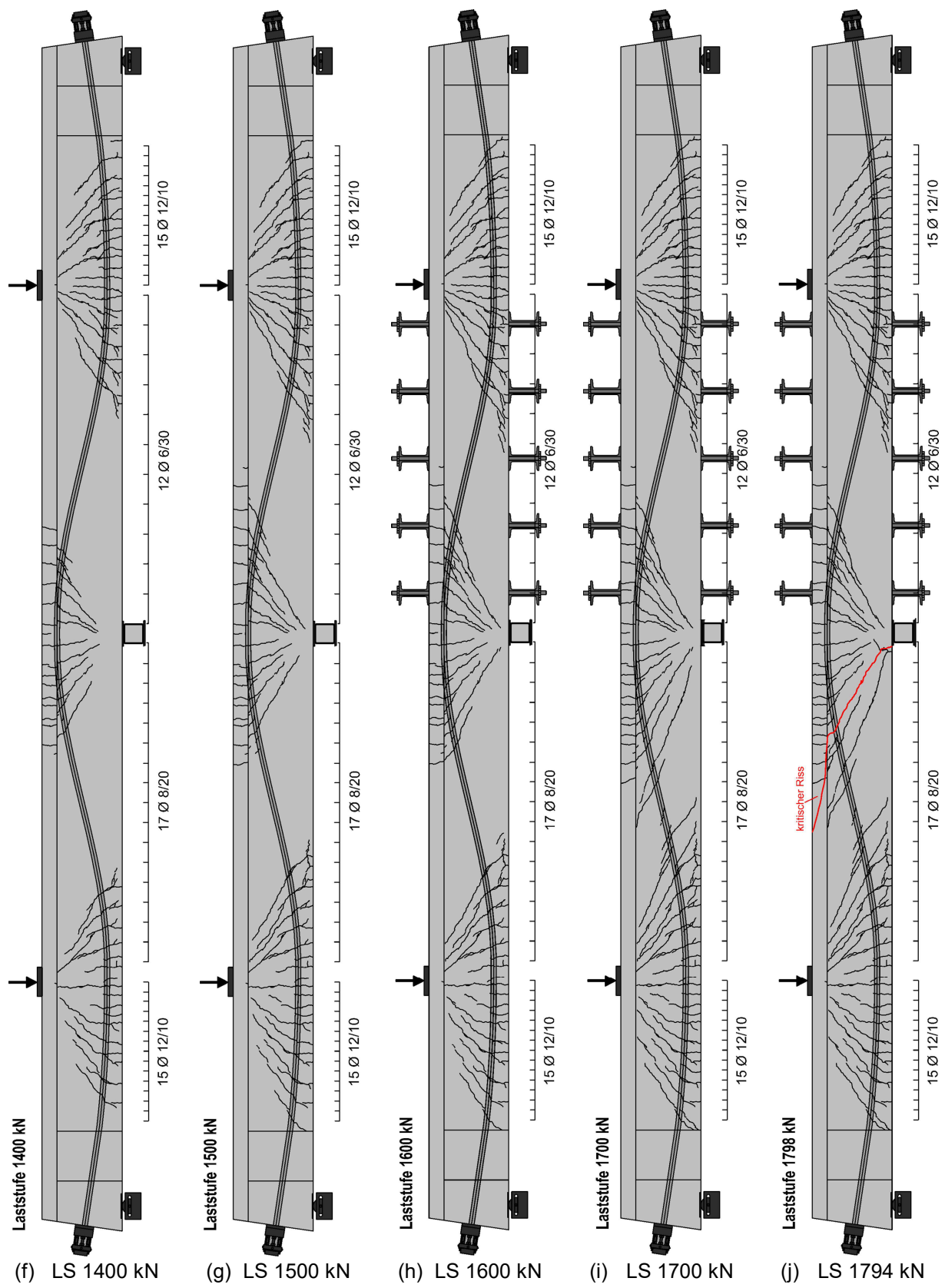
A.2.1.2 Versuchsträger DLT 2.2



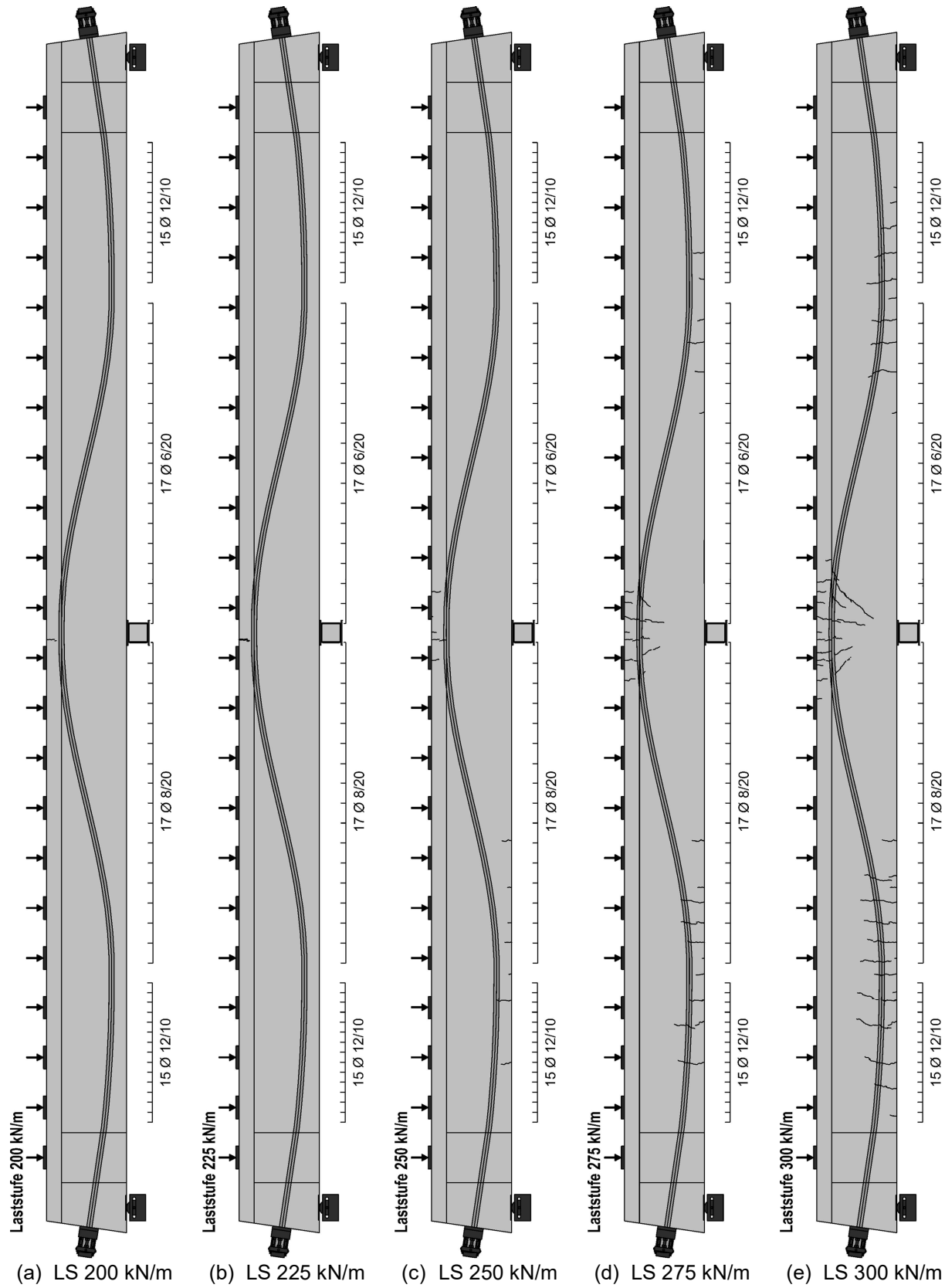


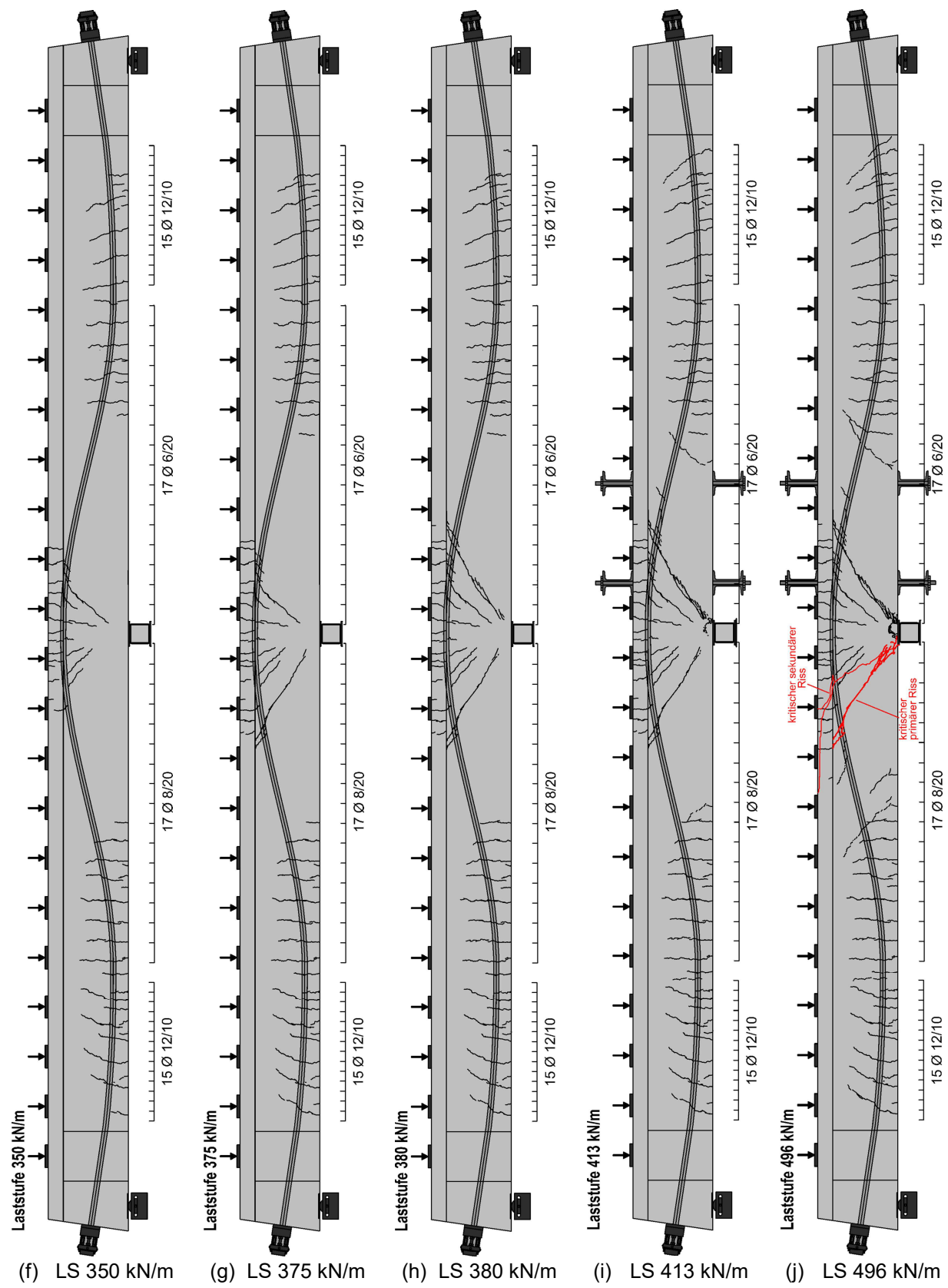
A.2.1.3 Versuchsträger DLT 2.3





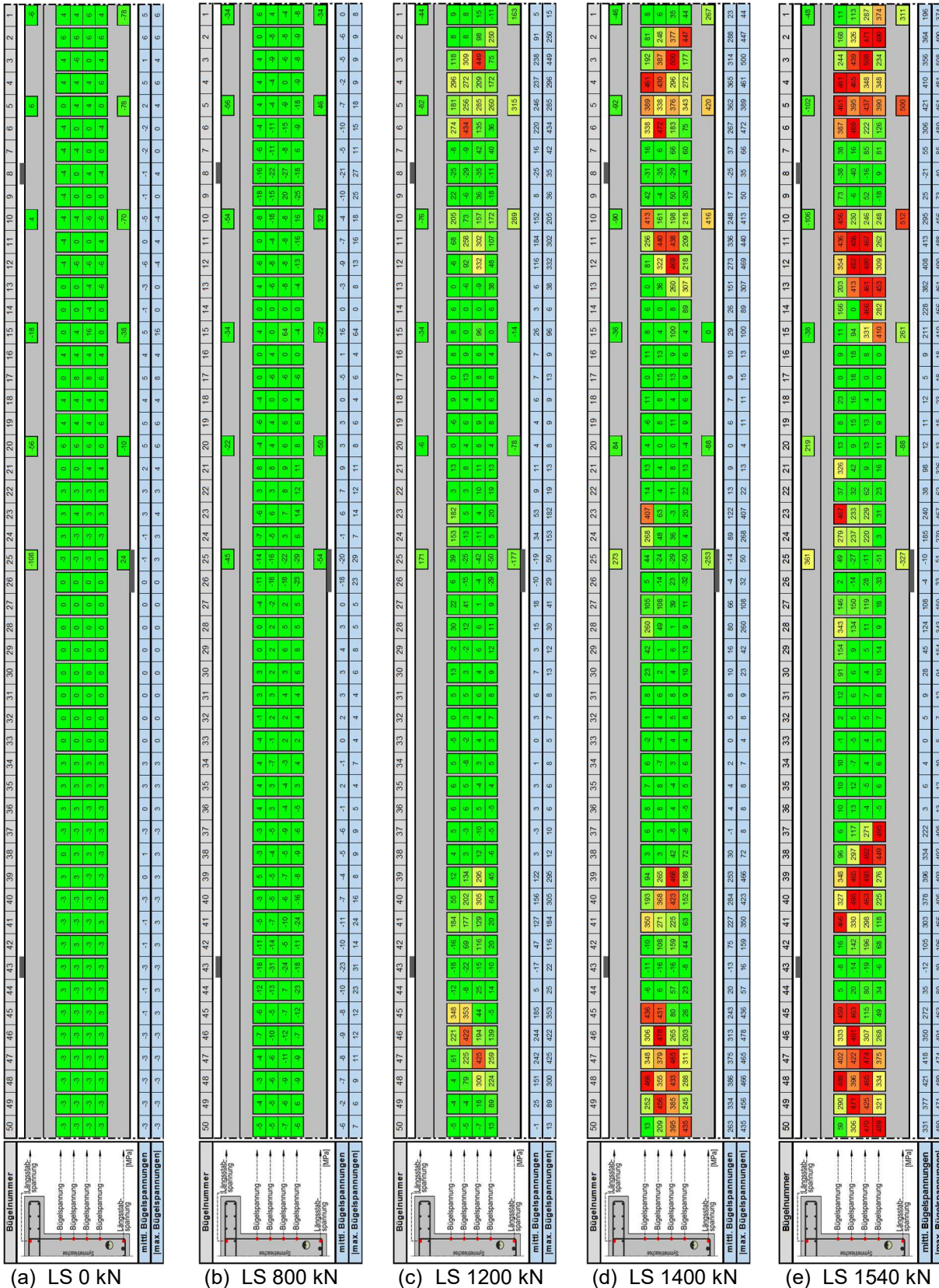
A.2.1.4 Versuchsträger DLT 2.4

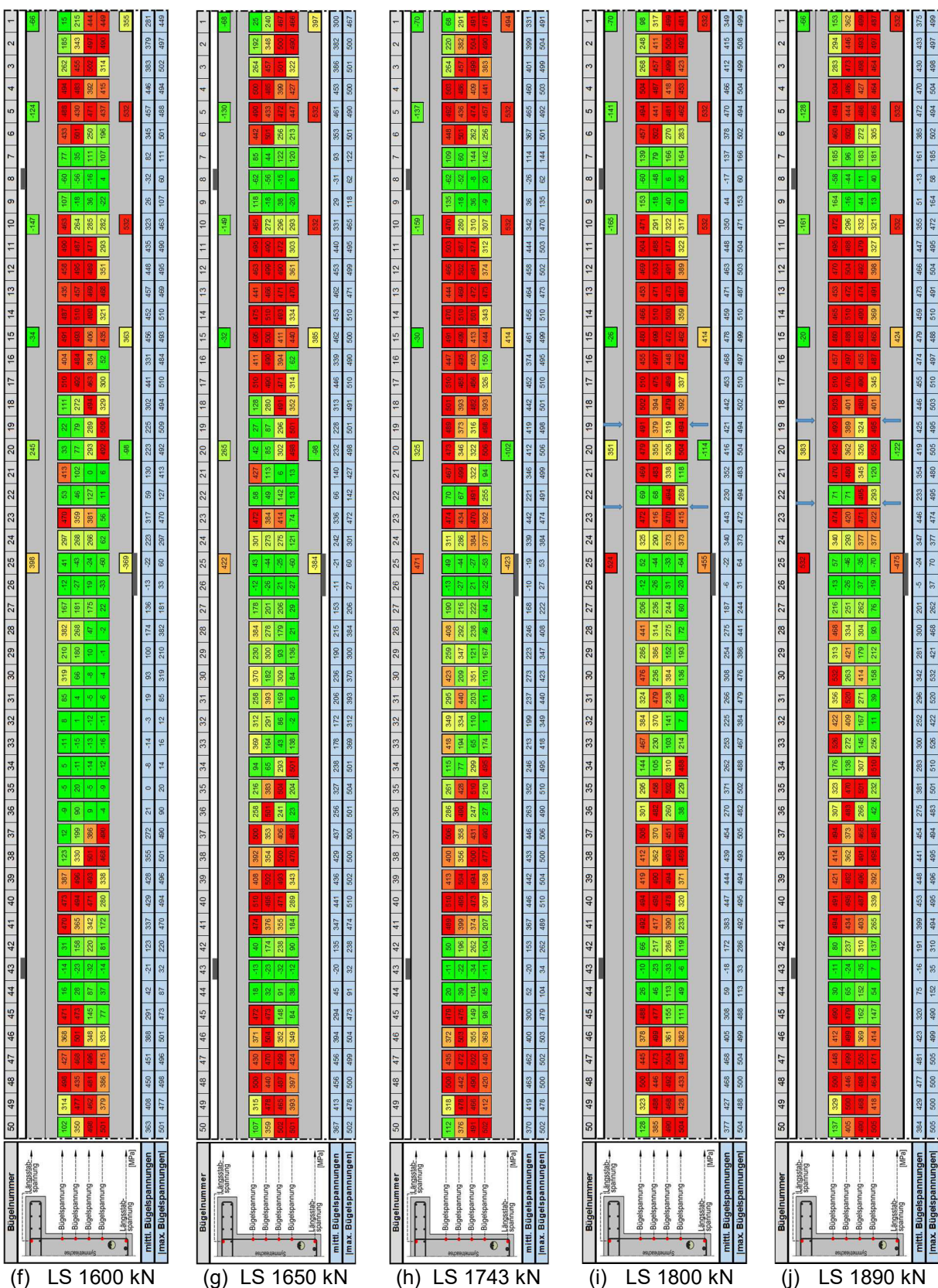




A.2.2 Stahlspannungen [GLEICH, 2018b]

A.2.2.1 Versuchsträger DLT 2.1

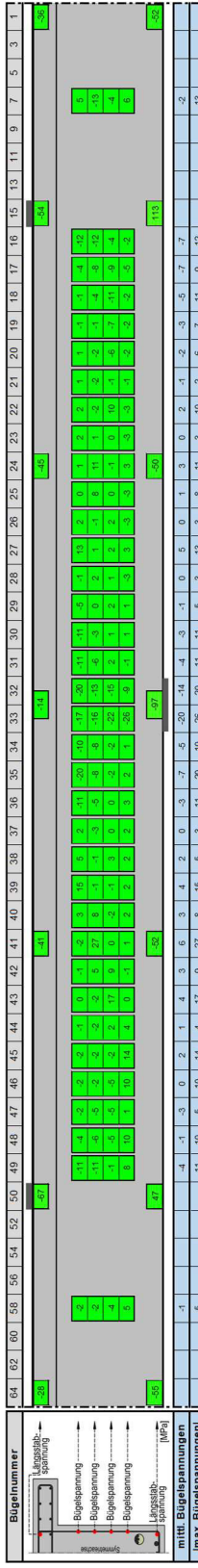




A.2.2.2 Versuchsträger DLT 2.2



(a) LS 0 kN



(b) LS 800 kN



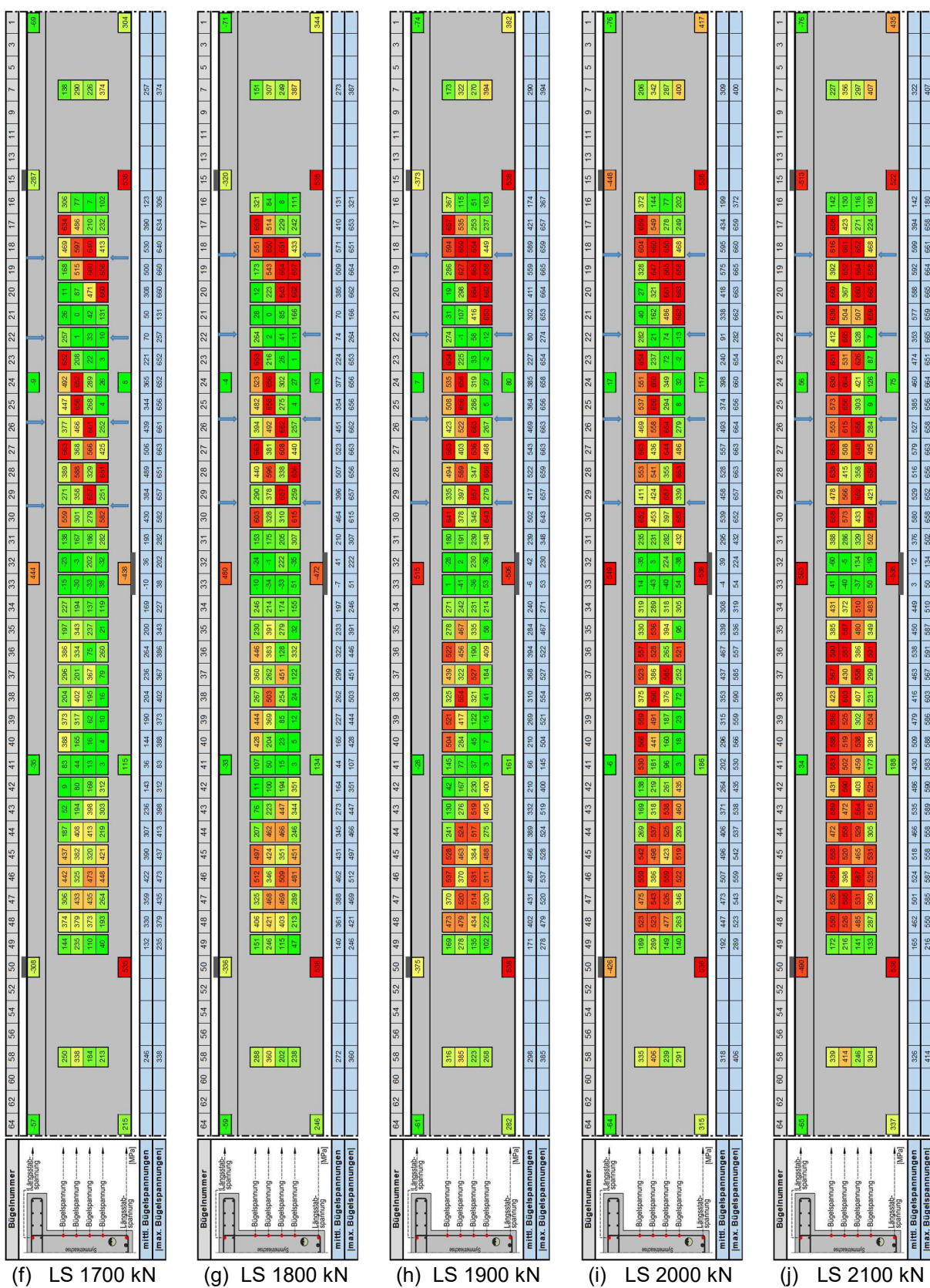
(c) LS 1200 kN



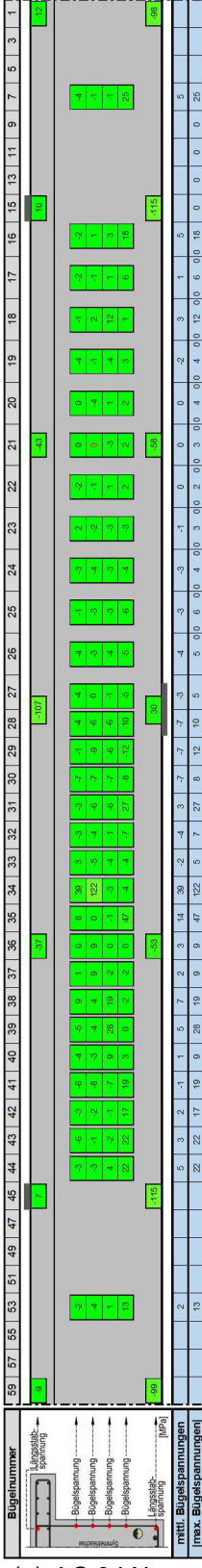
(d) LS 1400 kN



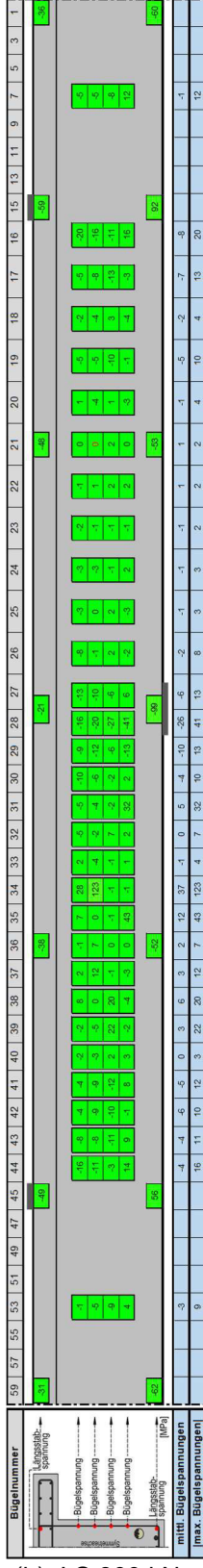
(e) LS 1600 kN



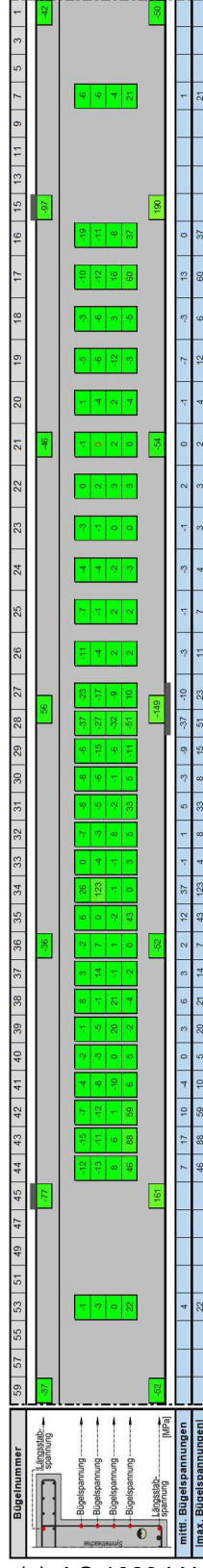
A.2.2.3 Versuchsträger DLT 2.3



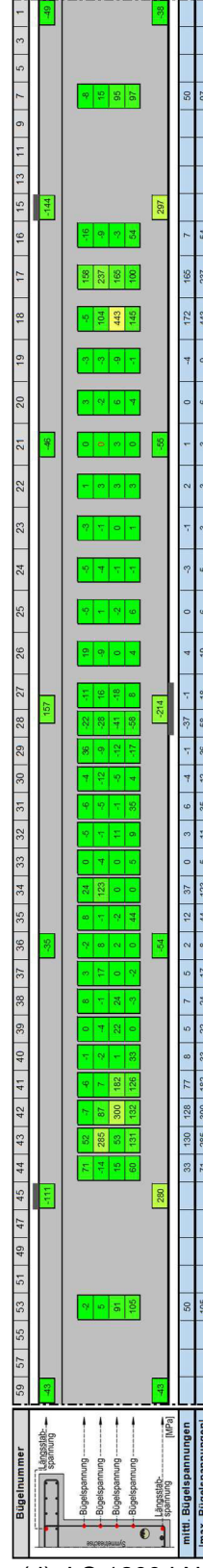
(a) LS 0 kN



(b) LS 800 kN



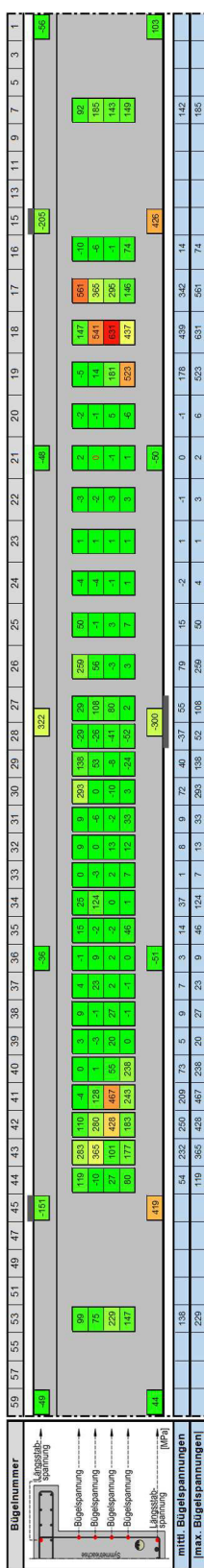
(c) LS 1000 kN



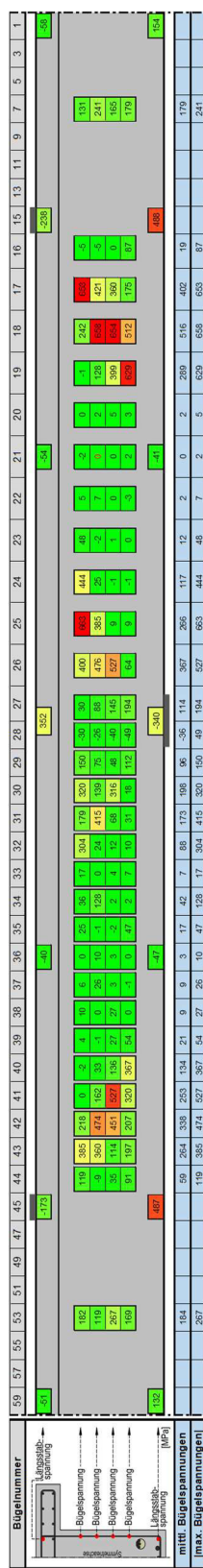
(d) LS 1200 kN



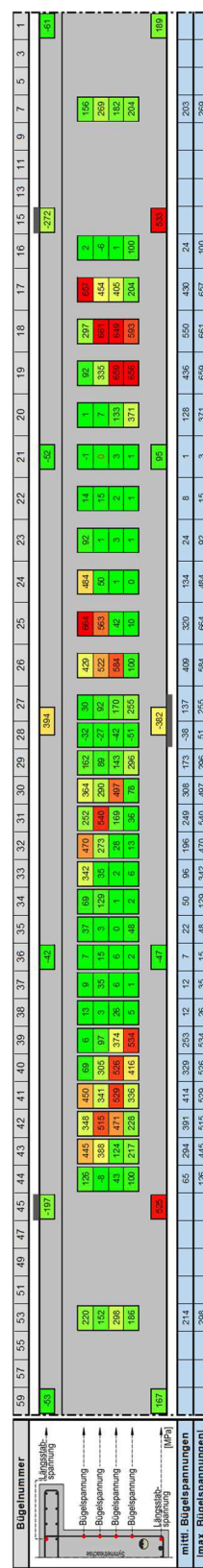
(e) LS 1300 kN



(f) LS 1400 kN



(g) LS 1500 kN



(h) LS 1600 kN



(i) LS 1700 kN



(j) LS 1794 kN

A.2.2.4 Versuchsträger DLT 2.4



(a) LS 0 kN/m



(b) LS 225 kN/m



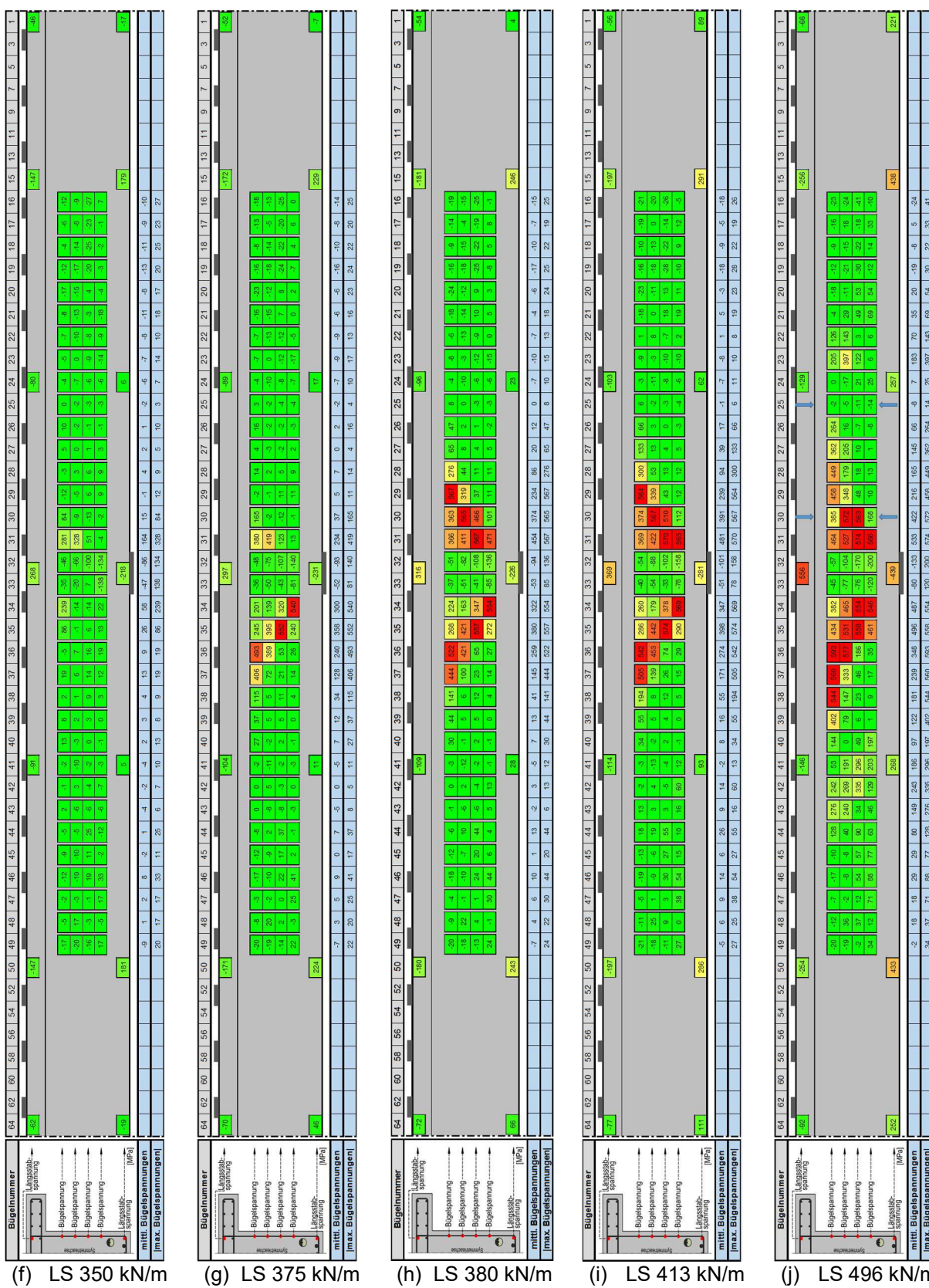
(c) LS 250 kN/m



(d) LS 275 kN/m

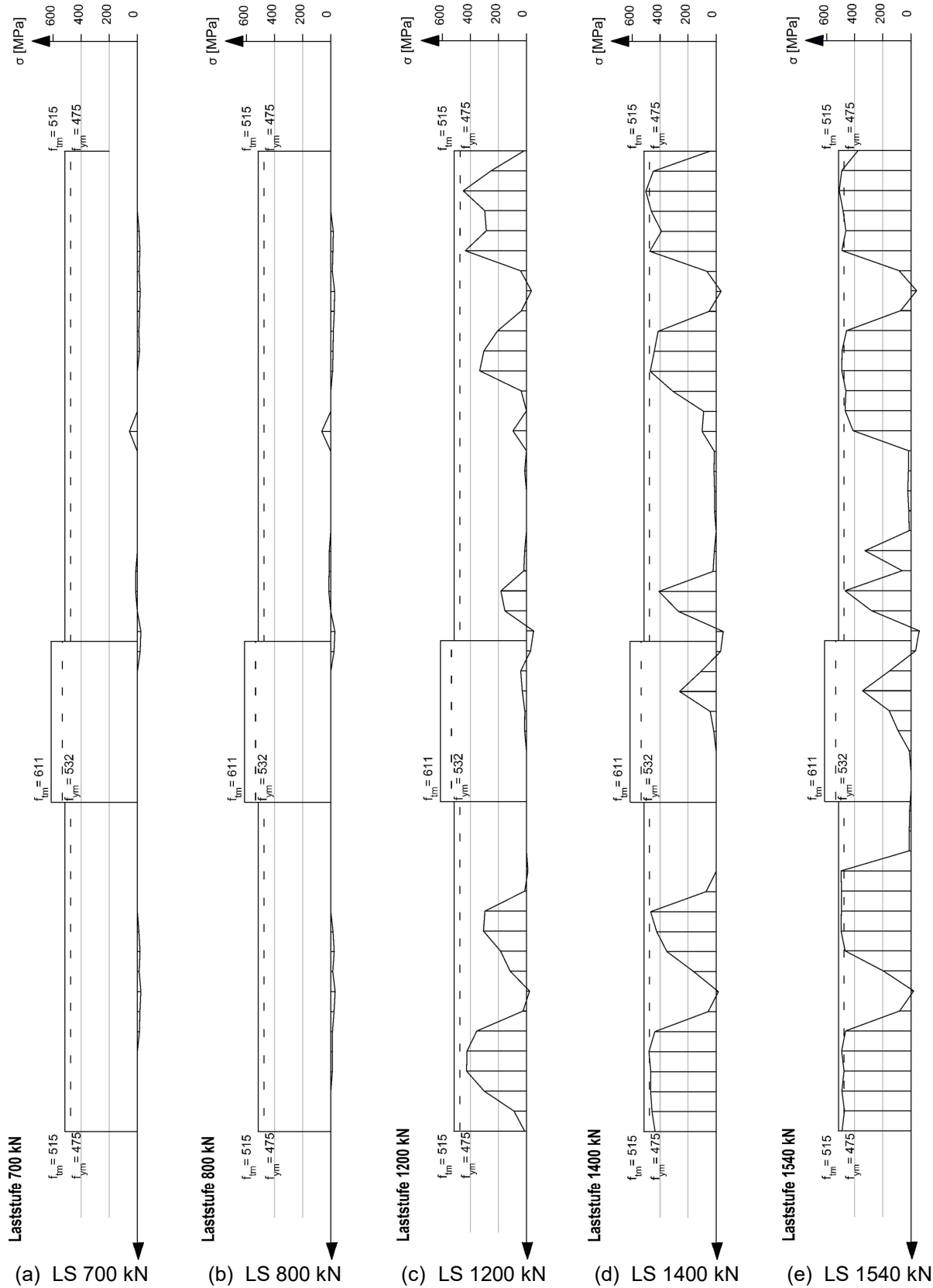


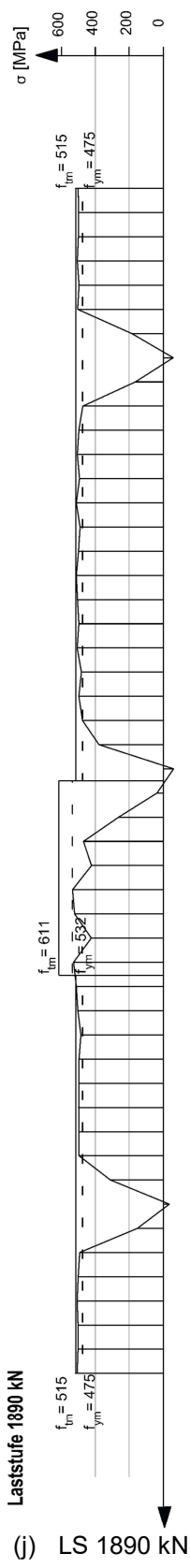
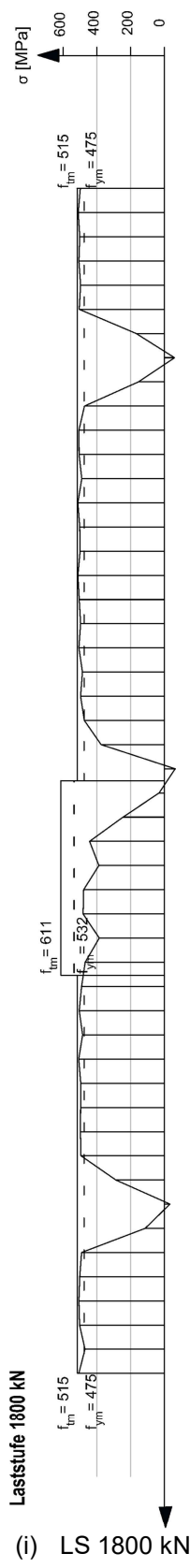
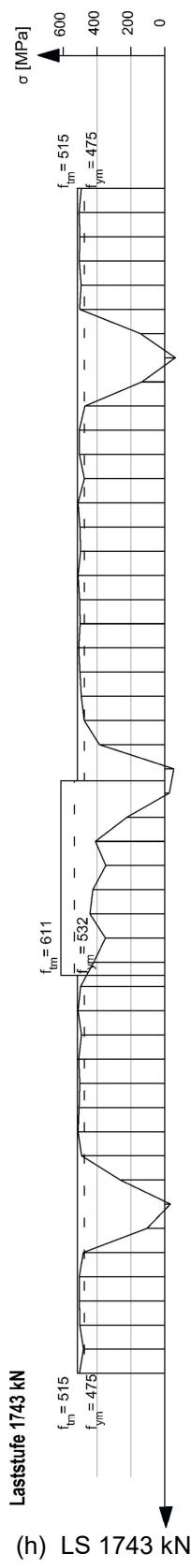
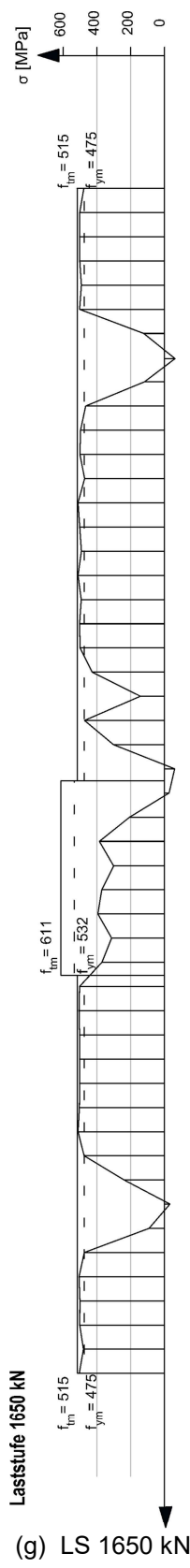
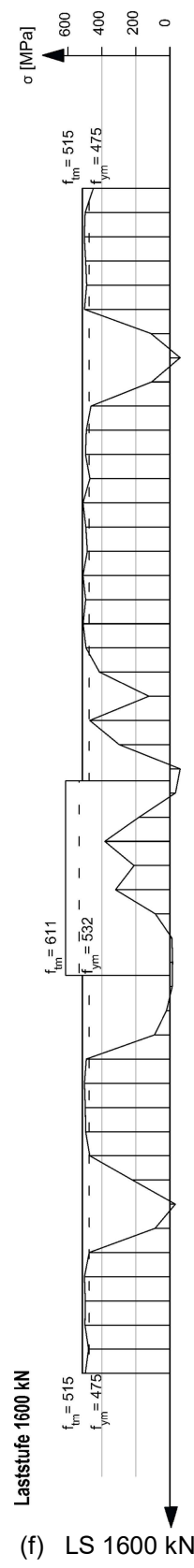
(e) LS 300 kN/m



A.2.3 Maximalwerte der Bügelspannungen [GLEICH, 2018b]

A.2.3.1 Versuchsträger DLT 2.1

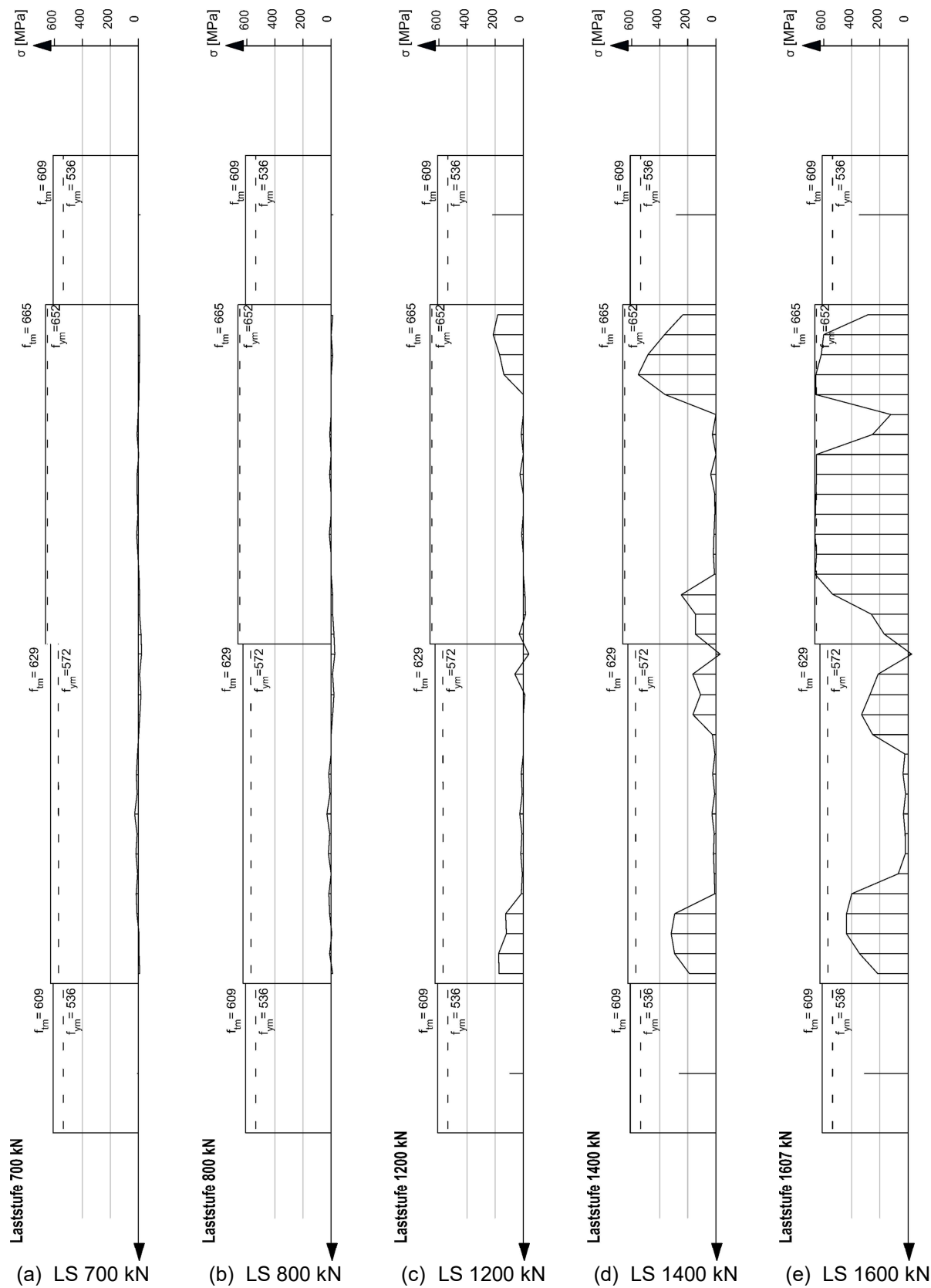


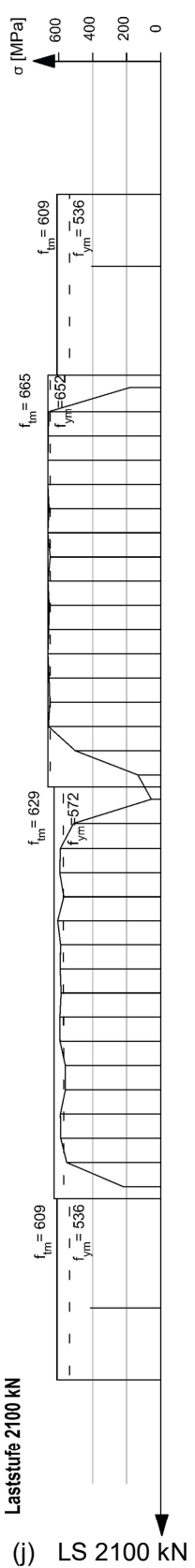
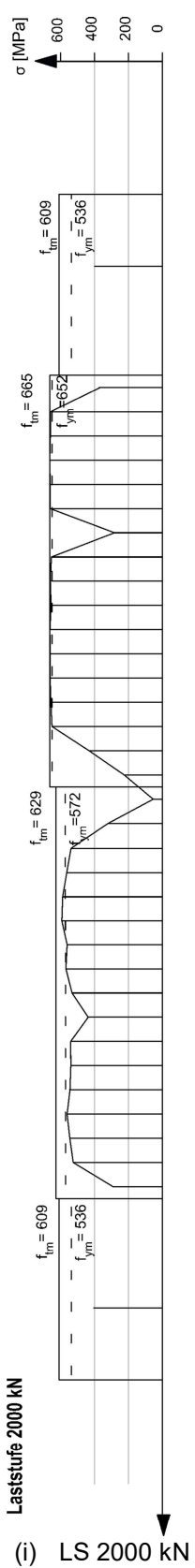
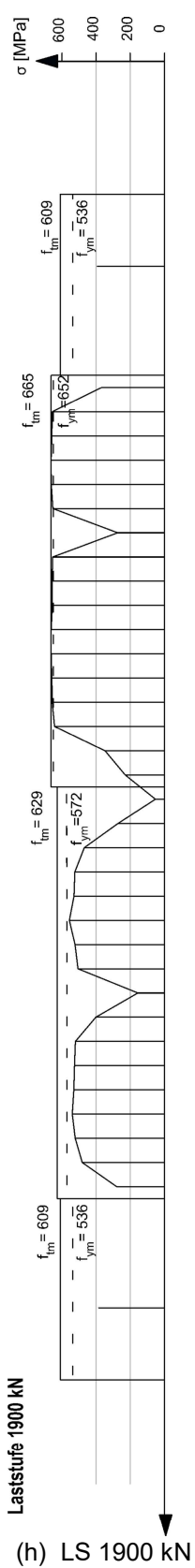
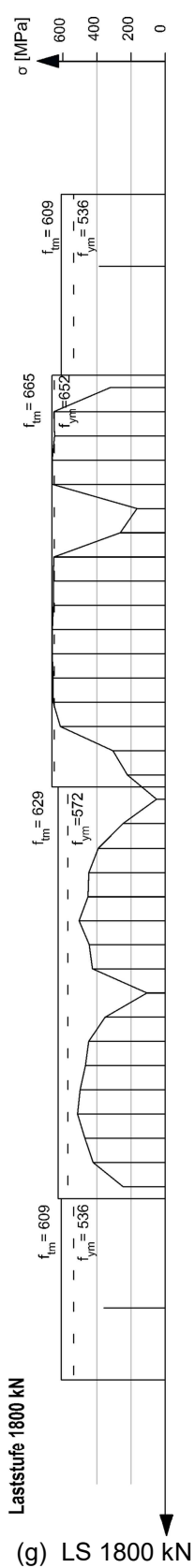
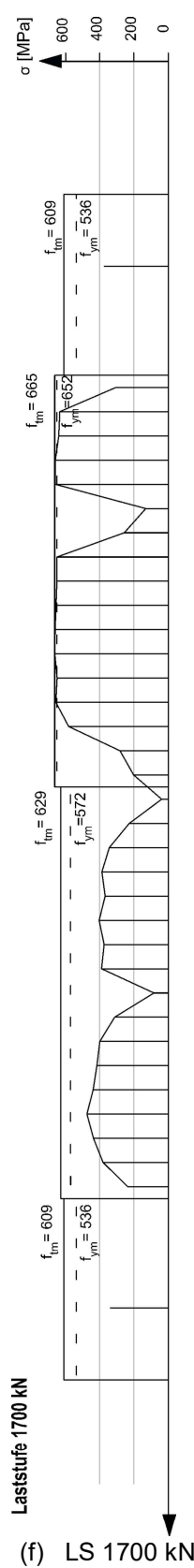


$f_{tm} = 515$

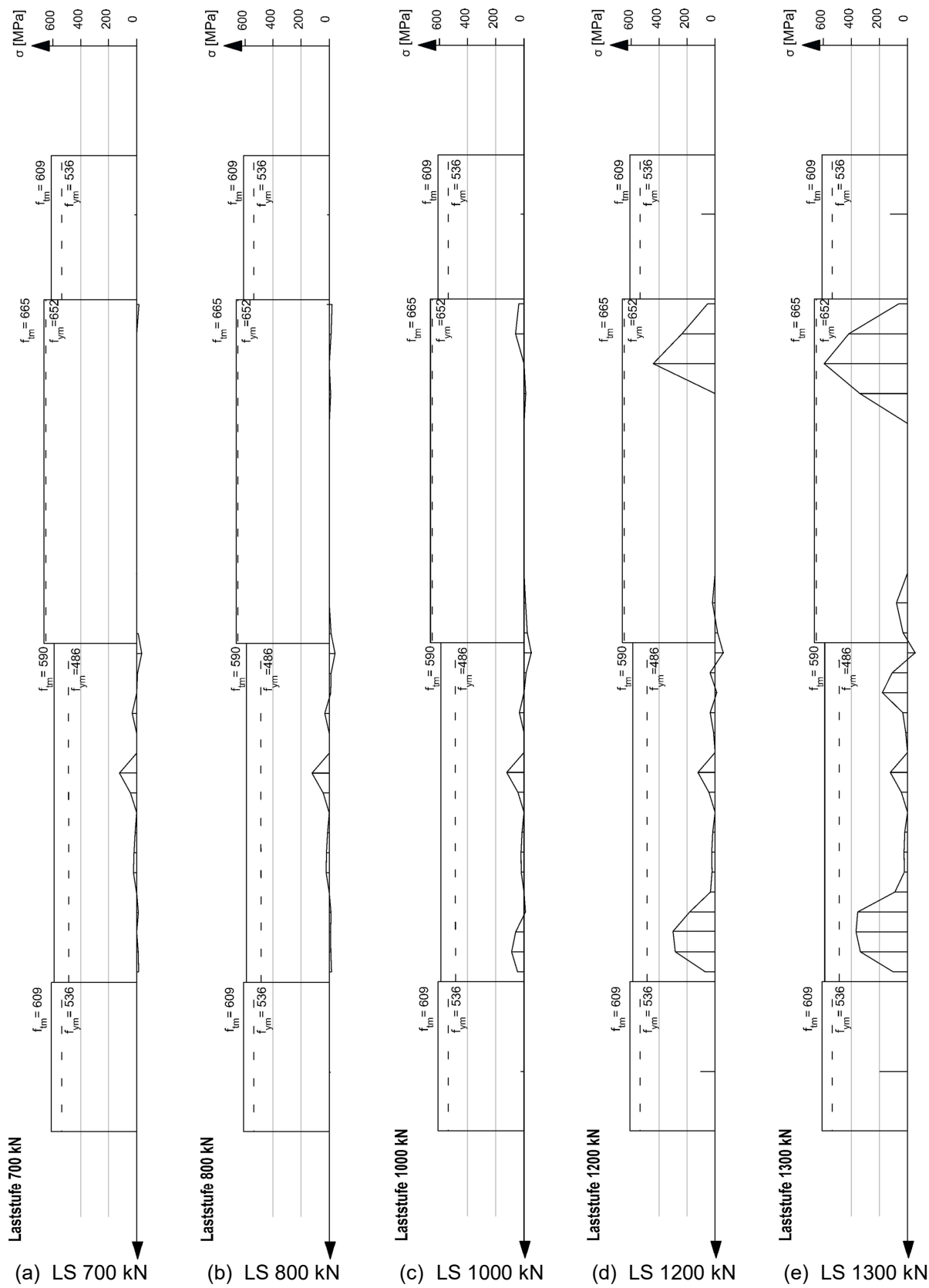
$f_{ym} = 475$

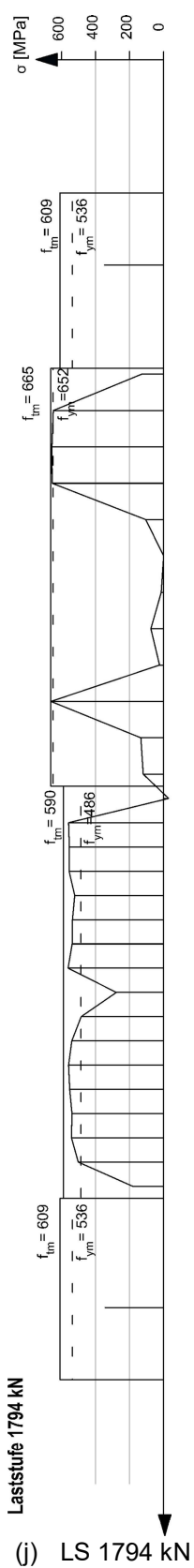
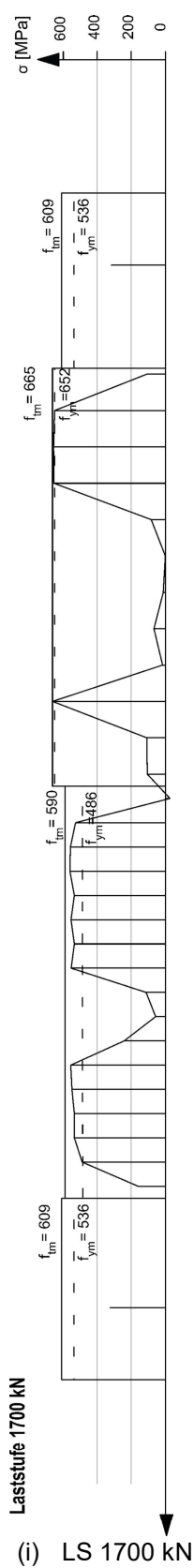
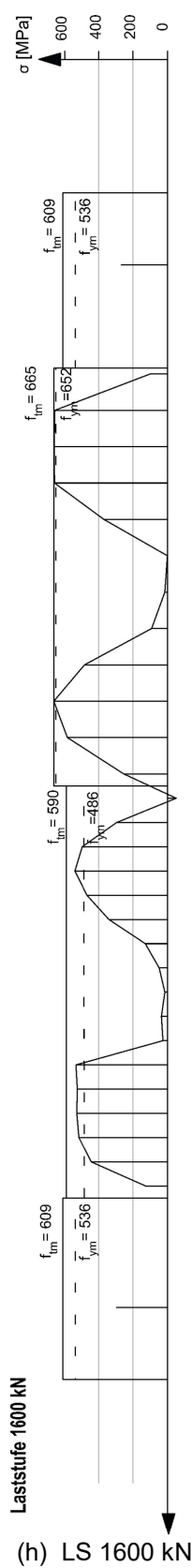
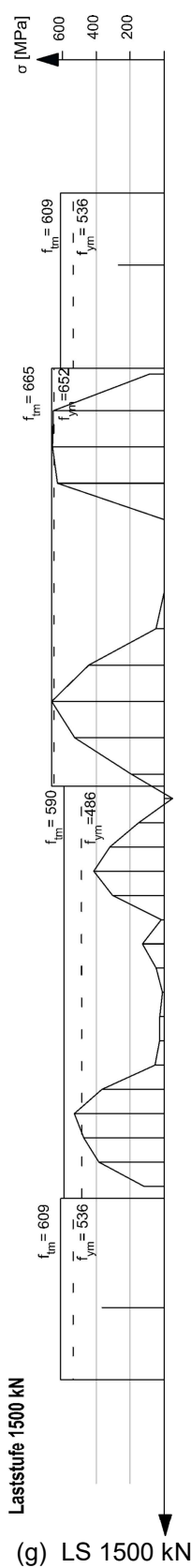
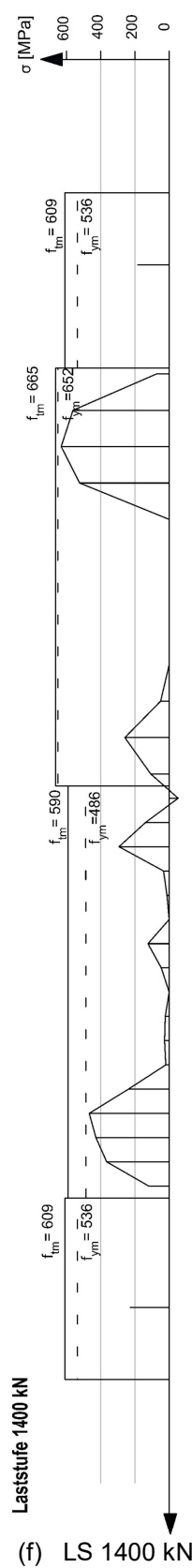
A.2.3.2 Versuchsträger DLT 2.2



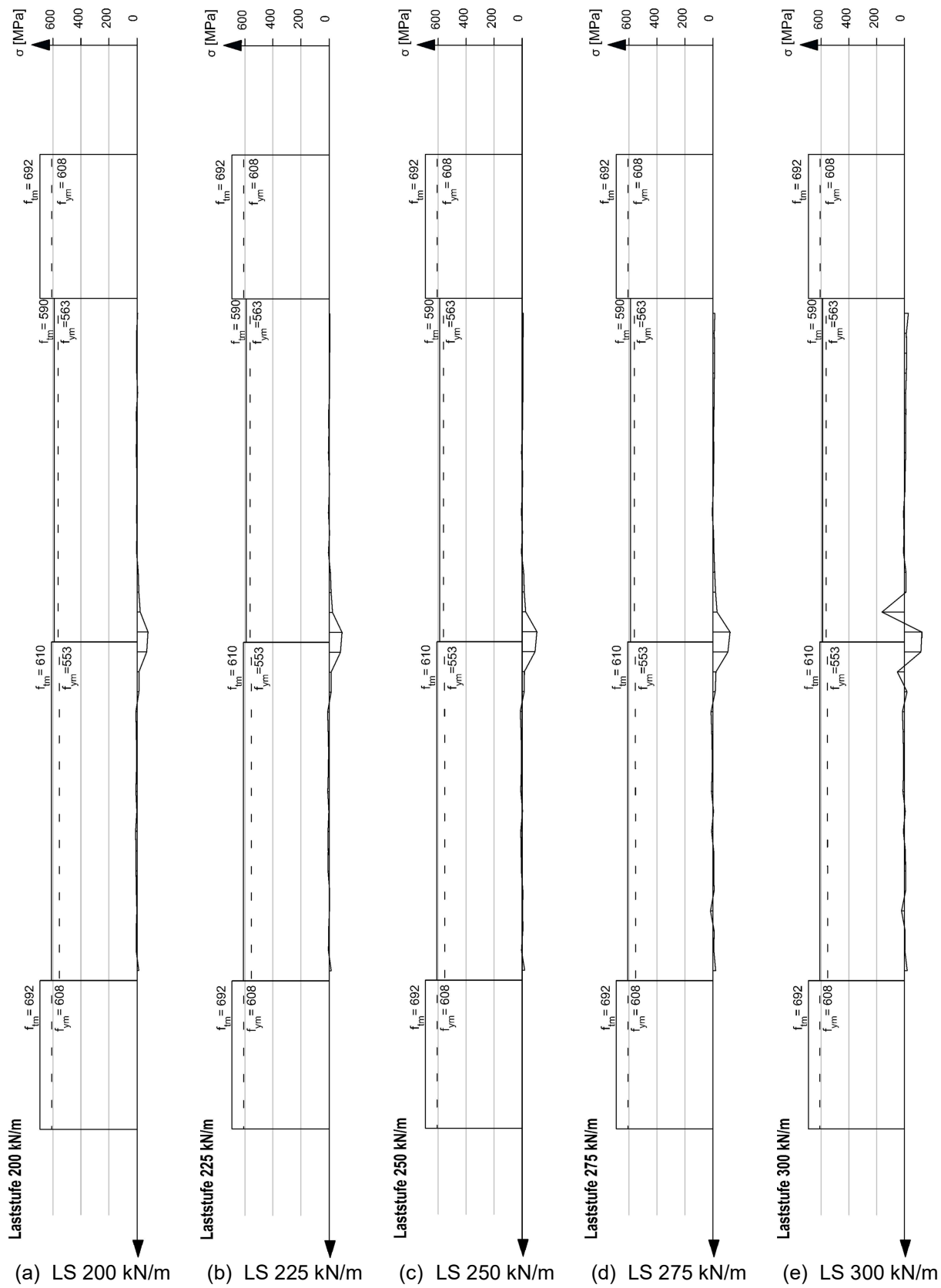


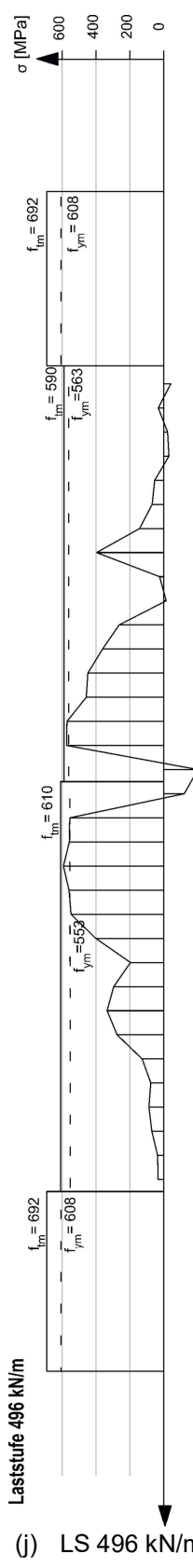
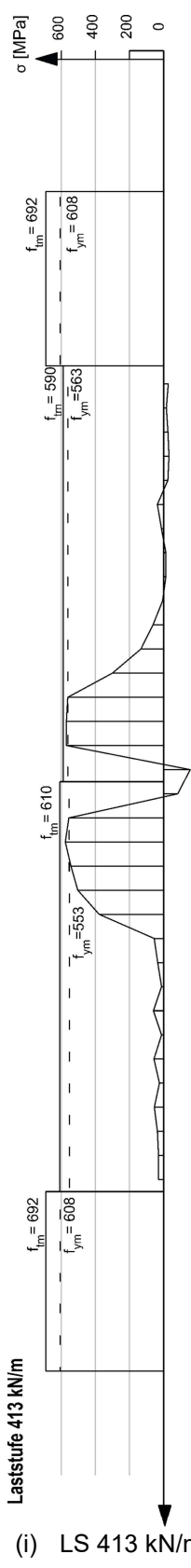
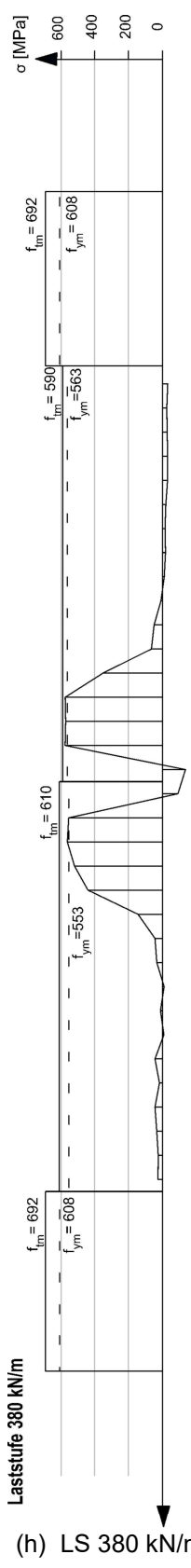
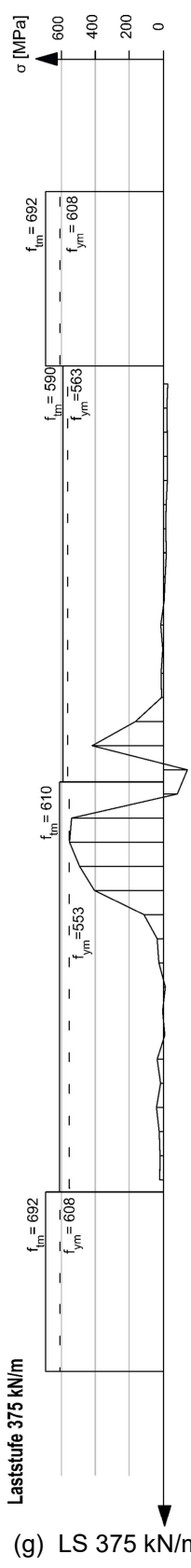
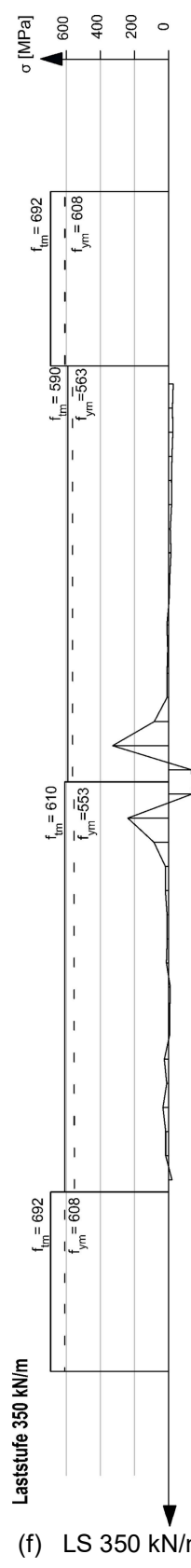
A.2.3.3 Versuchsträger DLT 2.3





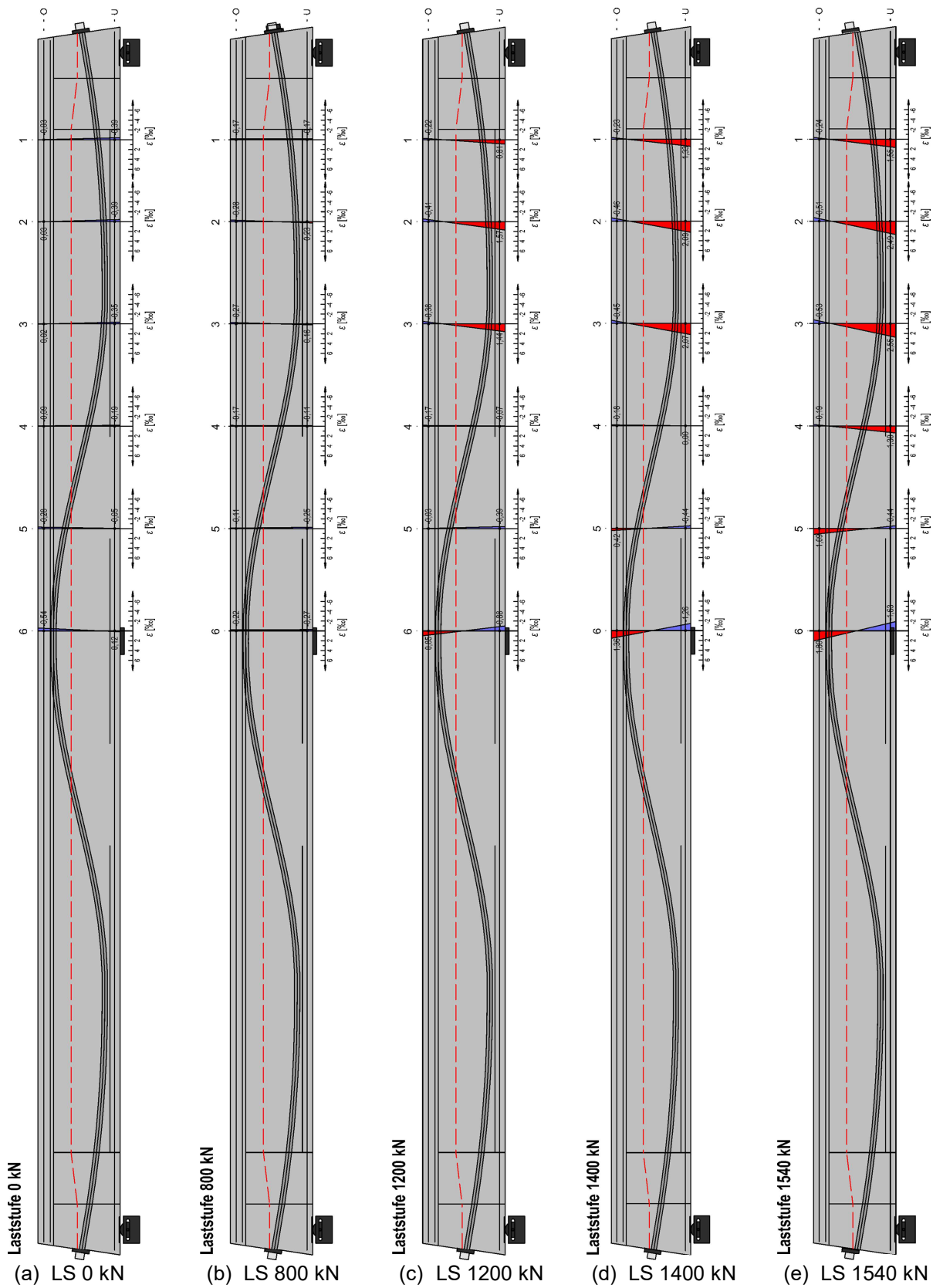
A.2.3.4 Versuchsträger DLT 2.4

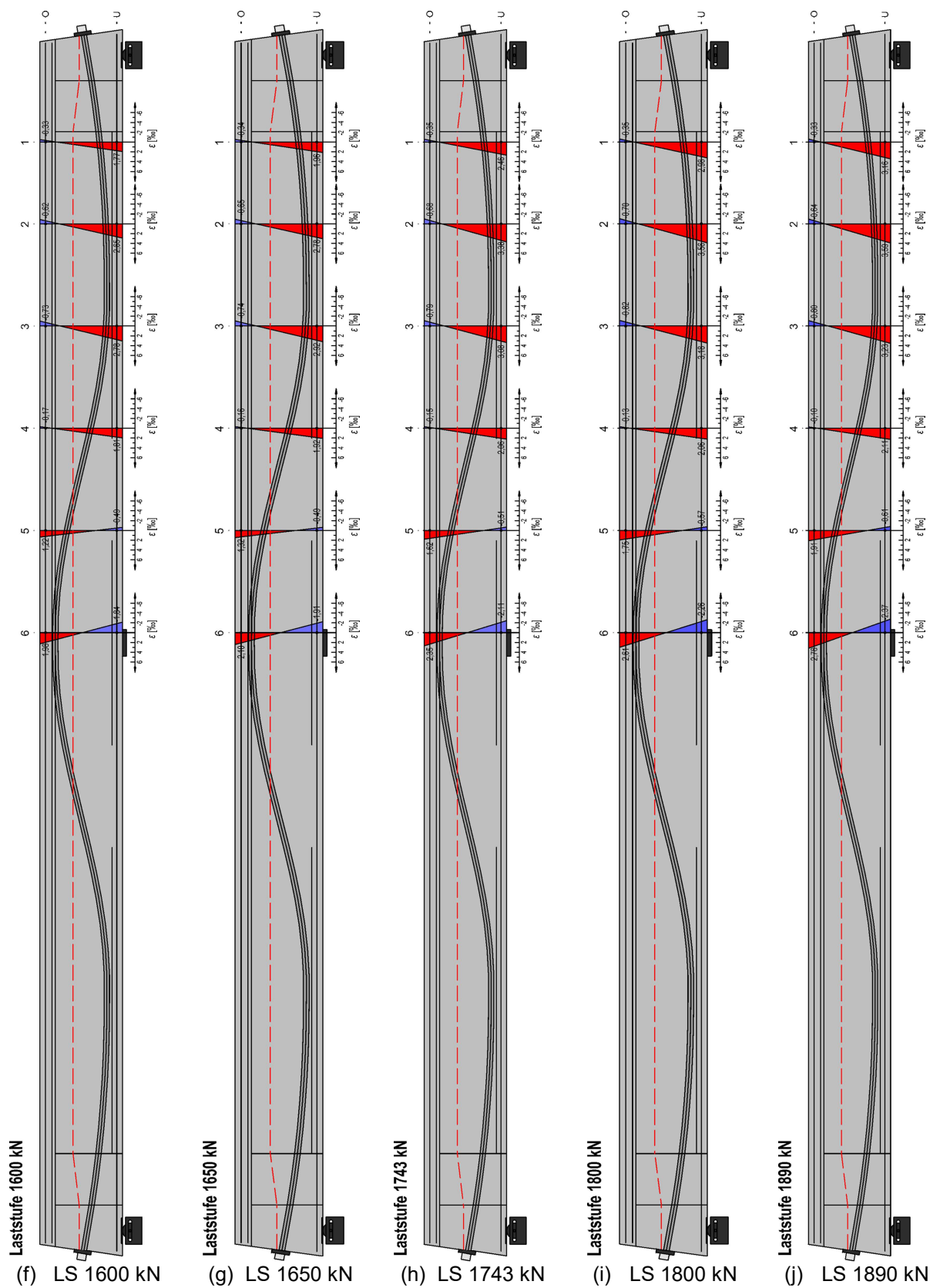




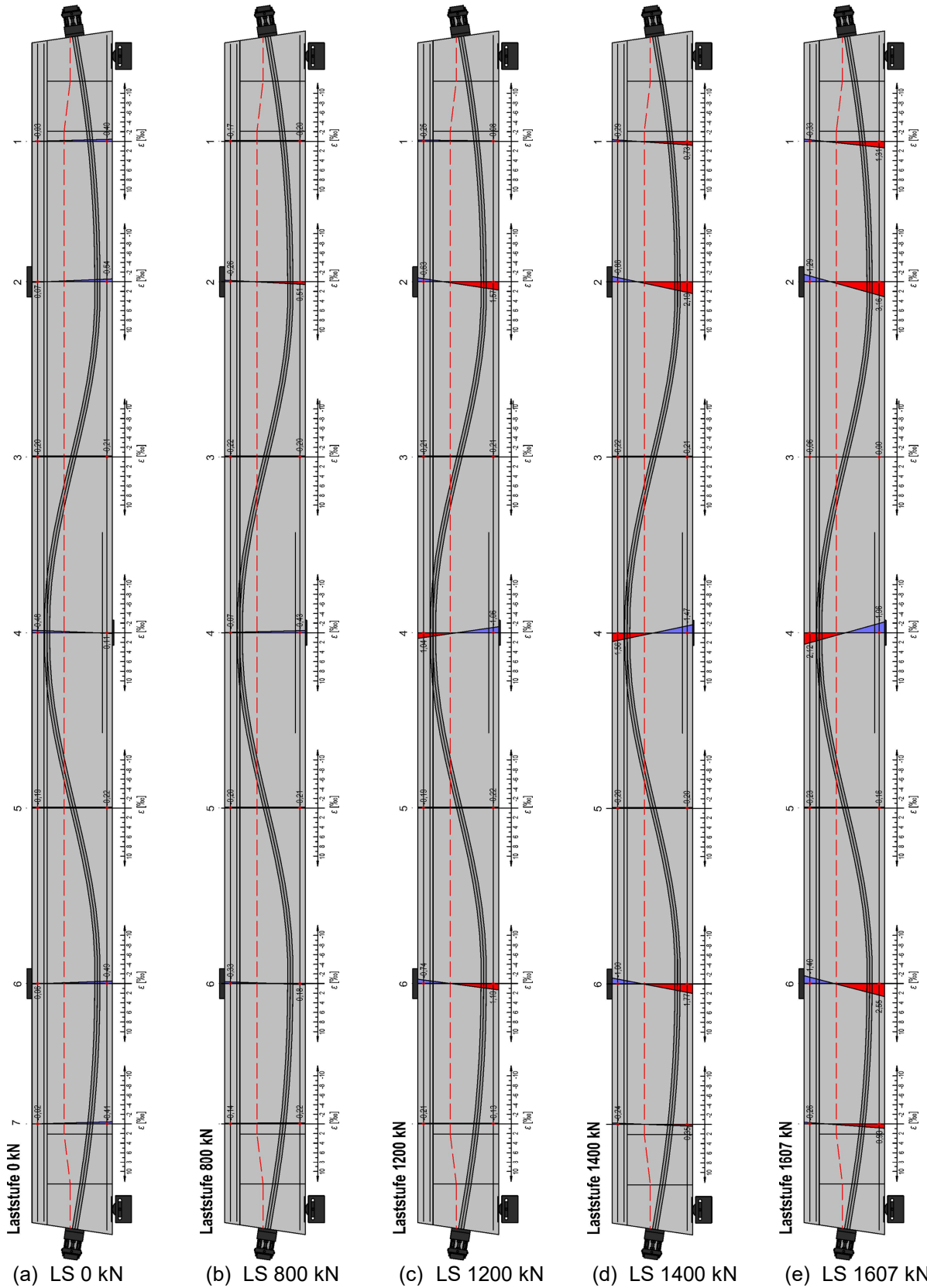
A.2.4 Dehnung der Längsbewehrung [GLEICH, 2018b]

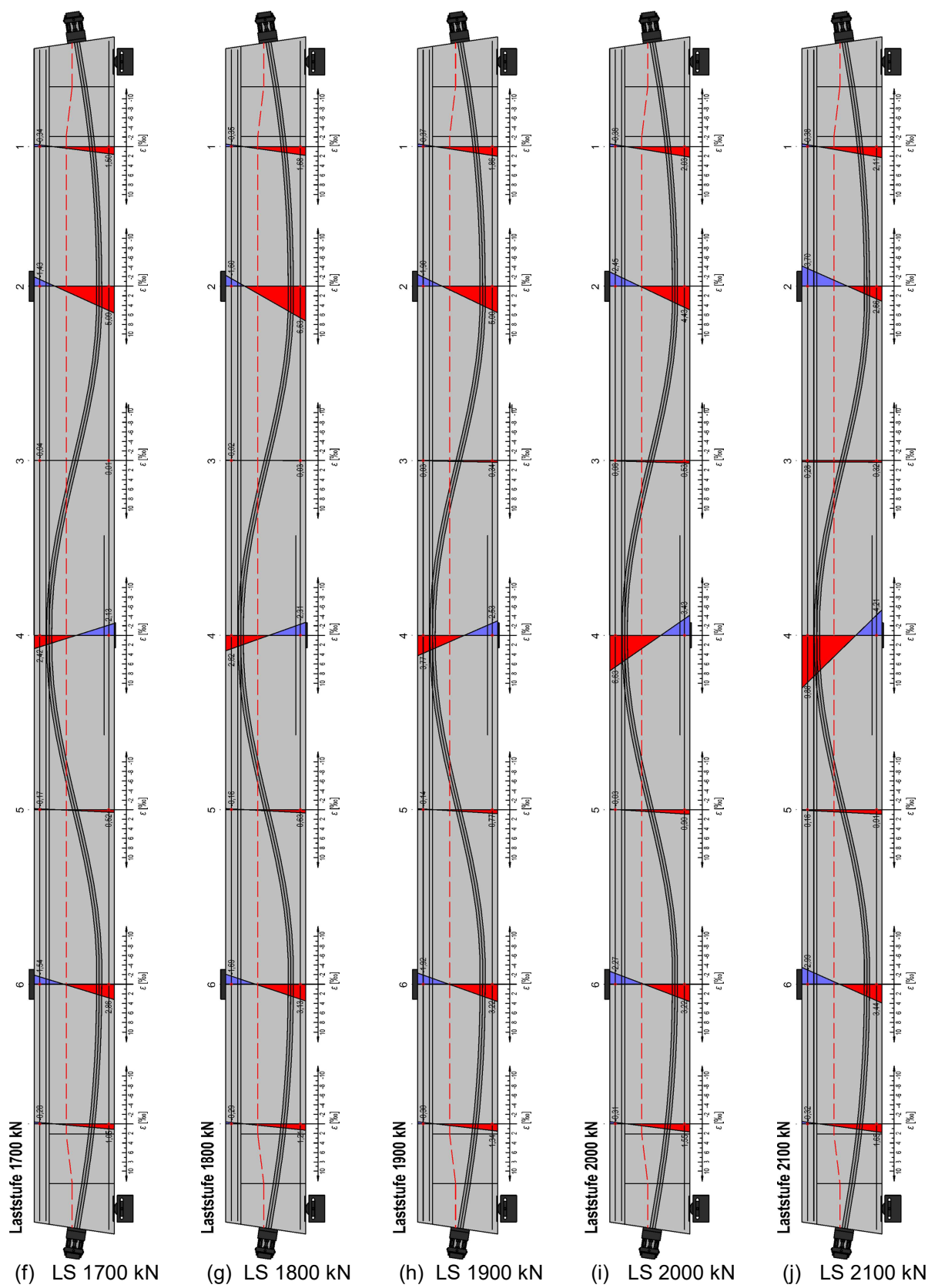
A.2.4.1 Versuchsträger DLT 2.1



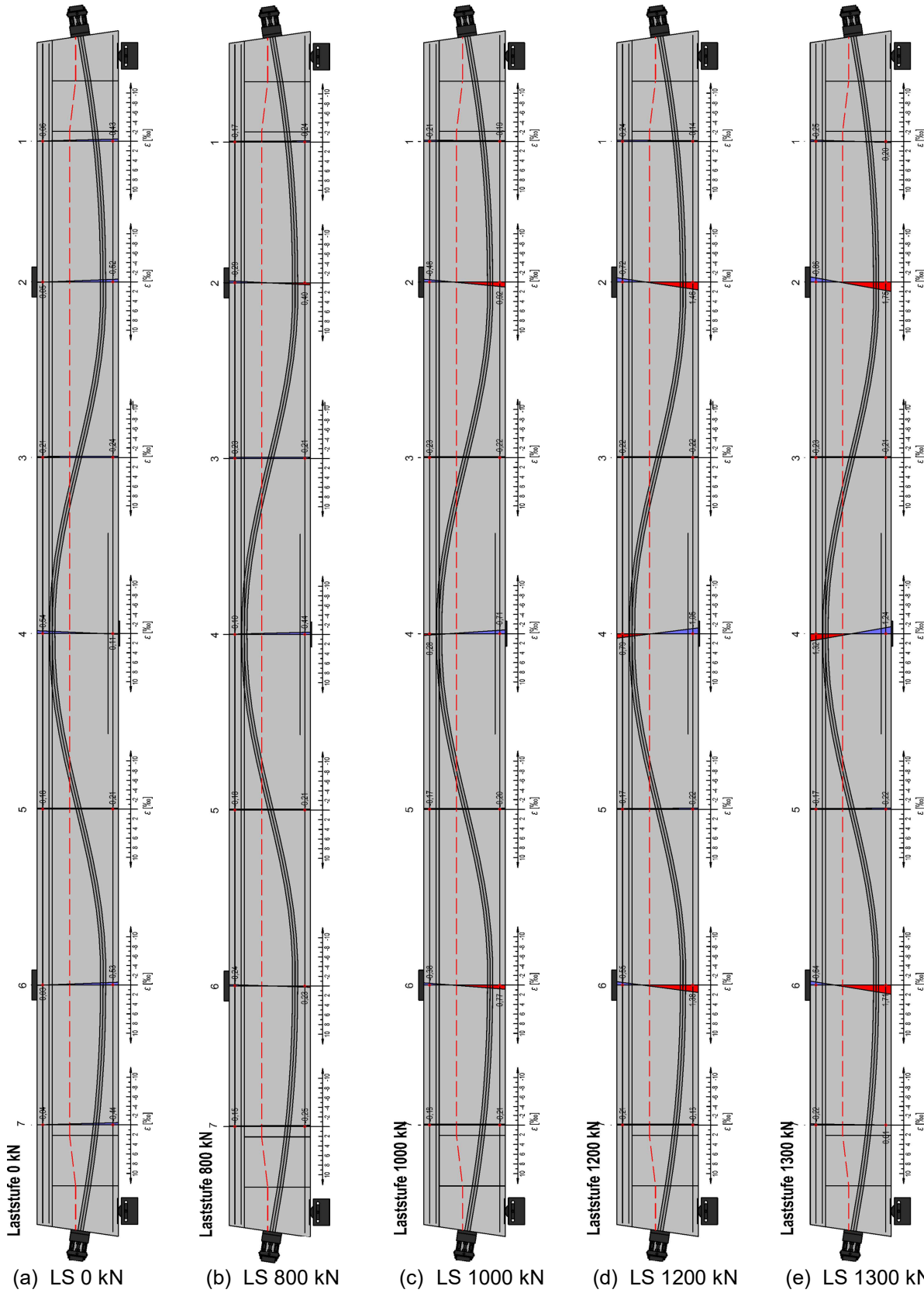


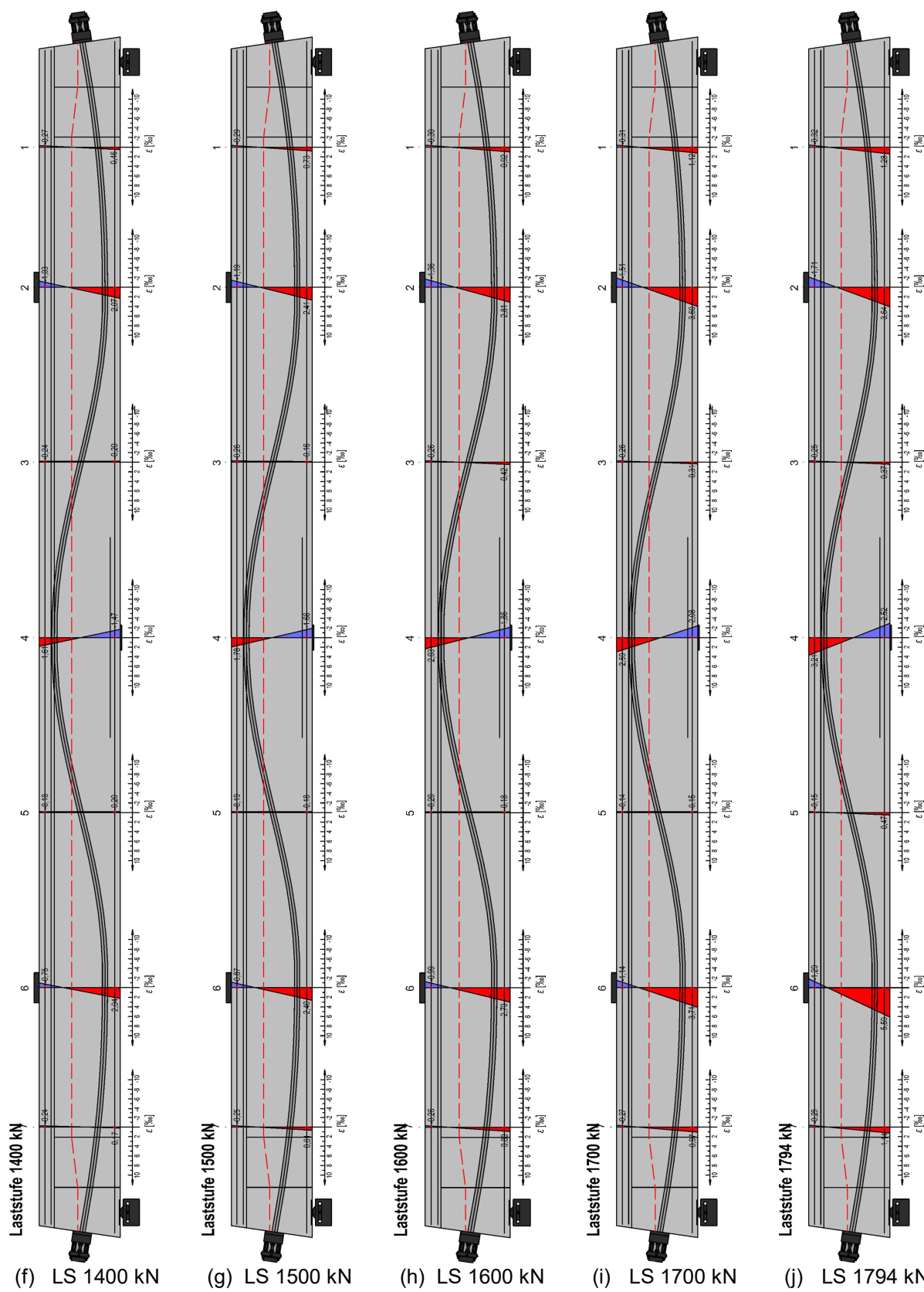
A.2.4.2 Versuchsträger DLT 2.2



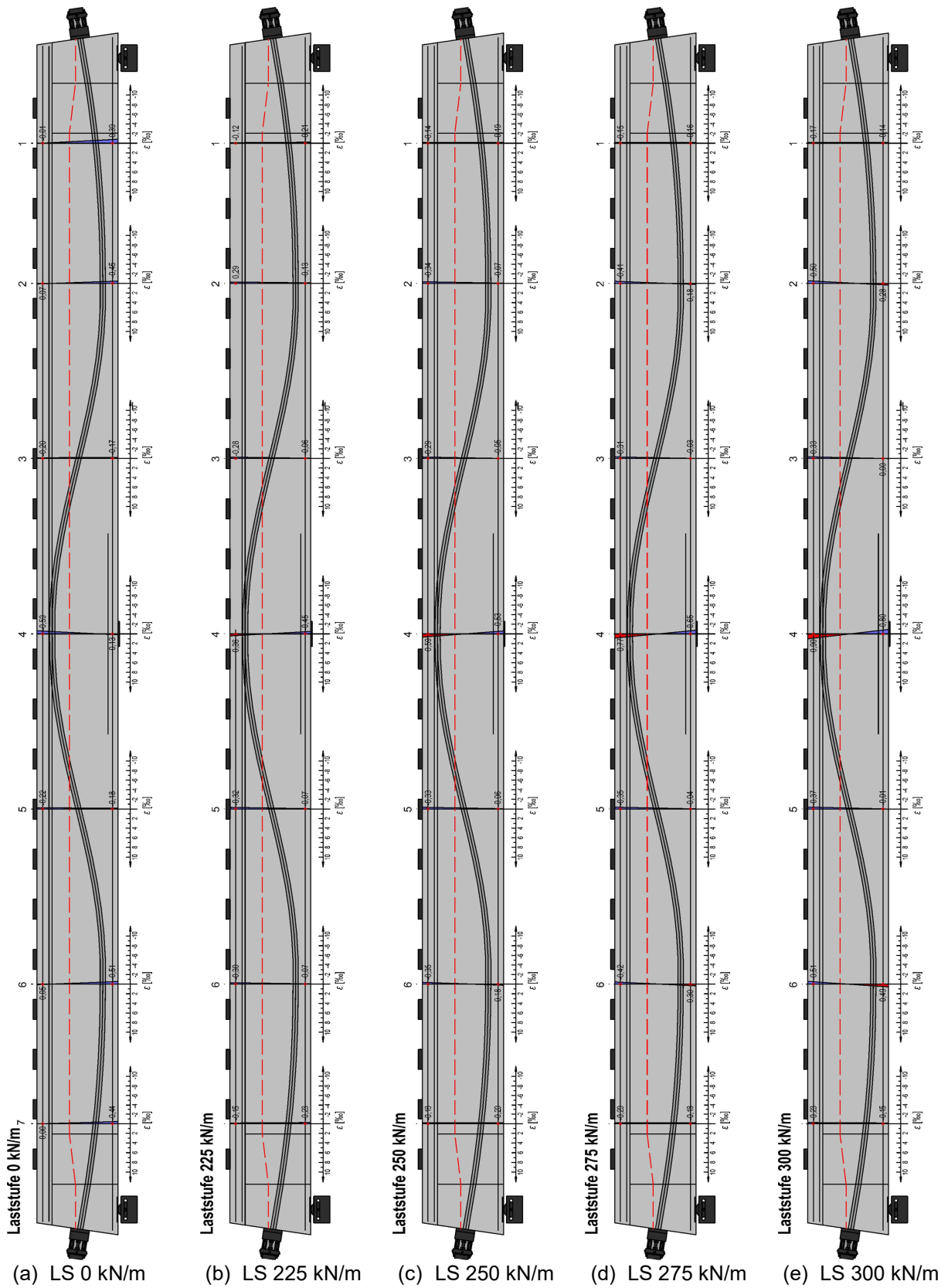


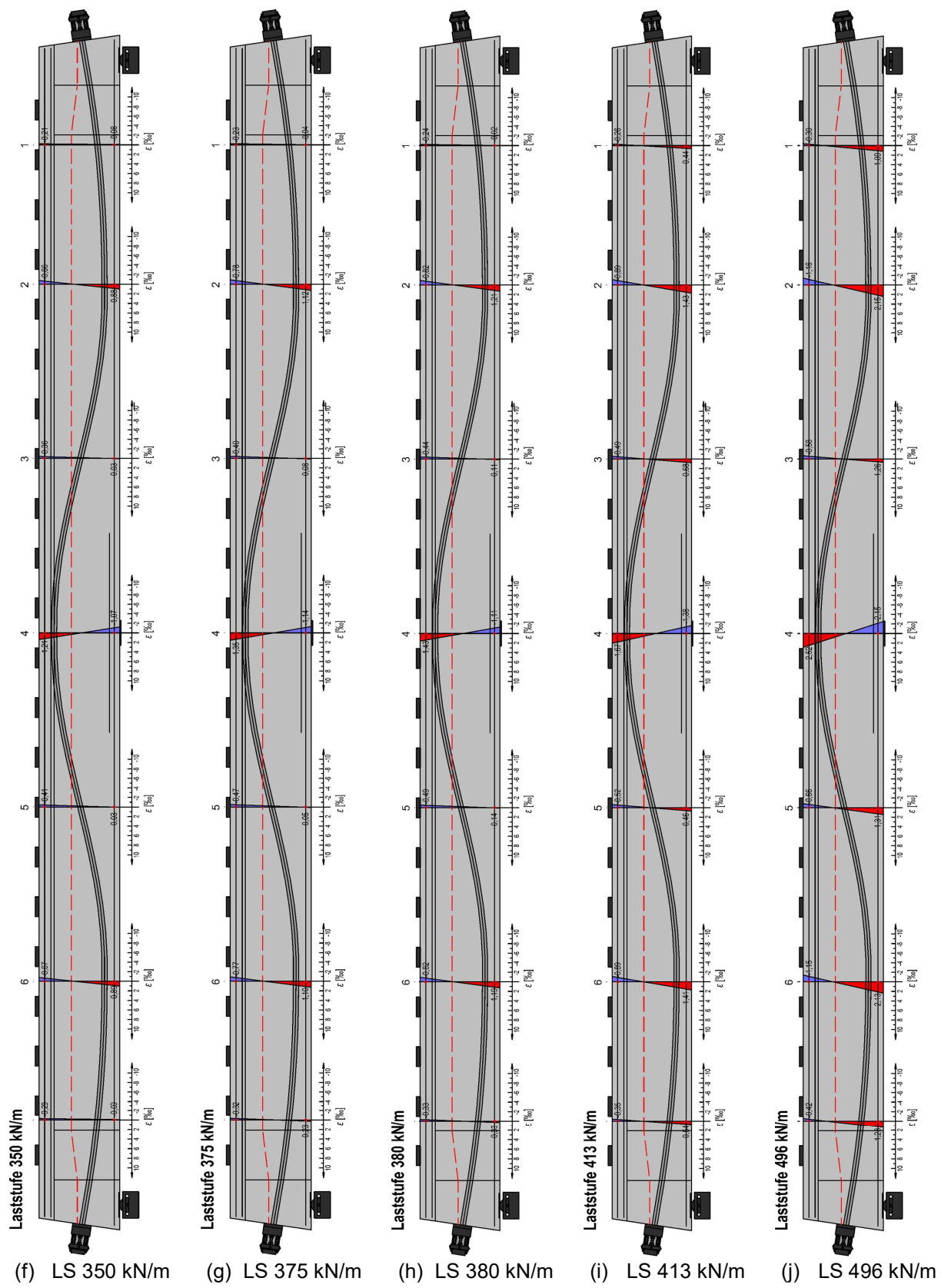
A.2.4.3 Versuchsträger DLT 2.3





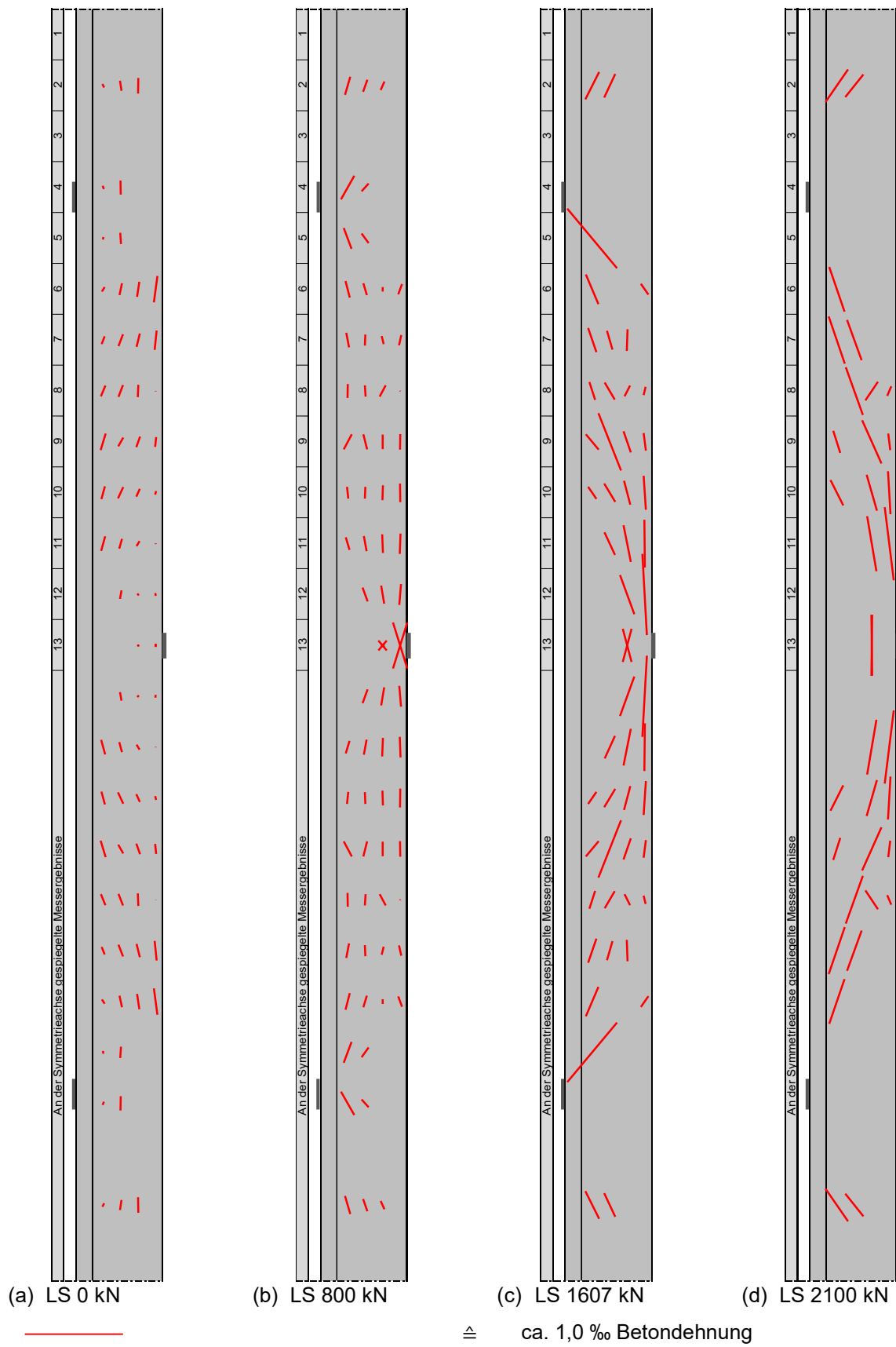
A.2.4.4 Versuchsträger DLT 2.4



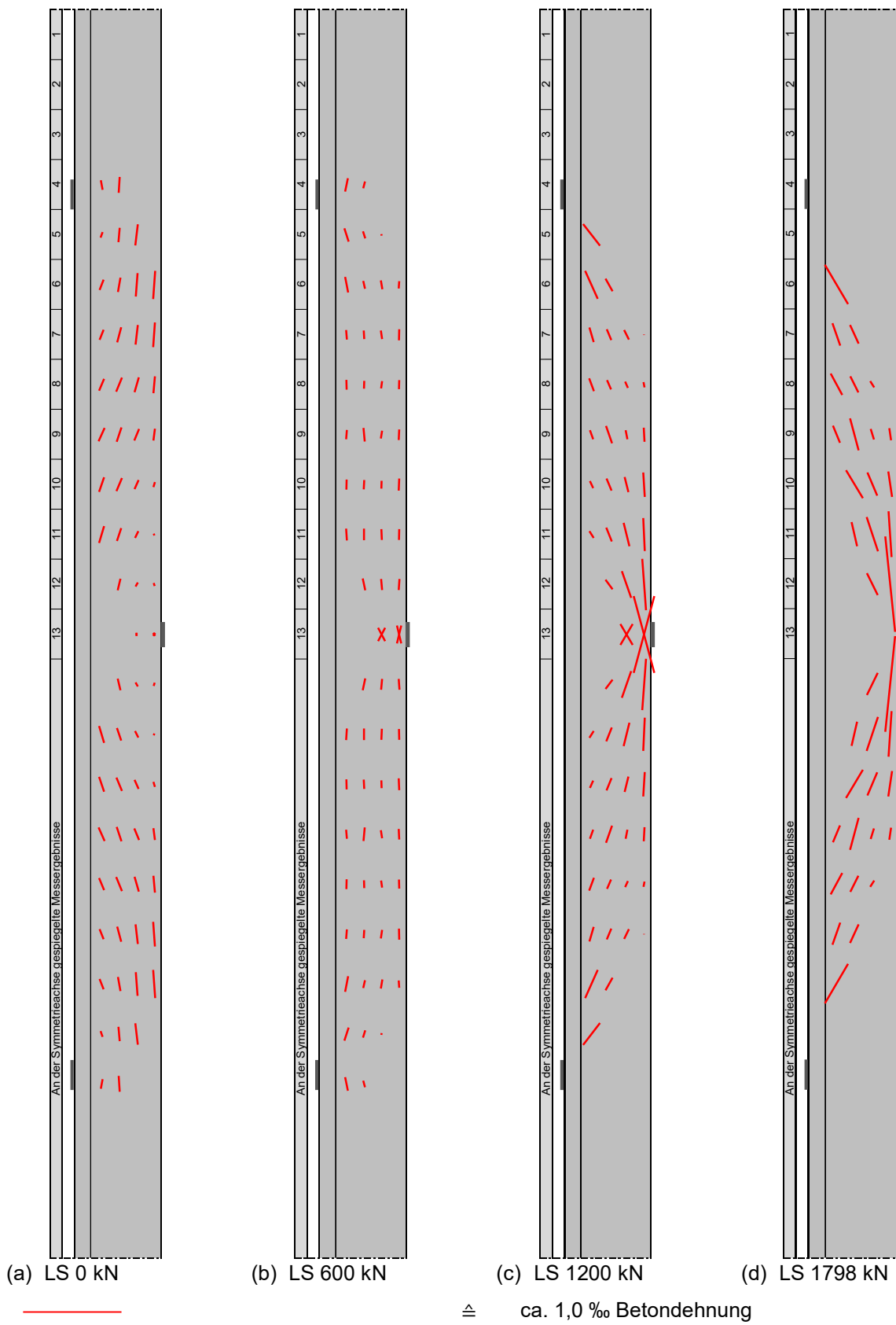


A.2.5 Betondehnungen für ausgewählte Laststufen [GLEICH, 2018b]

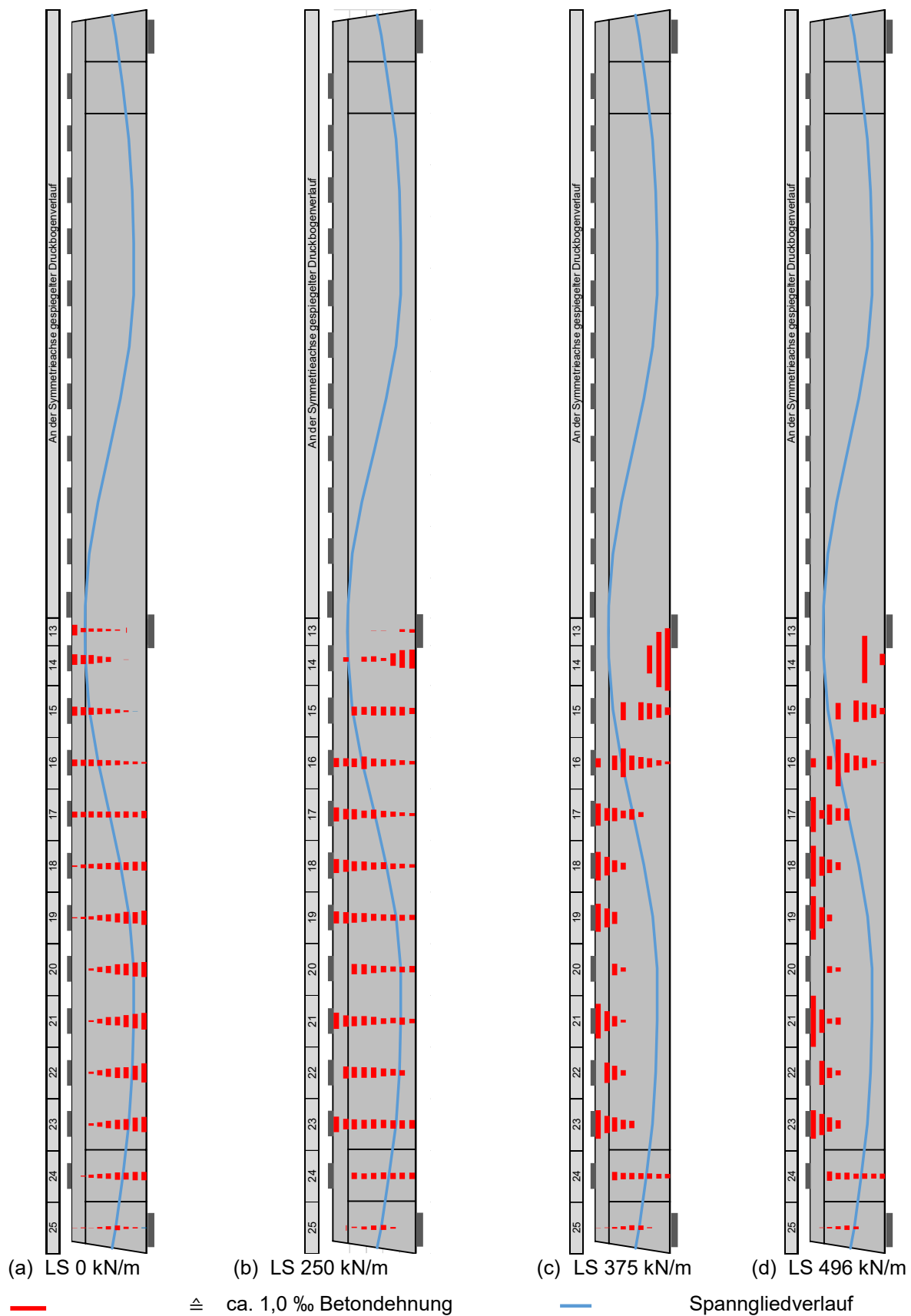
A.2.5.1 Hauptdruckdehnungstrajektorien Versuchsträger DLT 2.2



A.2.5.2 Hauptdruckdehnungstrajektorien Versuchsträger DLT 2.3



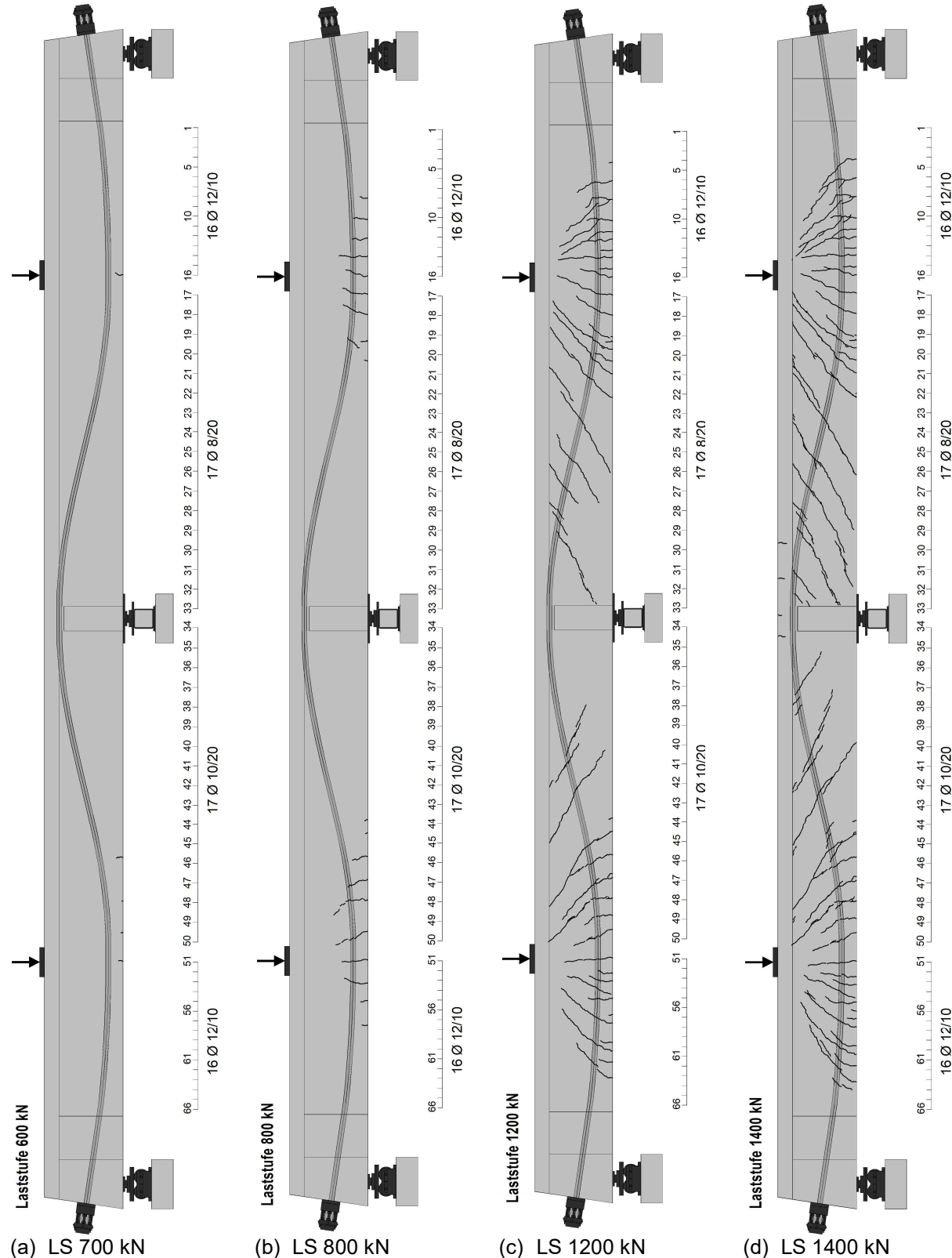
A.2.5.3 Einaxiale Betondehnungen Versuchsträger DLT 2.4

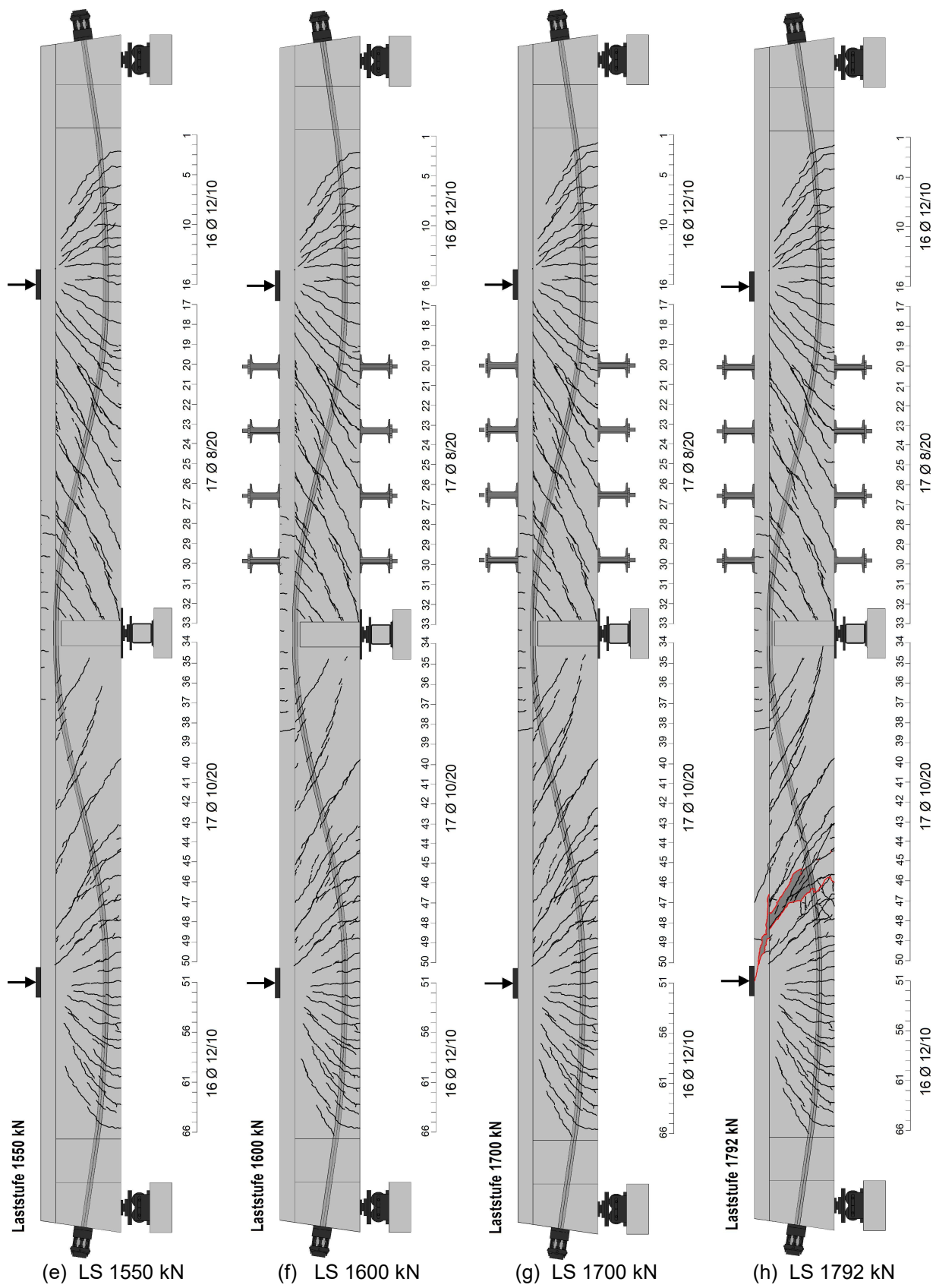


A.3 Messergebnisse – Versuche mit kombinierter Beanspruchung aus M+V+T

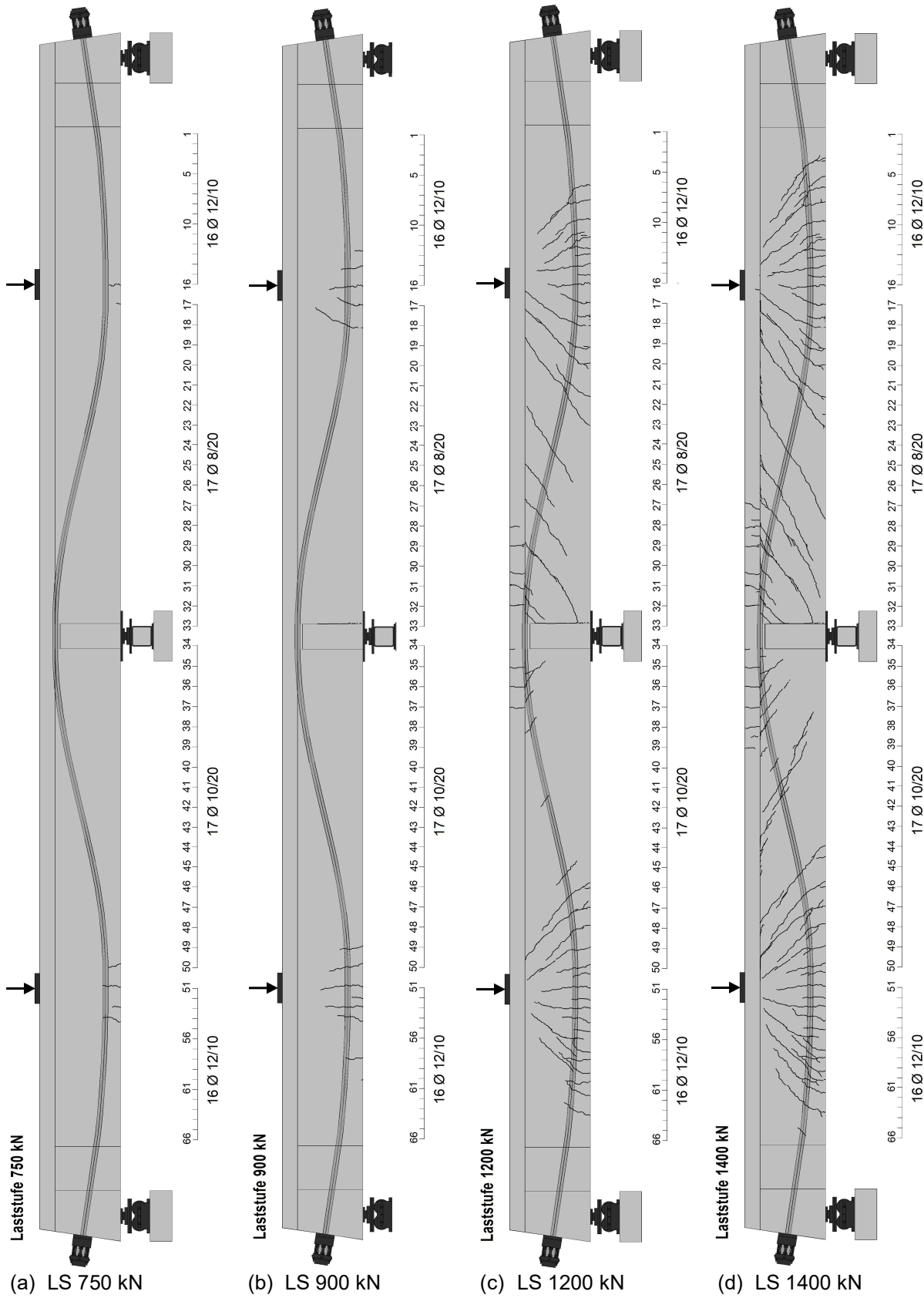
A.3.1 Rissbilder

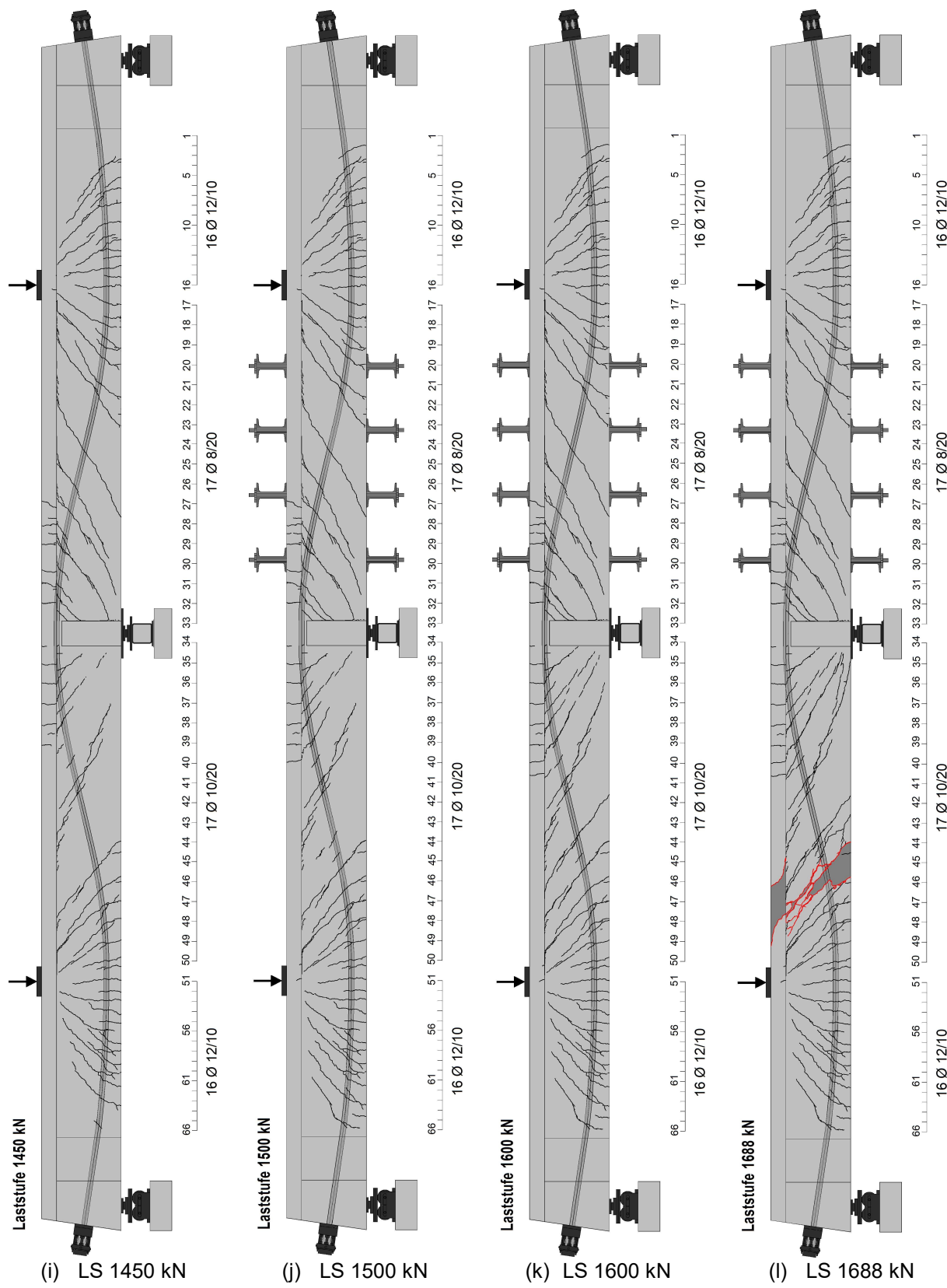
A.3.1.1 Versuchsträger DLT 2.5





A.3.1.2 Versuchsträger DLT 2.6



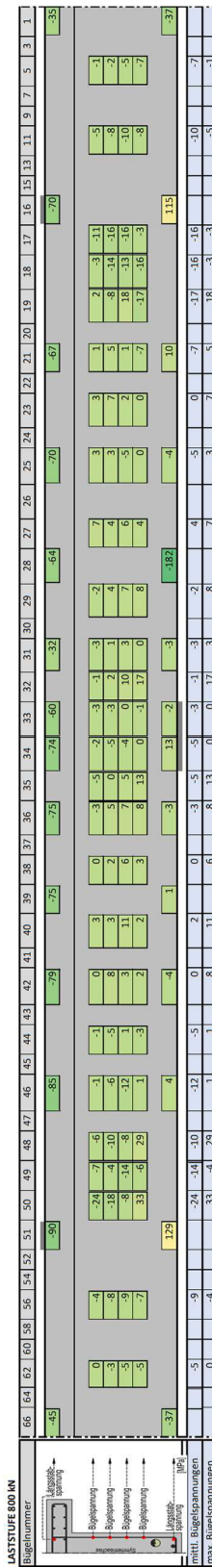


A.3.2 Stahlspannungen

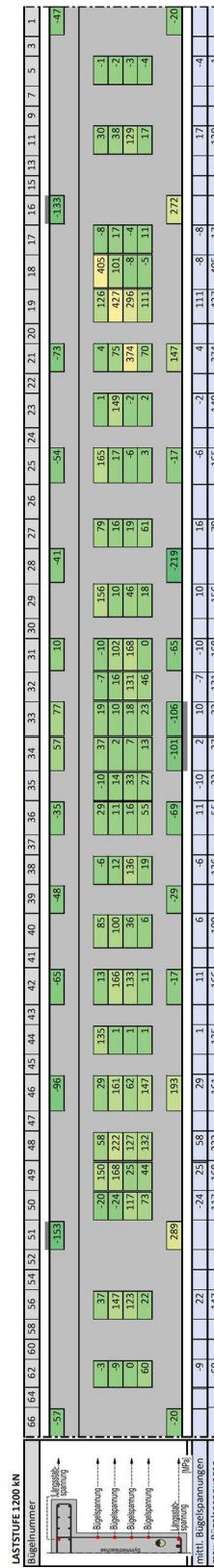
A.3.2.1 Versuchsträger DLT 2.5



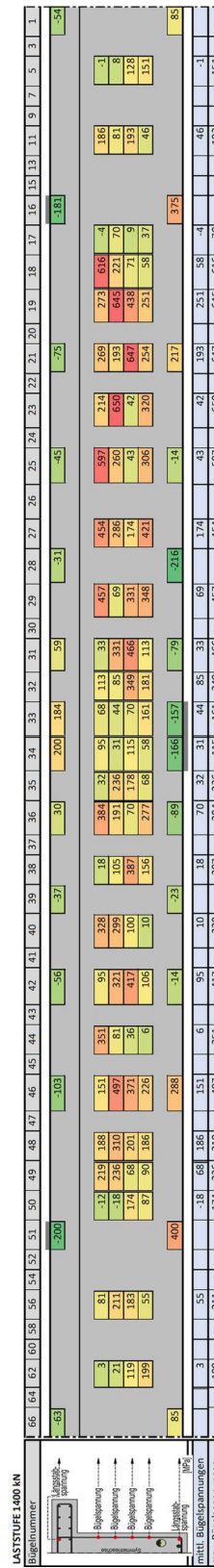
(a) LS 700 kN



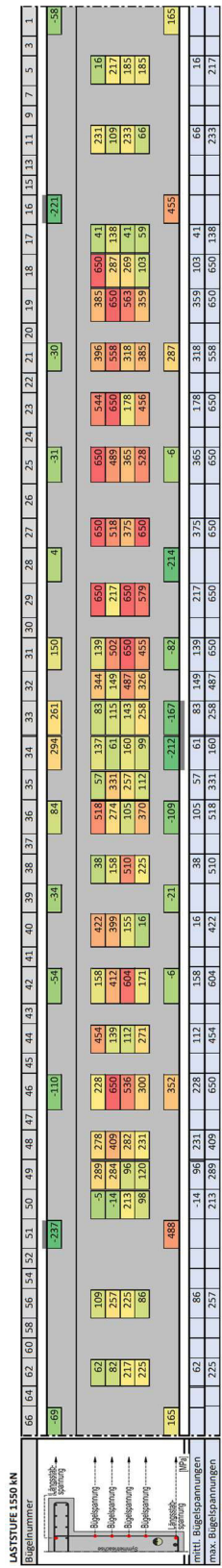
(b) LS 800 kN



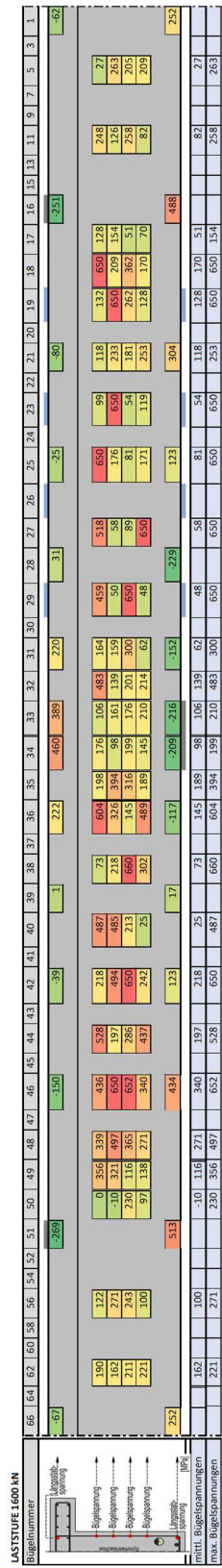
(c) LS 1200 kN



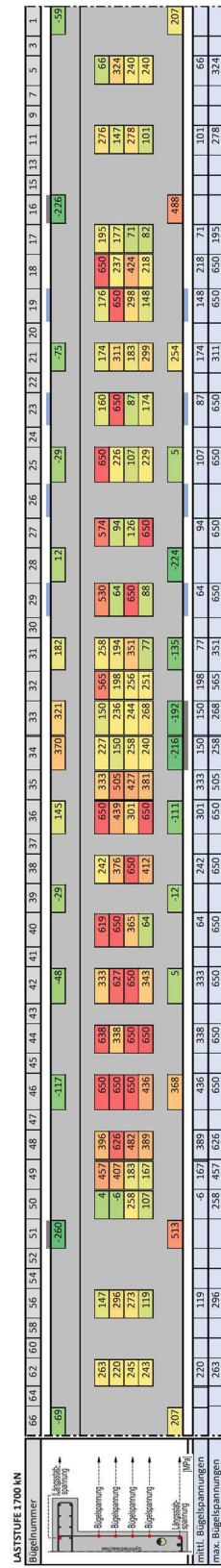
(d) LS 1400 kN



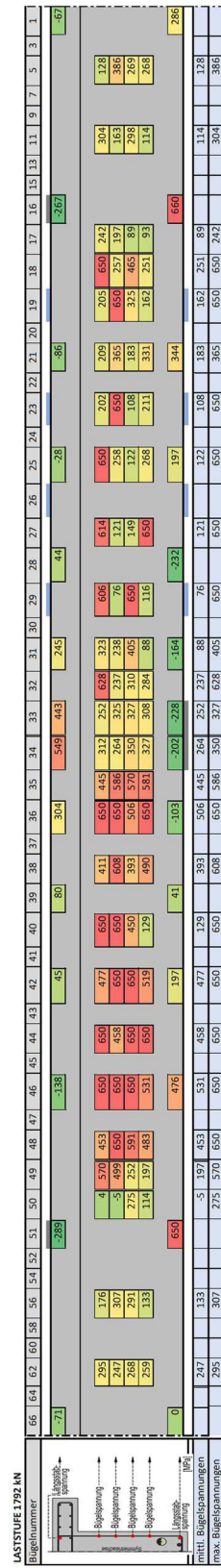
(e) LS 1550 kN



(f) LS 1600 kN



(g) LS 1700 kN



(h) LS 1792 kN

A.3.2.2 Versuchsträger DLT 2.6

(a) LS 750 kN

(b) LS 900 kN

(c) LS 1200 kN

(d) LS 1400 kN

LASTSTUFE 1450 kN	
Bügelnummer	Bügelnummern [W]
66	64 62 60 58 56 54 52 51 50 49 48 47 46 45 44 43 42 41 40 39 38 37 36 35 34 33 32 31 30 29 28 27 26 25 24 23 22 21 20 19 18 17 16 15 13 11 9 7 5 3 1
67	237
68	110
69	54
70	-34
71	84
72	241 265 612 242 16 650 144 65 408 375 104 0 179 116 327 433 190 650 123 269 417 172 1
73	232 89 307 650 550 217 491 44 578 151 185 51 330 352 650 315 126 426 569 82 220 74
74	135 189 362 392 13 15 577 297 123 432 293 132 328 650 650 5 164 -12 256 138
75	142 110 209 225 285 8 10 651 651 26 173 177 650 375 637 212 485 28 447 132 5 95
76	116 165 488 352 6 -21 -109 -212 -167 -82 -214 -6 287 455 165
77	8 59 89 189 225 242 13 10 104 44 26 151 104 0 51 116 327 212 190 5 123 269 132 -12 95 -1
78	284 257 241 307 650 650 26 650 577 651 578 432 293 240 650 650 650 650 650 650 417 256 266
mittl. Bügelspannungen	max. Bügelspannungen

LASTSTUFE 1500 kN	
Bügelnummer	Bügelnummern [W]
66	64 62 60 58 56 54 52 51 50 49 48 47 46 45 44 43 42 41 40 39 38 37 36 35 34 33 32 31 30 29 28 27 26 25 24 23 22 21 20 19 18 17 16 15 13 11 9 7 5 3 1
67	269
68	150
69	-39
70	1
71	222
72	460 -389 270 31
73	228 342 503 445 158 0 484 68 78 32 13 331 44 66 5 44 650 348 203 3
74	278 364 650 305 49 650 337 675 150 235 299 13 329 447 79 220 447 79 272 116
75	115 386 650 320 38 42 650 405 324 639 369 276 95 650 650 77 150 267 -10 279 302
76	168 159 271 431 572 8 168 650 650 51 394 250 179 650 27 117 22 66 19 209 368 159 1 137 192
77	174 116 221 275 364 27 168 650 650 117 209 216 152 229 123 304 488 252
78	252 513 434 123 17 368 5 12 -111 216 -192 135 224 5 254 488 207
79	150 82 113 221 275 305 8 16 168 150 51 293 130 95 13 13 66 166 5 44 159 -10 137 3
80	315 272 278 386 650 650 49 650 675 650 650 639 369 295 650 650 650 650 650 650 348 279 302
mittl. Bügelspannungen	max. Bügelspannungen

LASTSTUFE 1600 kN	
Bügelnummer	Bügelnummern [W]
66	64 62 60 58 56 54 52 51 50 49 48 47 46 45 44 43 42 41 40 39 38 37 36 35 34 33 32 31 30 29 28 27 26 25 24 23 22 21 20 19 18 17 16 15 13 11 9 7 5 3 1
67	260
68	-117
69	48
70	-79
71	145
72	370 -321 182 12 79 75
73	328 457 650 409 650 371 523 489 199 0 596 36 96 40 375 214 31 19 40 44 650 397 228 36
74	302 169 454 650 411 650 391 650 481 650 432 371 114 650 650 26 145 498 89 302 158
75	341 190 334 463 625 538 58 194 130 176 650 650 326 234 650 39 136 22 35 21 243 415 186 3 305 234
76	209 301 454 650 448 314 134 135 244 314 130 111 216 -192 135 224 5 254 488 207
77	207 513 368 5 -12 5 111 216 -192 135 224 5 254 488 207
78	169 96 128 244 314 411 130 58 176 473 523 347 199 0 114 31 19 26 40 124 21 48 186 8 160 36
79	34 1 302 301 254 650 650 650 650 650 650 650 650 650 650 650 650 650 650 650 650 397 305 329
mittl. Bügelspannungen	max. Bügelspannungen

LASTSTUFE 1688 kN	
Bügelnummer	Bügelnummern [W]
66	64 62 60 58 56 54 52 51 50 49 48 47 46 45 44 43 42 41 40 39 38 37 36 35 34 33 32 31 30 29 28 27 26 25 24 23 22 21 20 19 18 17 16 15 13 11 9 7 5 3 1
67	269
68	-138
69	45
70	304
71	30
72	443 245 44 28 386
73	549 117 52 13 73 33 53 650 448 261 87
74	310 189 454 650 486 506 650 650 644 650 416 403 525 302 50 27 433 430 427 116 200
75	356 204 474 650 508 650 650 650 544 650 650 478 340 650 650 57 158 650 427 116 345 332
76	238 320 294 377 590 326 198 650 650 650 650 650 650 650 650 650 650 650 650 427 116 190 270
77	0 650 476 197 41 103 202 -228 154 197 344 650 650 650 650 650 650 650 650 650 650 345 350
78	189 115 154 294 377 486 280 198 544 583 416 296 0 145 50 27 22 -29 -82 33 53 230 5 190 87
79	356 320 329 580 650 650 650 650 650 650 650 650 650 650 650 650 650 650 650 650 650 348 350
mittl. Bügelspannungen	max. Bügelspannungen

(e) LS 1450 kN

(f) LS 1500 kN

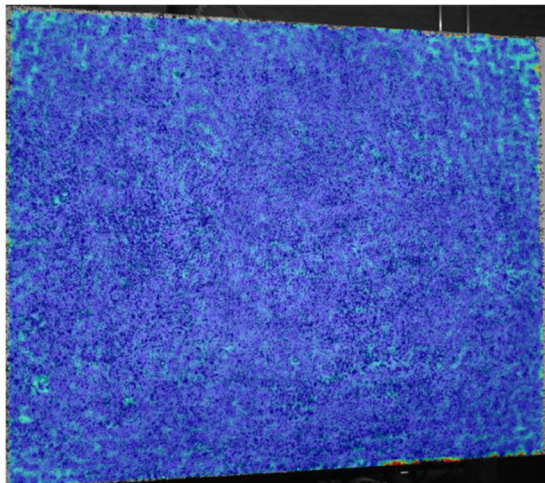
(g) LS 1600 kN

(h) LS 1688 kN

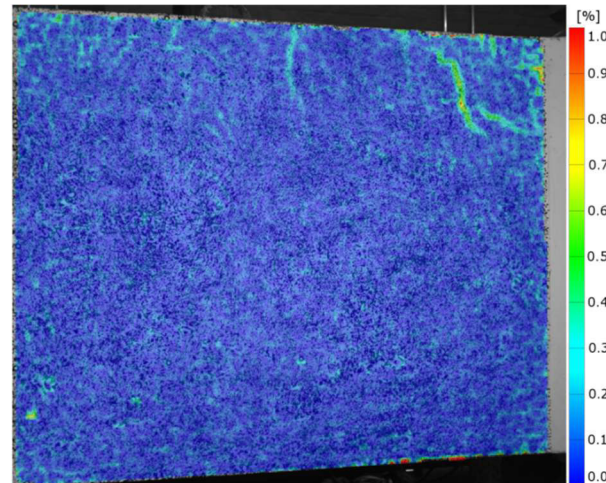
A.4 Messergebnisse – Technische Universität München

A.4.1 Ergebnisse der optischen Messungen im Bereich der Mittelstütze (SCHRAMM, 2020)

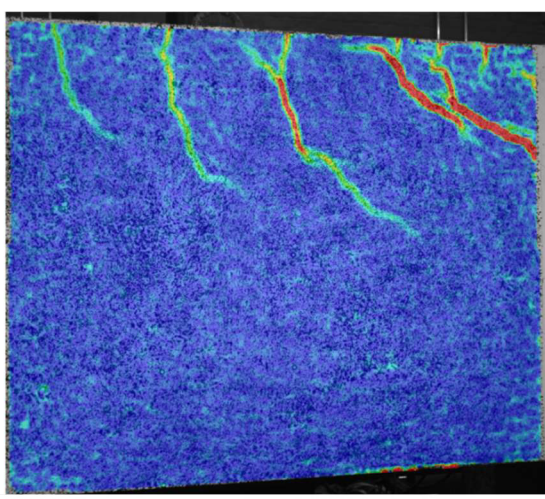
A.4.1.1 Versuchsträger V1, ohne Bügelbewehrung, $V_{max}=596$ kN



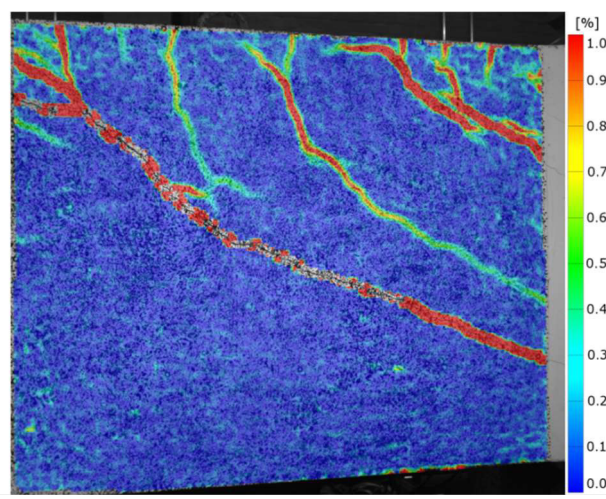
A 4: Laststufe 25% V_{max}



A 4: Laststufe 50% V_{max}

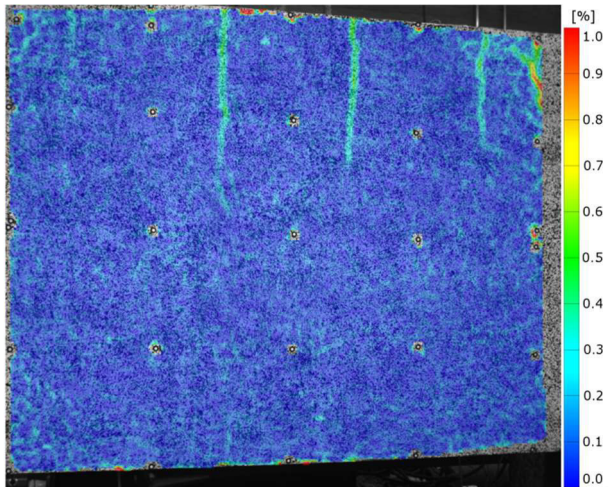


A 4: Laststufe 75% V_{max}

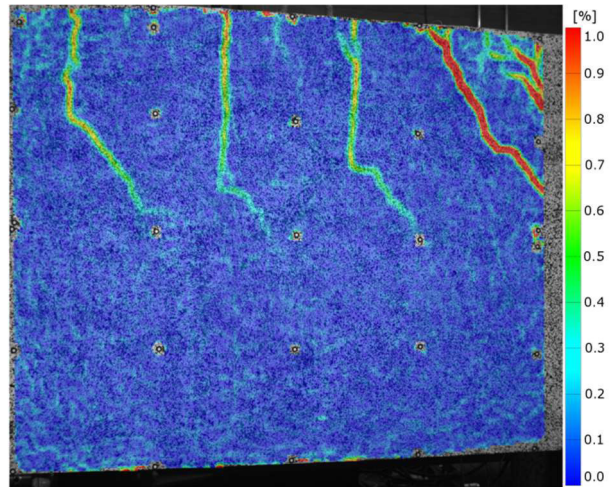


A 4: Laststufe 100% V_{max}

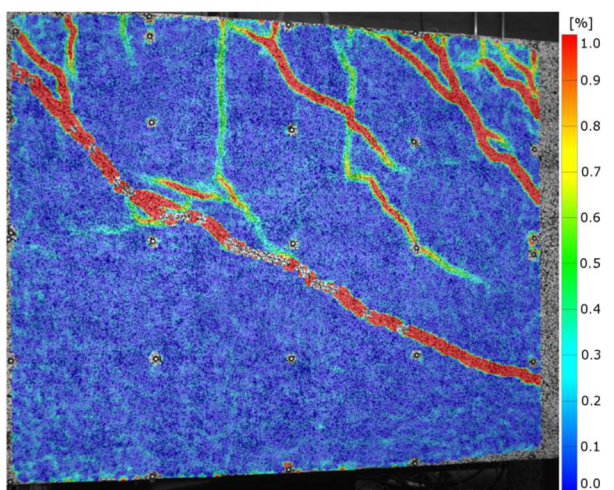
A.4.1.2 Versuchsträger V2, Bügel Ø6/25, geschlossene Bügel, $V_{max}=711$ kN



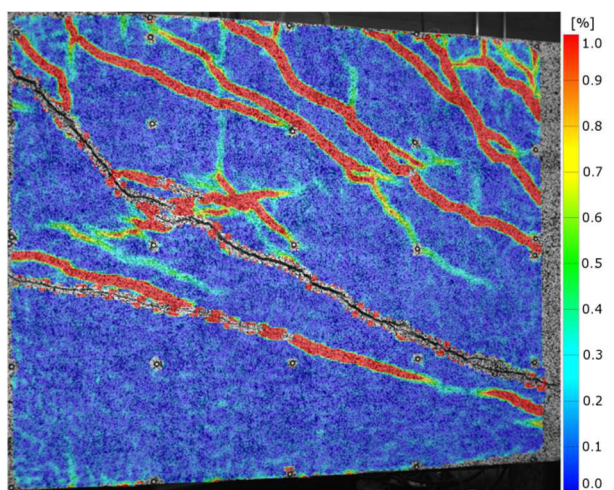
A 10: Laststufe 25% V_{max}



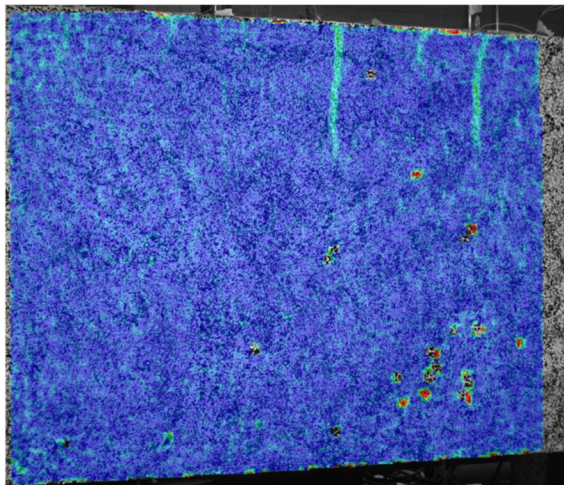
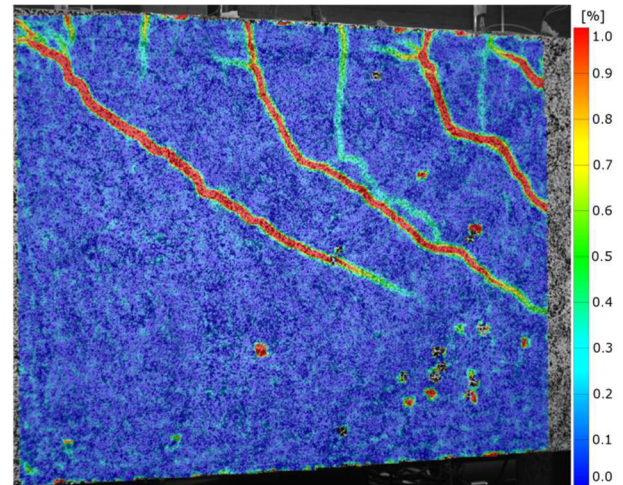
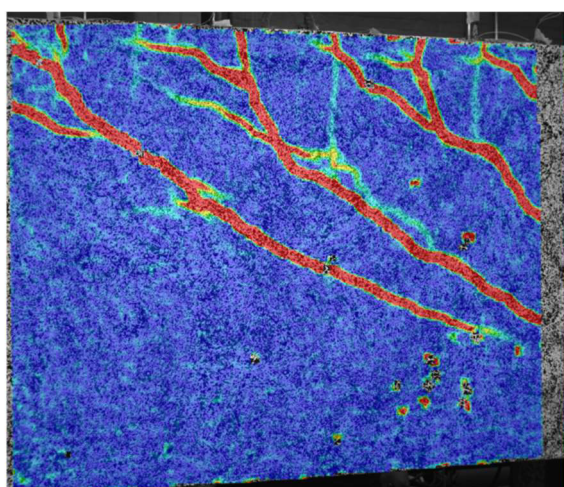
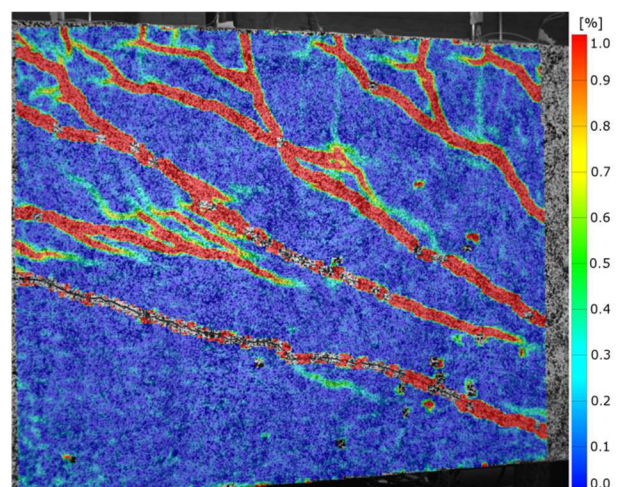
A 10: Laststufe 50% V_{max}



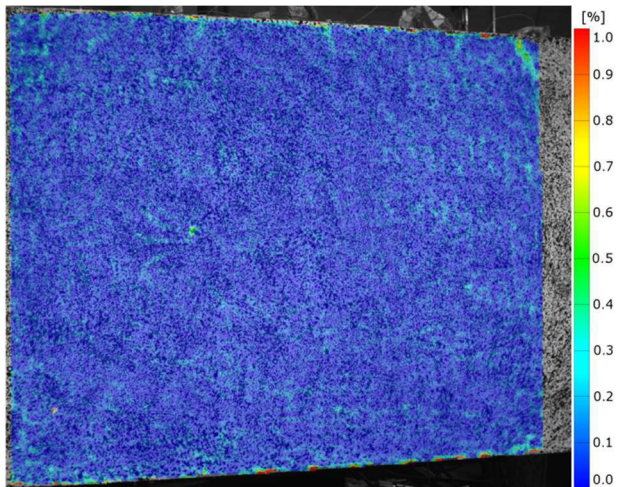
A 10: Laststufe 75% V_{max}



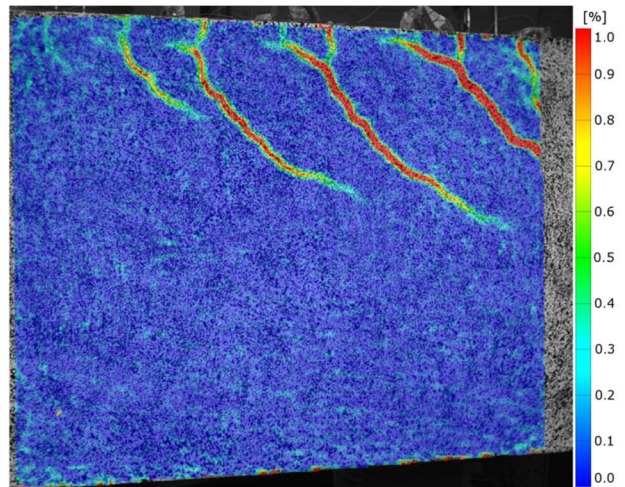
A 10: Laststufe 100% V_{max}

A.4.1.3 Versuchsträger V3, Bügel Ø6/25, geschlossene Bügel, $V_{max}=713$ kNA 14: Laststufe 25% V_{max} A 14: Laststufe 50% V_{max} A 14: Laststufe 75% V_{max} A 14: Laststufe 100% V_{max}

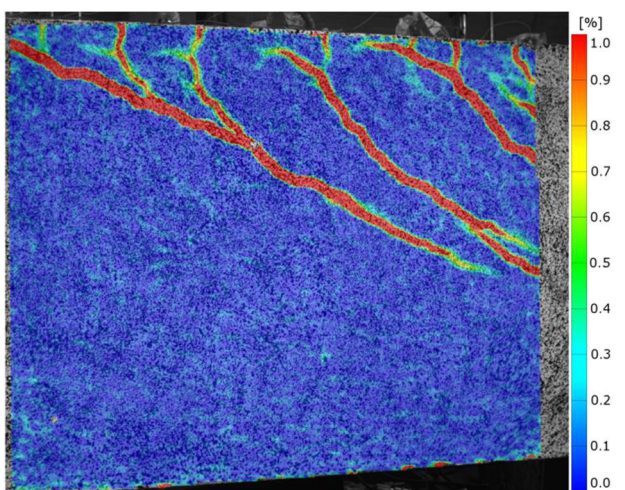
A.4.1.4 Versuchsträger V4, Bügel Ø6/25, oben offene Bügel, $V_{max}=659$ kN



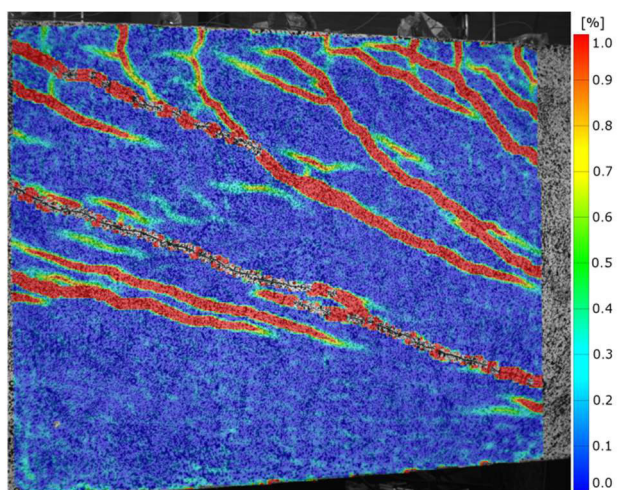
A 18: Laststufe 25% V_{max}



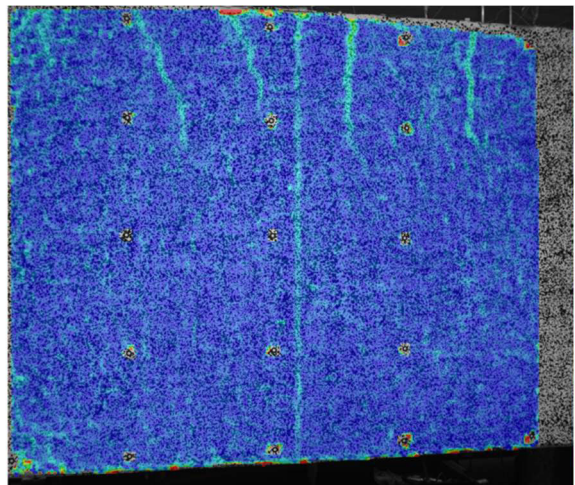
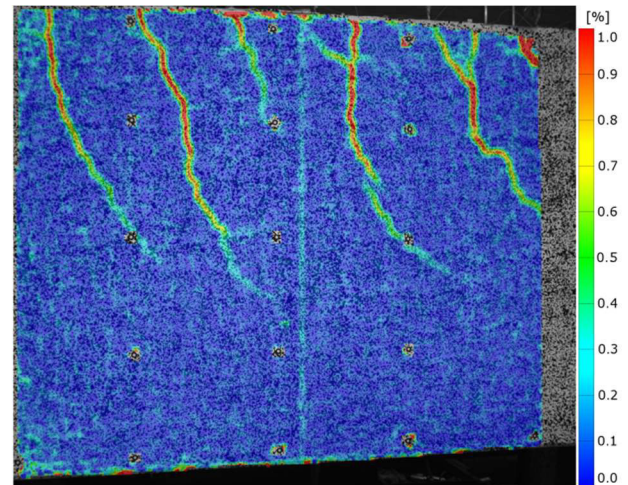
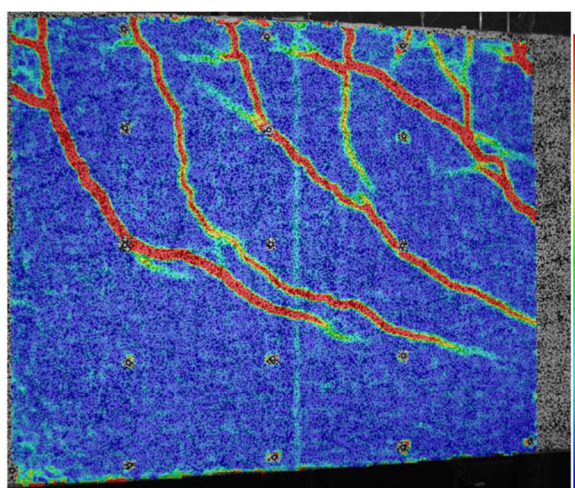
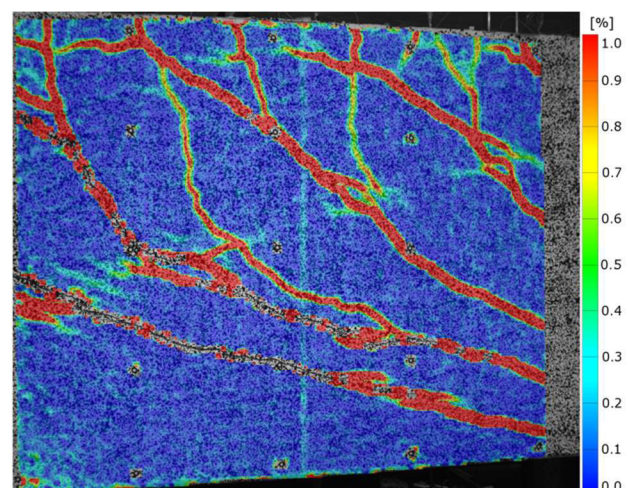
A 18: Laststufe 50% V_{max}



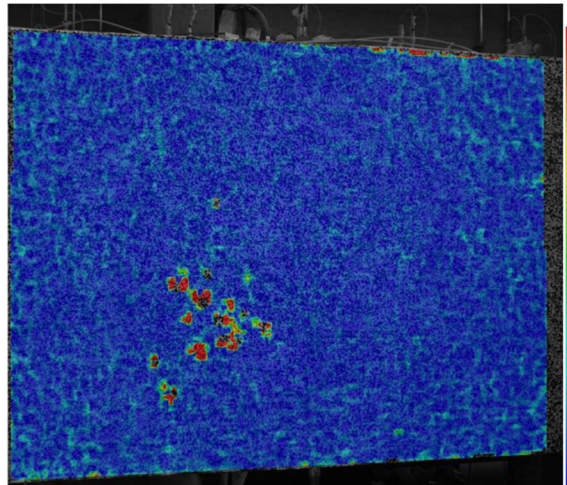
A 18: Laststufe 75% V_{max}



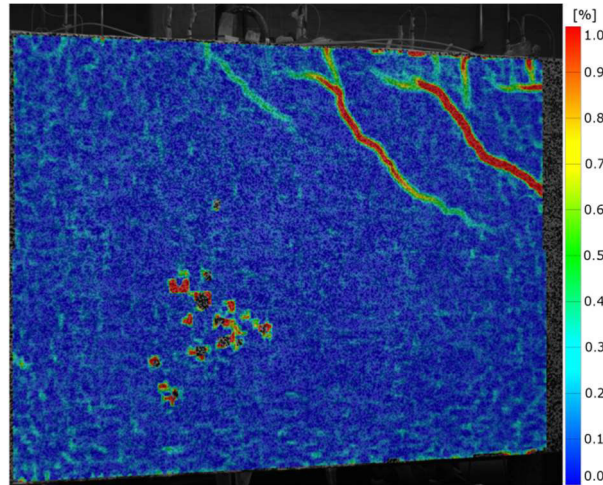
A 18: Laststufe 100% V_{max}

A.4.1.5 Versuchsträger V5, Bügel Ø6/25, oben offene Bügel, $V_{max}=583$ kNA 22: Laststufe 25% V_{max} A 22: Laststufe 50% V_{max} A 22: Laststufe 75% V_{max} A 22: Laststufe 100% V_{max}

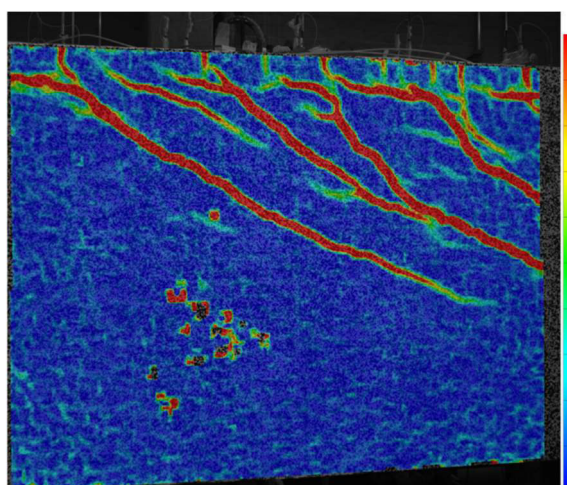
A.4.1.6 Versuchsträger V6, Bügel Ø6/25, geschlossene Bügel + Stecker im Stützbereich, $V_{max}=704$ kN



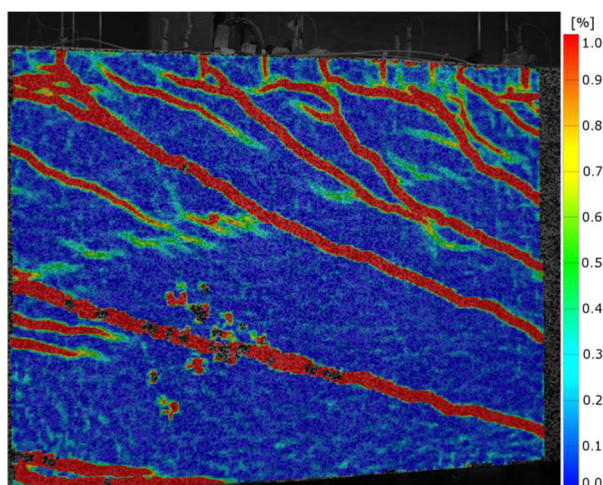
A 26: Laststufe 25% V_{max}



A 26: Laststufe 50% V_{max}

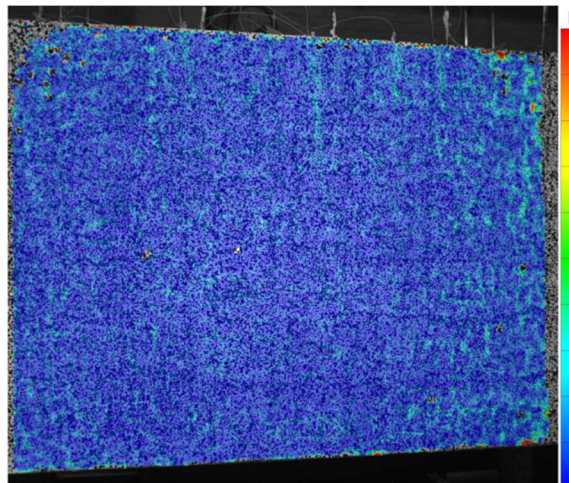


A 26: Laststufe 75% V_{max}

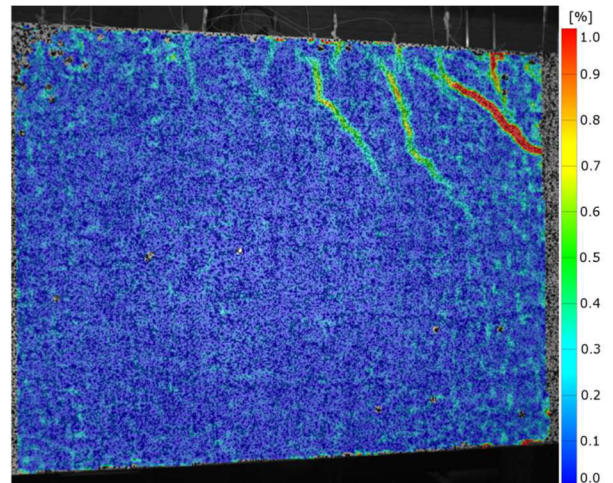


A 26: Laststufe 100% V_{max}

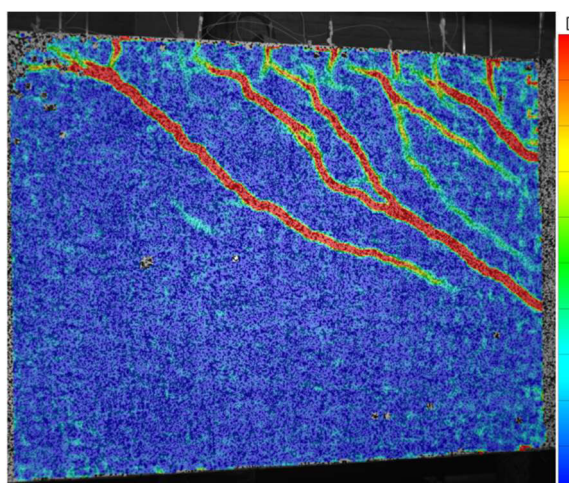
A.4.1.7 Versuchsträger V7, Bügel Ø6/25, geschlossene Bügel + Stecker im Stützbereich, $V_{max}=668$ kN



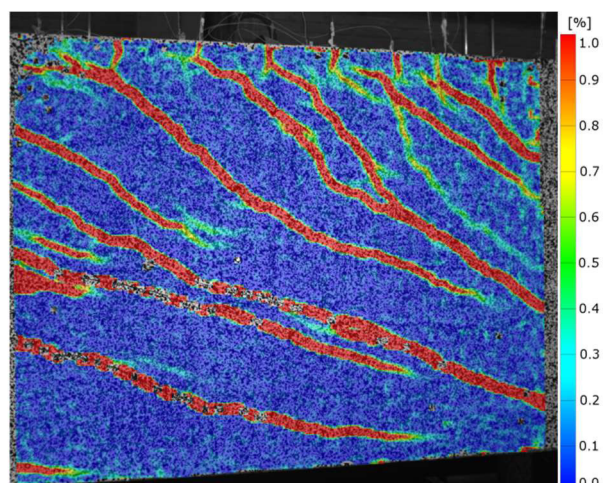
A 30: Laststufe 25% V_{max}



A 30: Laststufe 50% V_{max}

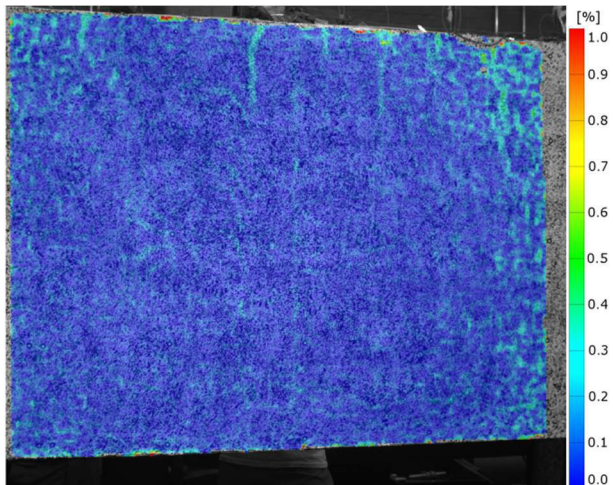


A 30: Laststufe 75% V_{max}

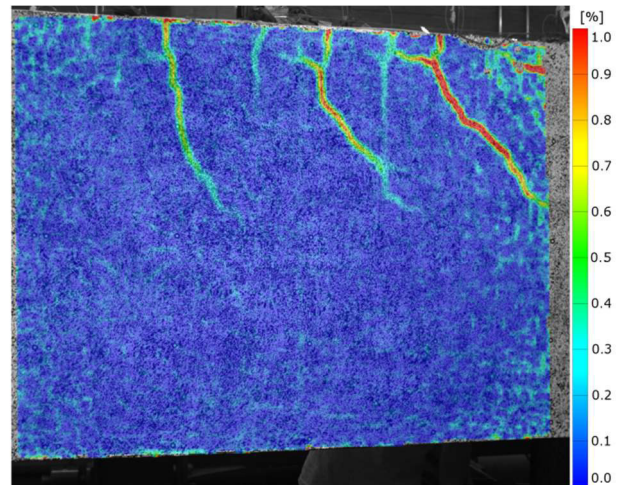


A 30: Laststufe 100% V_{max}

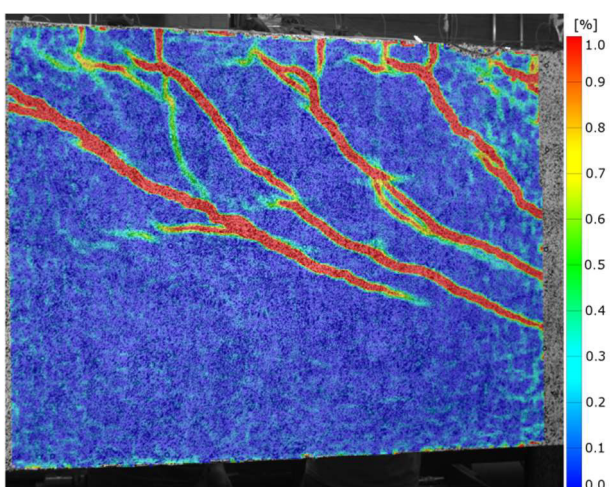
A.4.1.8 Versuchsträger V8, Bügel Ø6/25, gestoßener Bügel, $V_{max}=704$ kN



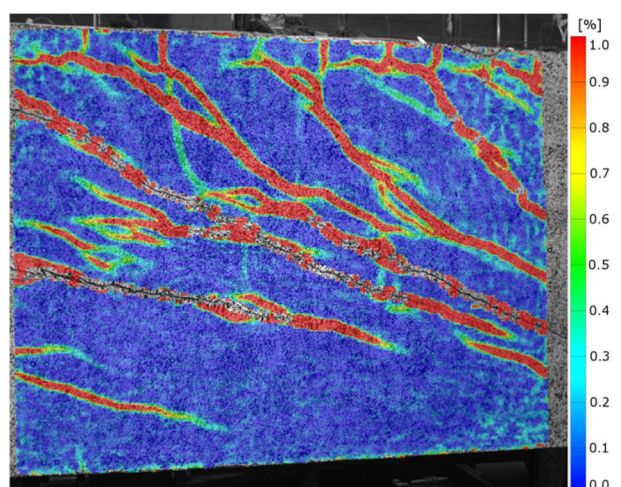
A 34: Laststufe 25% V_{max}



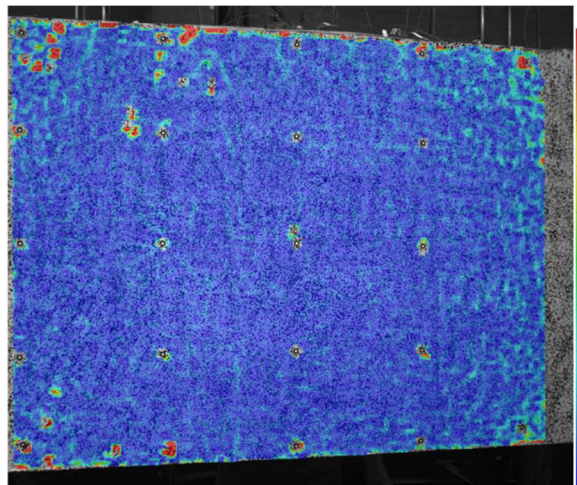
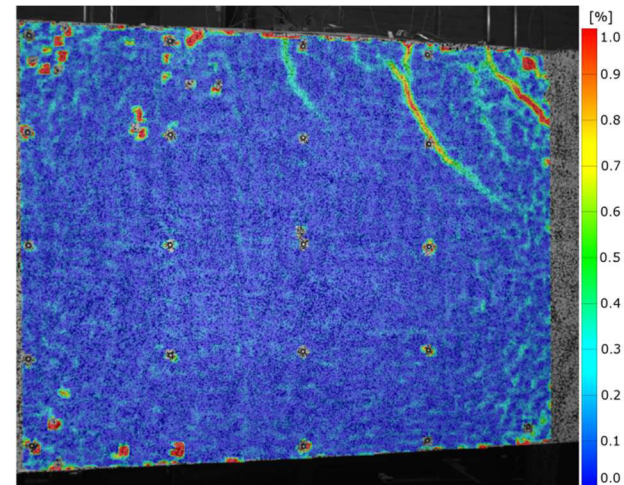
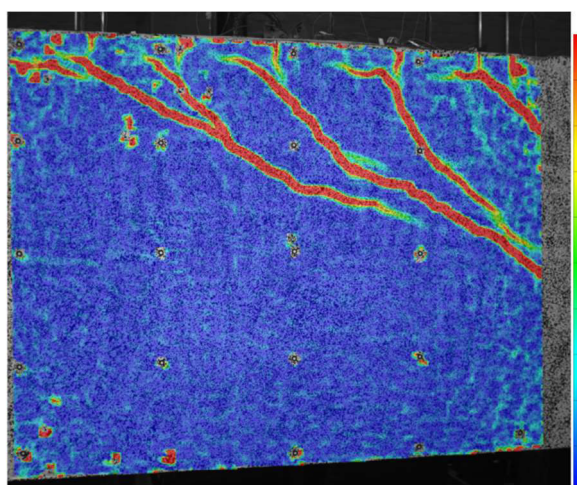
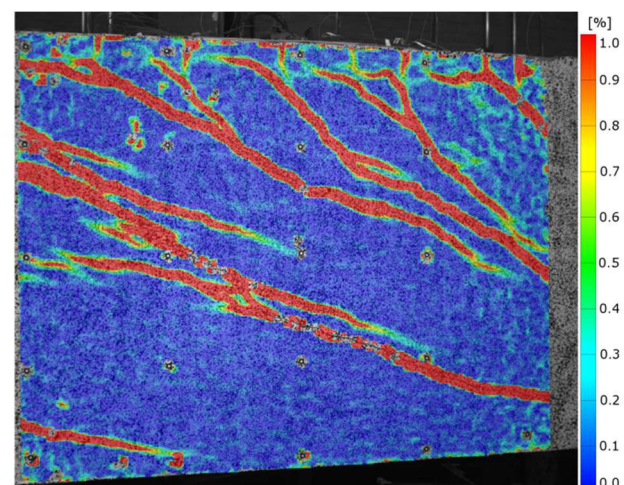
A 34: Laststufe 50% V_{max}



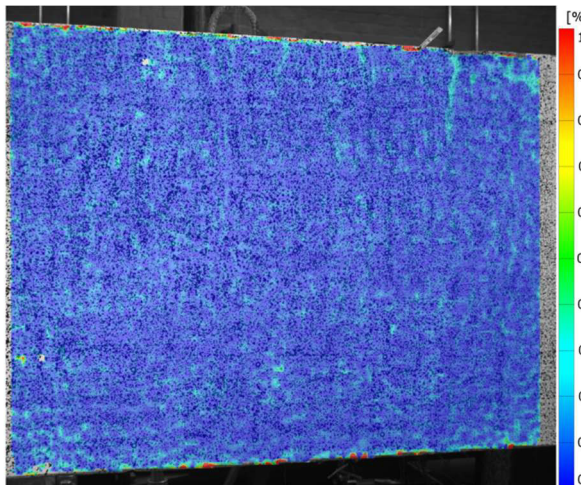
A 34: Laststufe 75% V_{max}



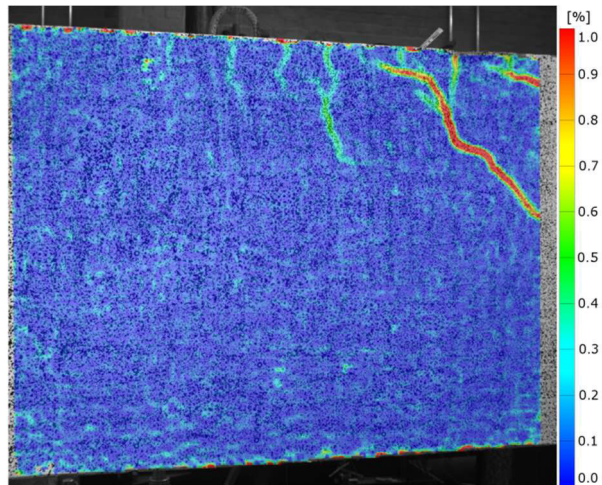
A 34: Laststufe 100% V_{max}

A.4.1.9 Versuchsträger V9, Bügel Ø6/25, gestoßener Bügel, $V_{max}=661$ kNA 38: Laststufe 25% V_{max} A 38: Laststufe 50% V_{max} A 38: Laststufe 75% V_{max} A 38: Laststufe 100% V_{max}

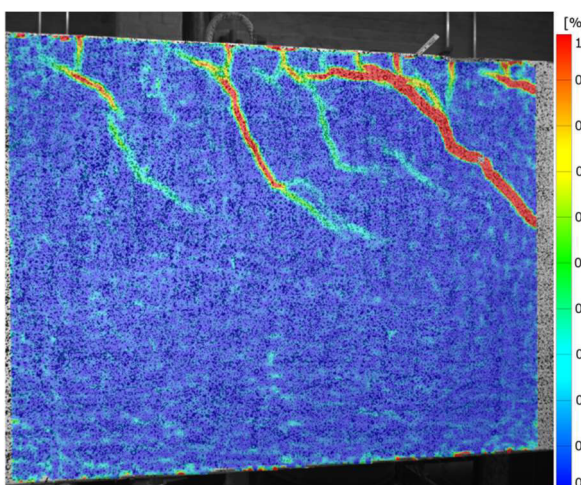
A.4.1.10 Versuchsträger V10, keine Bügel, $V_{max}=596 \text{ kN}$



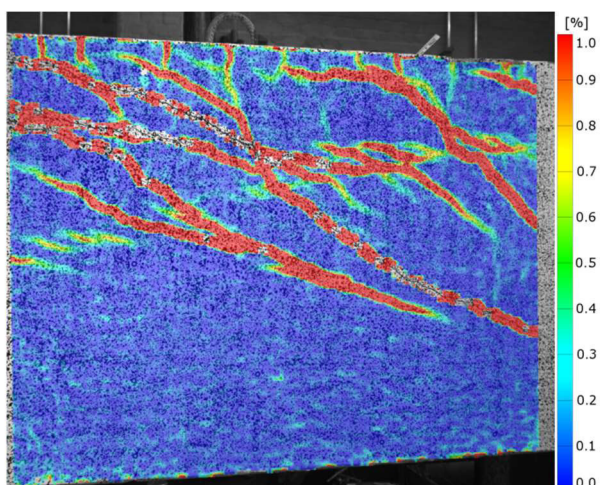
A 42: Laststufe 25% V_{max}



A 42: Laststufe 50% V_{max}

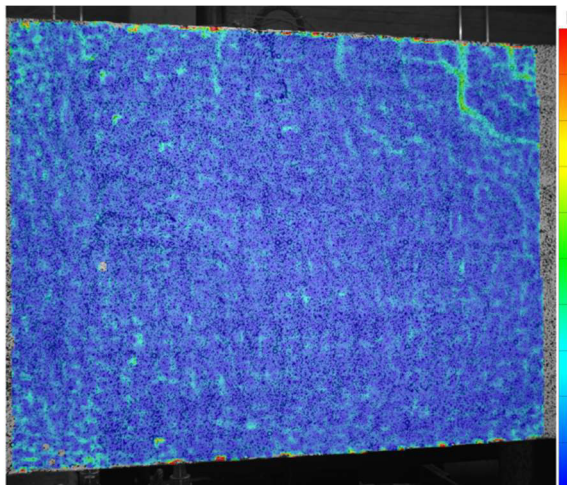
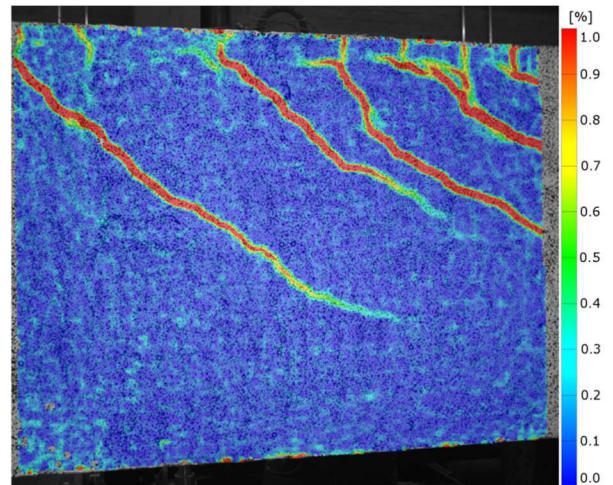
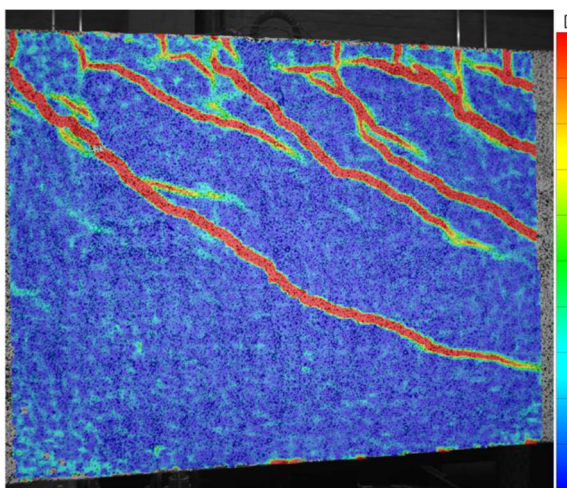
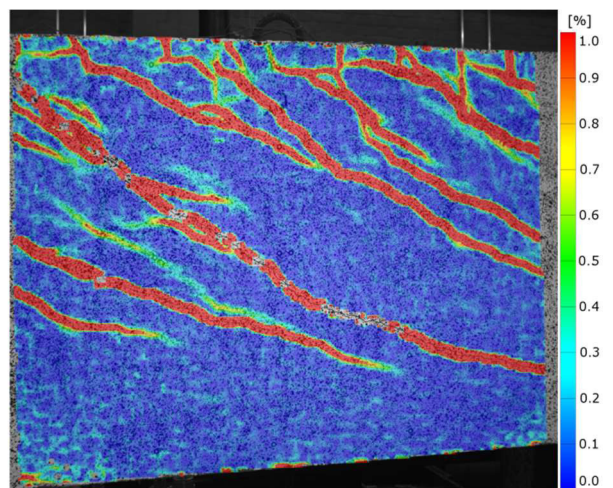


A 42: Laststufe 75% V_{max}



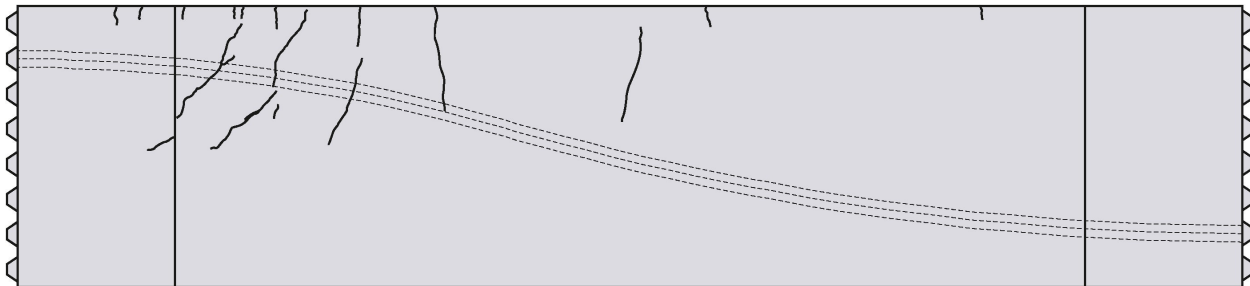
A 42: Laststufe 100% V_{max}

A.4.1.11

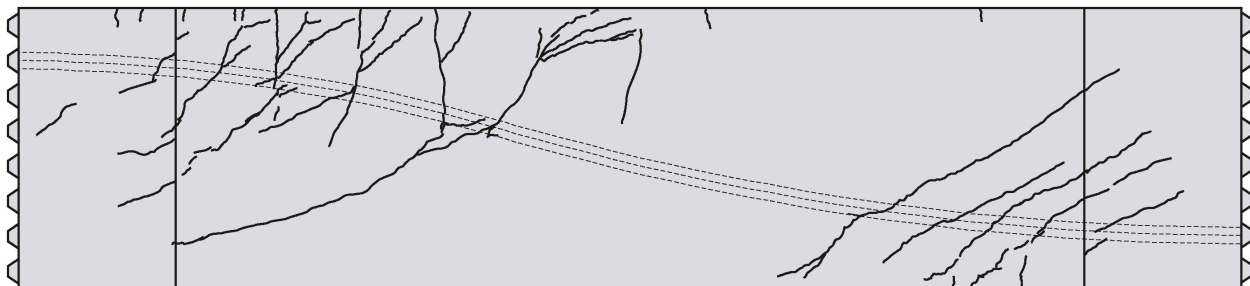
Versuchsträger V11, Bügel Ø10/25, geschlossene Bügel, $V_{max}=910$ kNA 46: Laststufe 25% V_{max} A 46: Laststufe 50% V_{max} A 46: Laststufe 75% V_{max} A 46: Laststufe 100% V_{max}

A.4.2 Rissbilder (SCHRAMM, 2020)

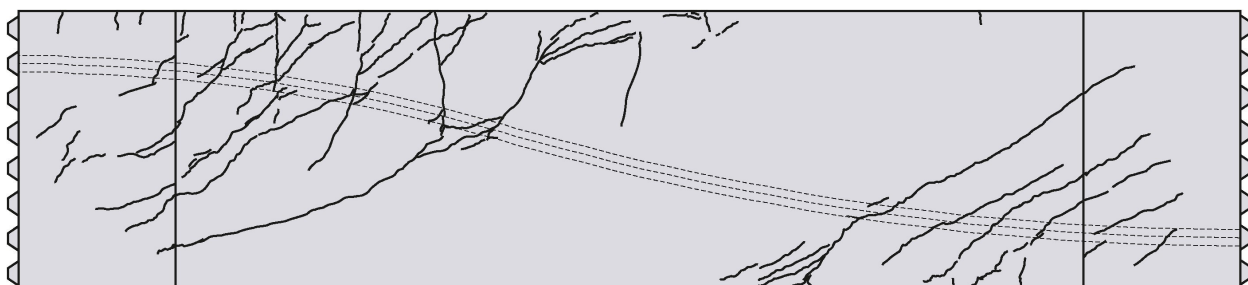
A.4.3 Versuchsträger V2, Bügel Ø6/25, geschlossene Bügel, $V_{\max}=711 \text{ kN}$



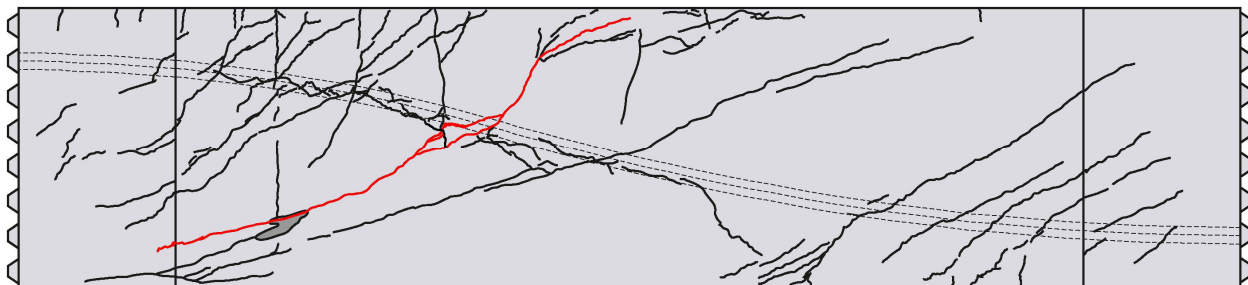
A 50: Rissbild, Laststufe 50% V_{\max}



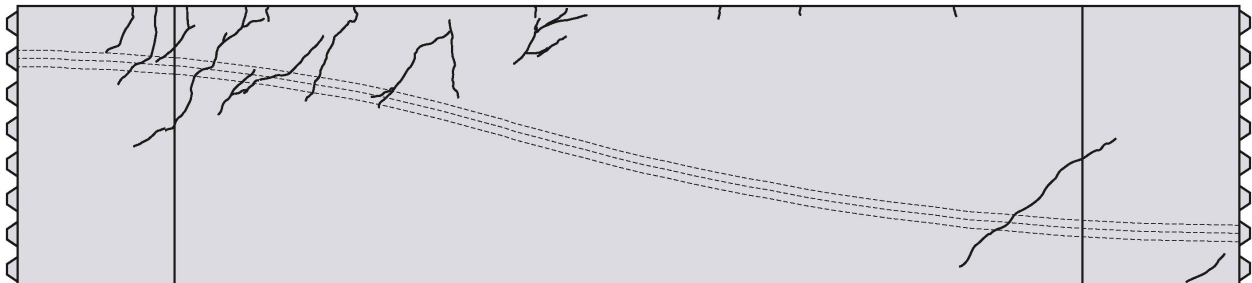
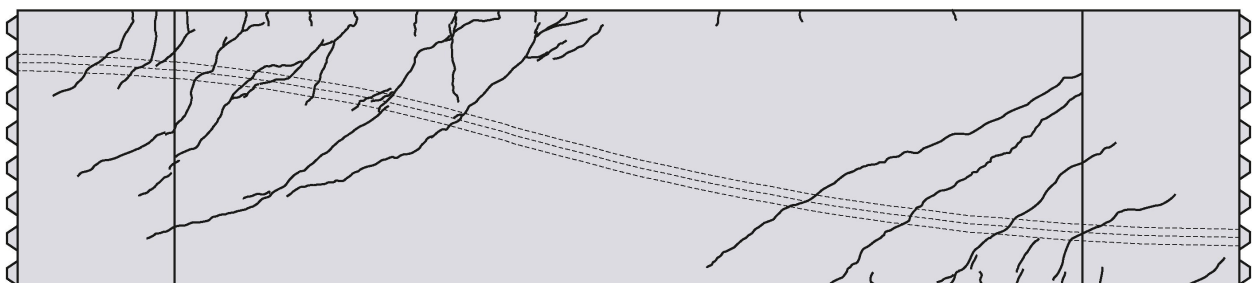
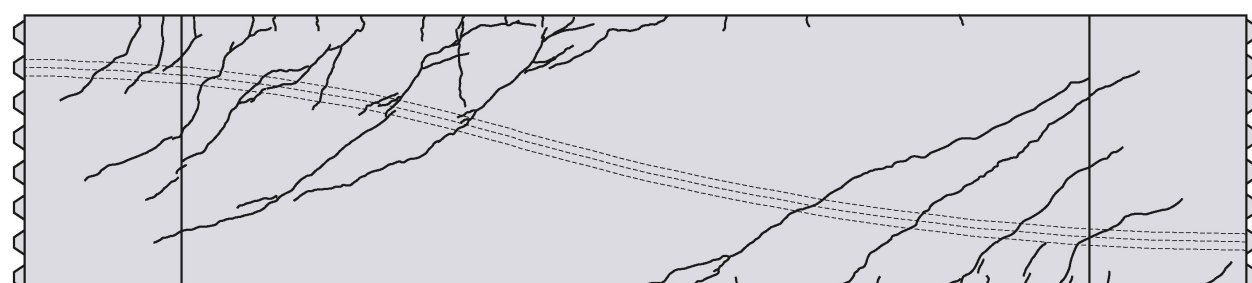
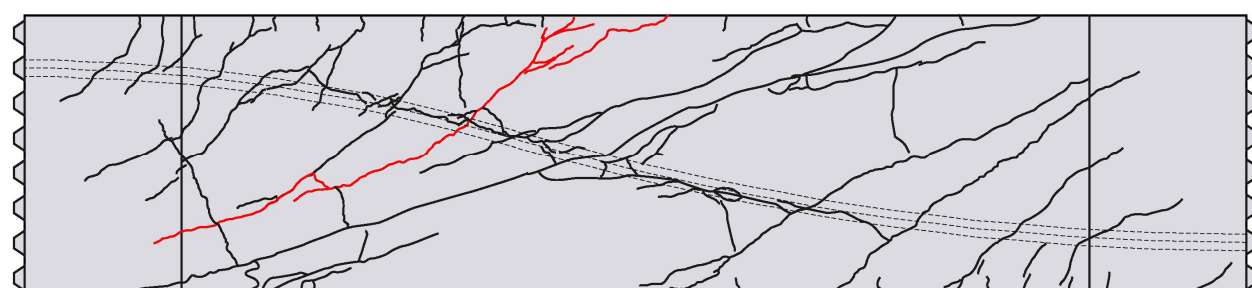
A 50: Rissbild, Laststufe 75% V_{\max}



A 50: Rissbild, Laststufe 91% V_{\max}

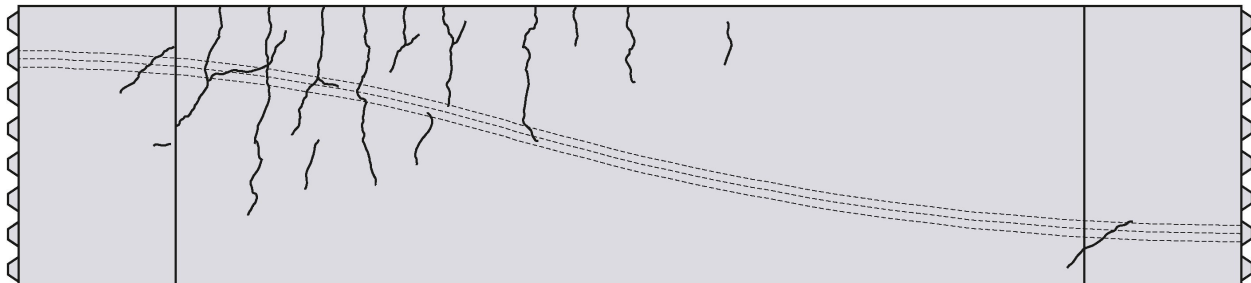


A 50: Rissbild, Laststufe Nachbruch

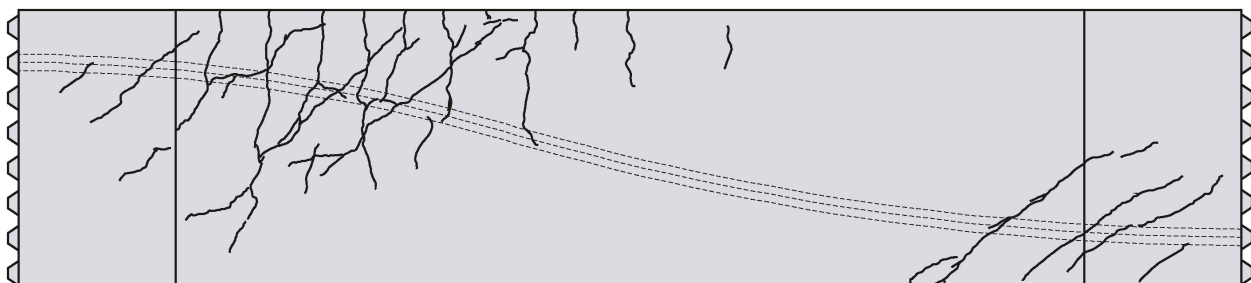
A.4.3.1 Versuchsträger V3, Bügel Ø6/25, geschlossene Bügel, $V_{max}=713 \text{ kN}$ A 54: Rissbild, Laststufe 50% V_{max} A 54: Rissbild, Laststufe 75% V_{max} A 54: Rissbild, Laststufe 88% V_{max} 

A 54: Rissbild, Laststufe Nachbruch

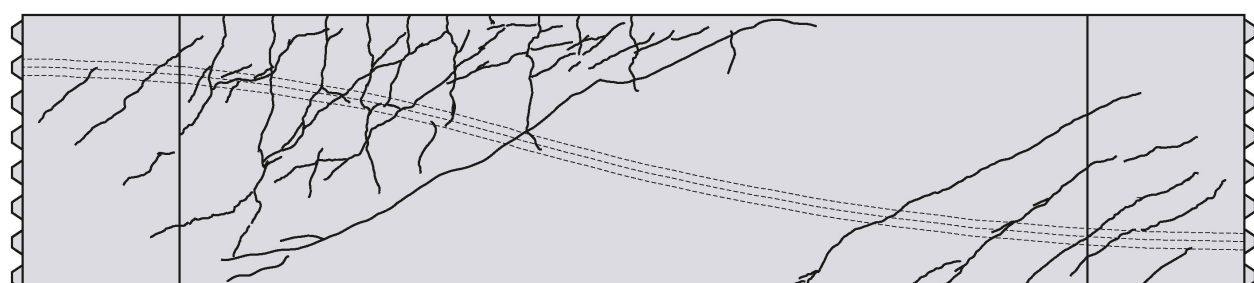
A.4.3.2 Versuchsträger V4, Bügel Ø6/25, oben offene Bügel, $V_{max}=659 \text{ kN}$



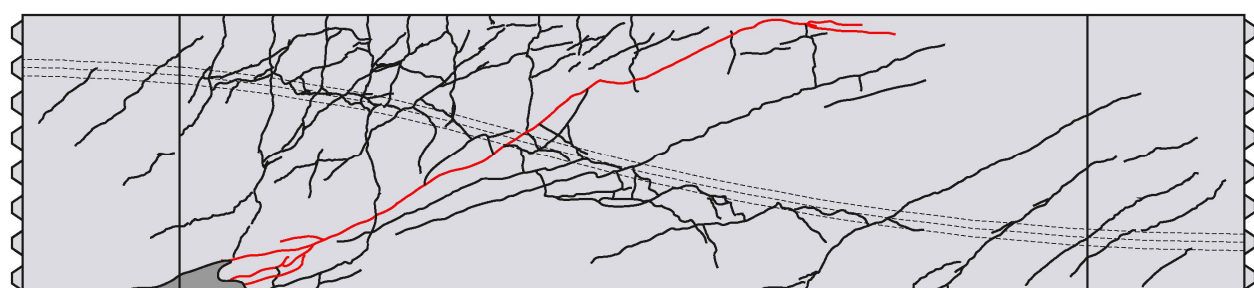
A 58: Rissbild, Laststufe 50% V_{max}



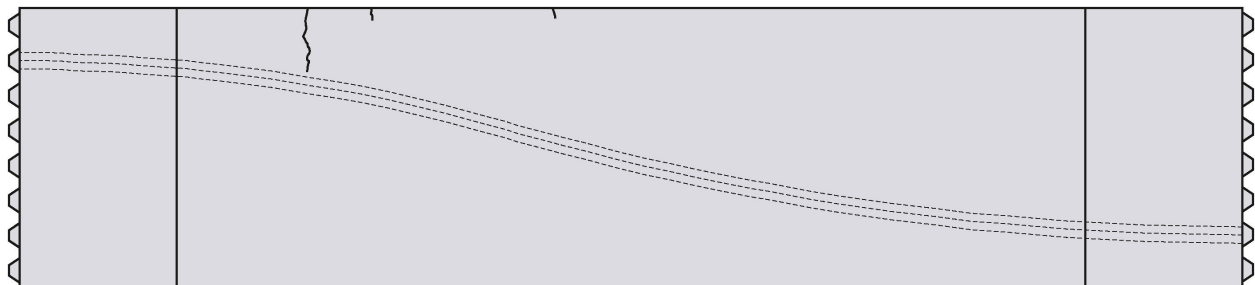
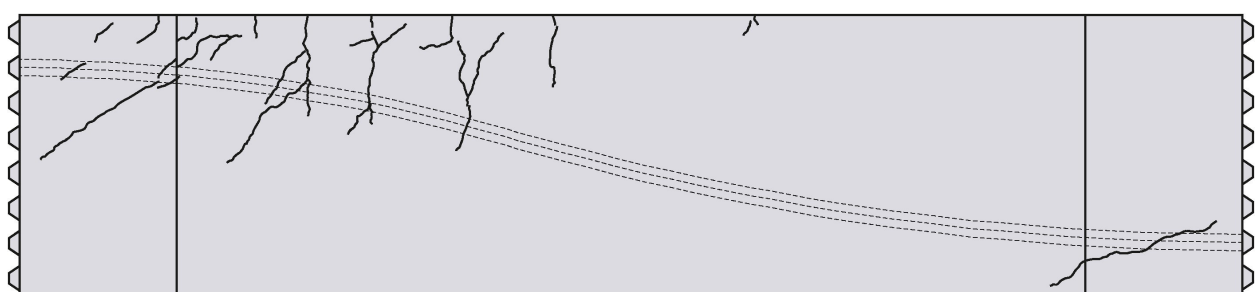
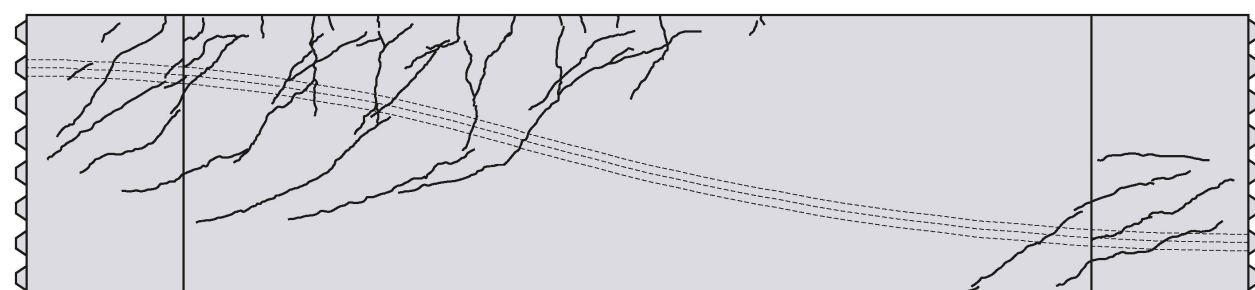
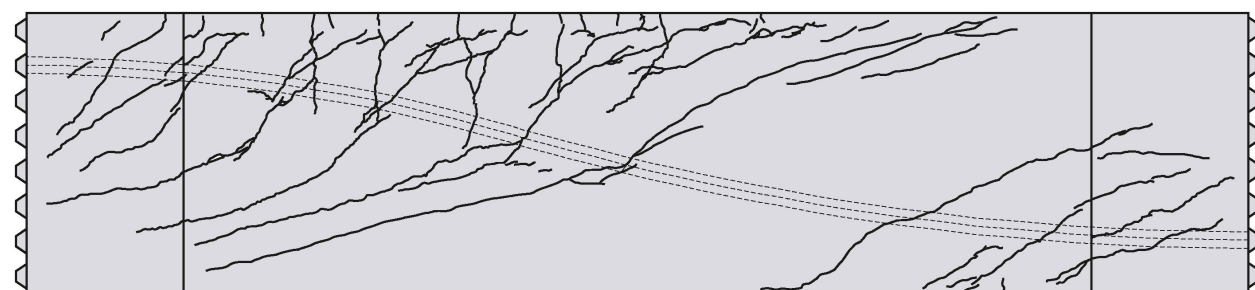
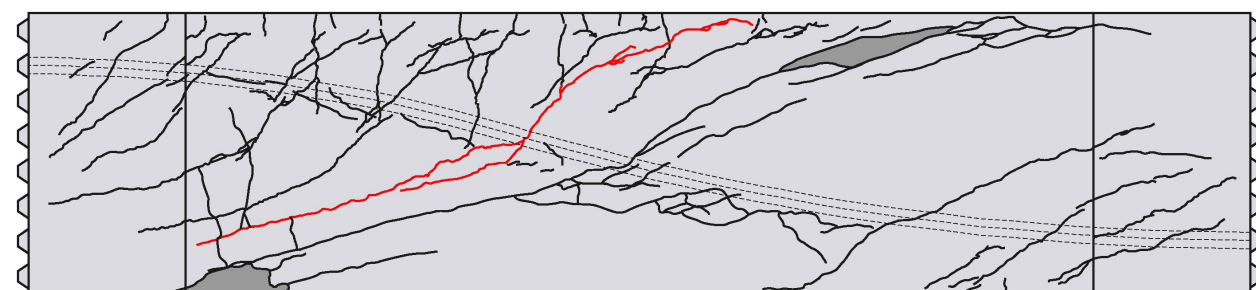
A 58: Rissbild, Laststufe 75% V_{max}



A 58: Rissbild, Laststufe 94% V_{max}

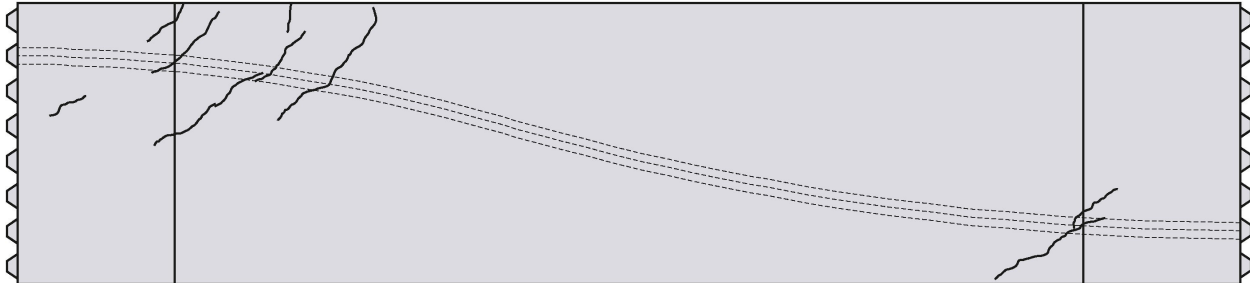


A 58: Rissbild, Laststufe Nachbruch

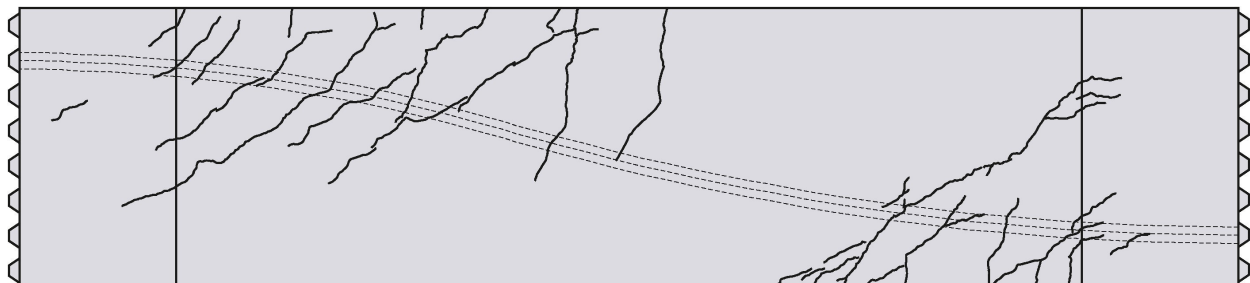
A.4.3.3 Versuchsträger V5, Bügel Ø6/25, oben offene Bügel, $V_{max}=583 \text{ kN}$ A 63: Rissbild, Laststufe 25% V_{max} A 63: Rissbild, Laststufe 50% V_{max} A 63: Rissbild, Laststufe 75% V_{max} A 63: Rissbild, Laststufe 99% V_{max} 

A 63: Rissbild, Laststufe Nachbruch

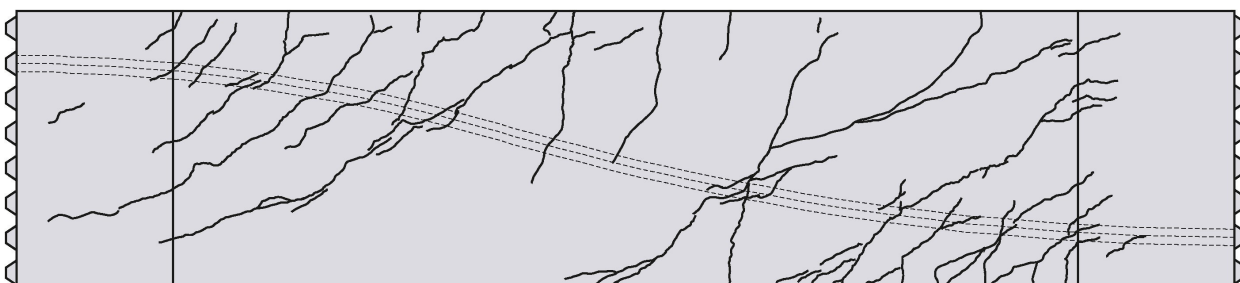
A.4.3.4 Versuchsträger V6, Bügel Ø6/25, geschlossene Bügel + Stecker im Stützbereich, $V_{\max}=704 \text{ kN}$



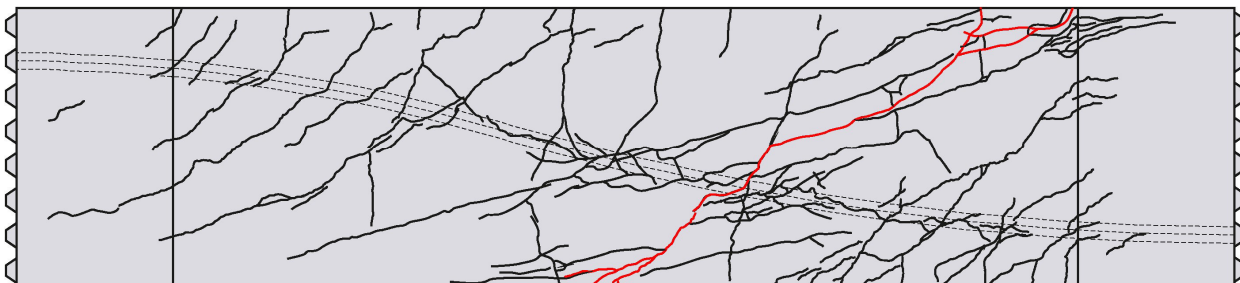
A 67: Rissbild, Laststufe 50% V_{\max}



A 67: Rissbild, Laststufe 75% V_{\max}

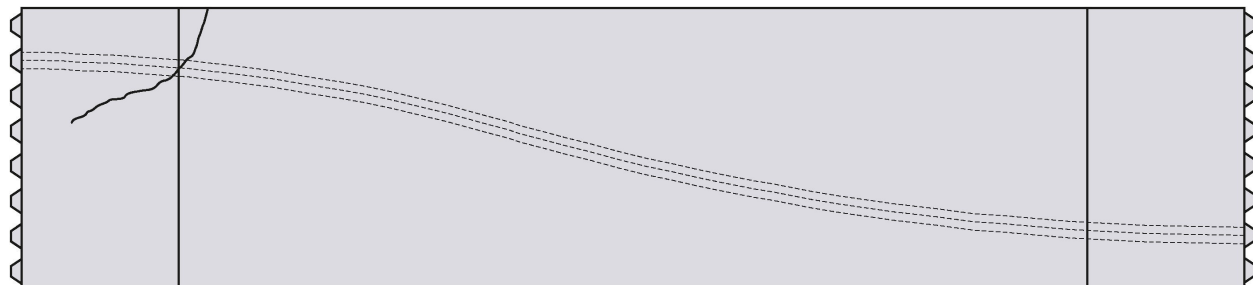


A 67: Rissbild, Laststufe 92% V_{\max}

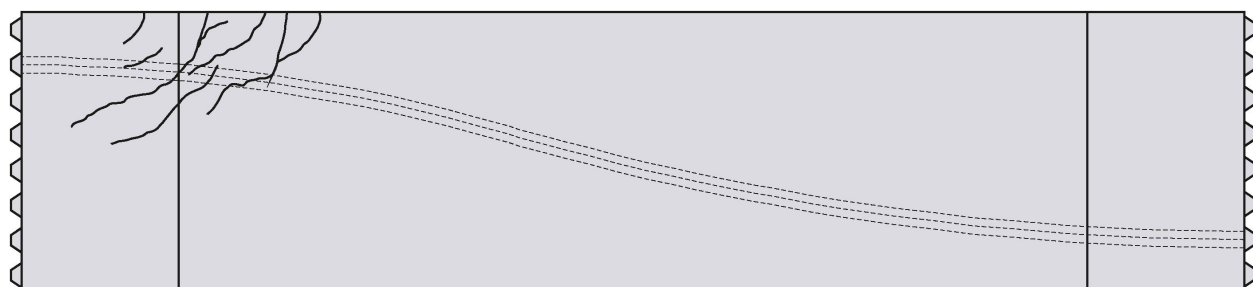


A 67: Rissbild, Laststufe Nachbruch

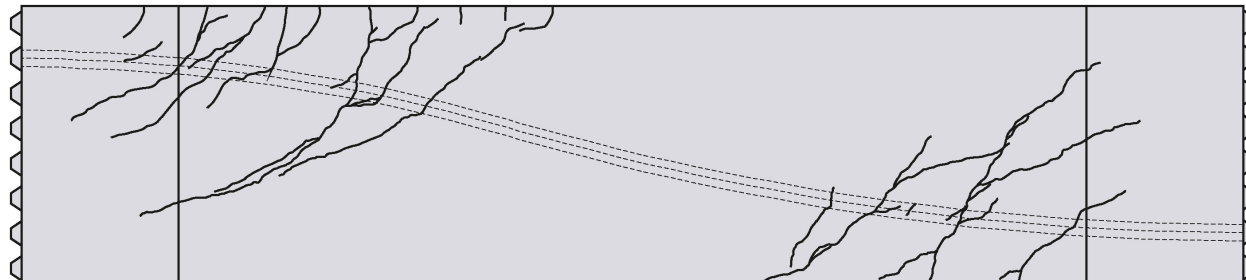
A.4.3.5 Versuchsträger V7, Bügel Ø6/25, geschlossene Bügel + Stecker im Stützbereich, $V_{max}=668$ kN



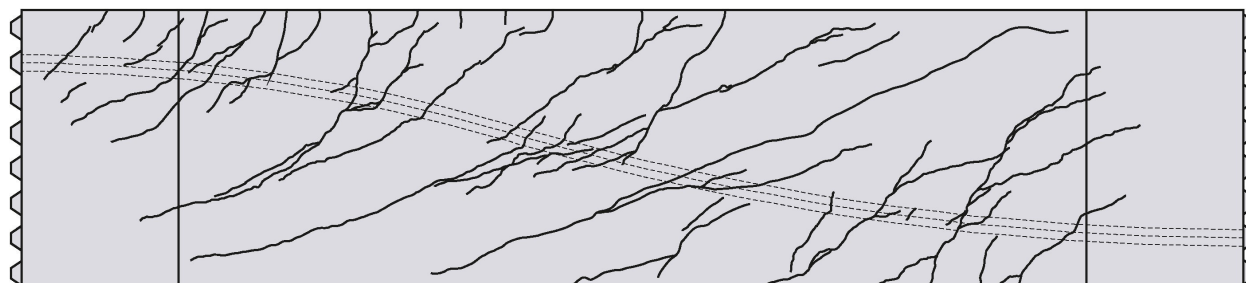
A 72: Rissbild, Laststufe 25% V_{max}



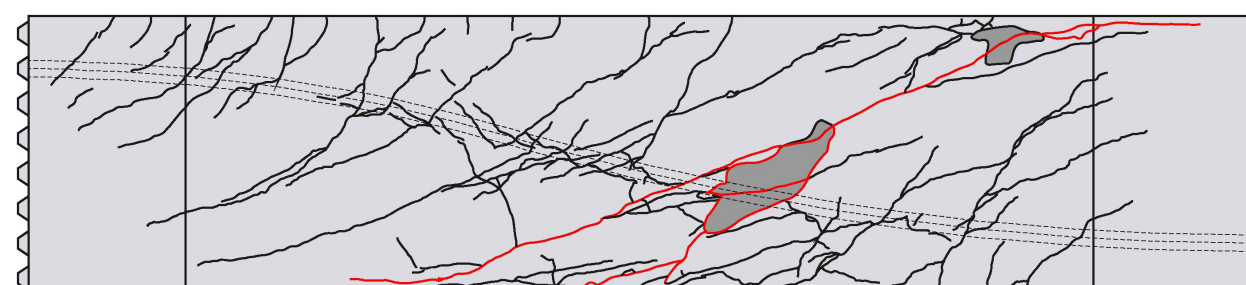
A 72: Rissbild, Laststufe 50% V_{max}



A 72: Rissbild, Laststufe 75% V_{max}

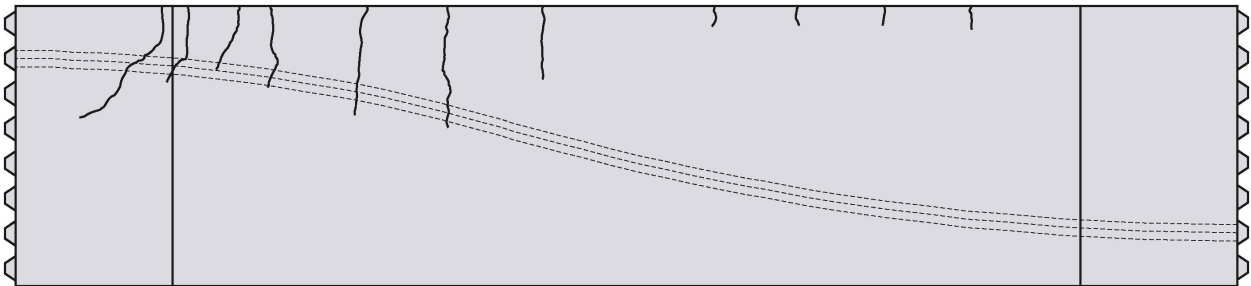


A 72: Rissbild, Laststufe 95% V_{max}

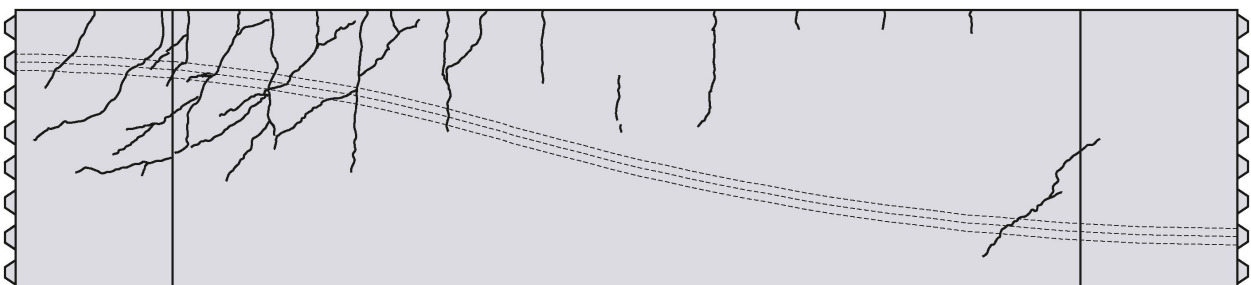


A 72: Rissbild, Laststufe Nachbruch

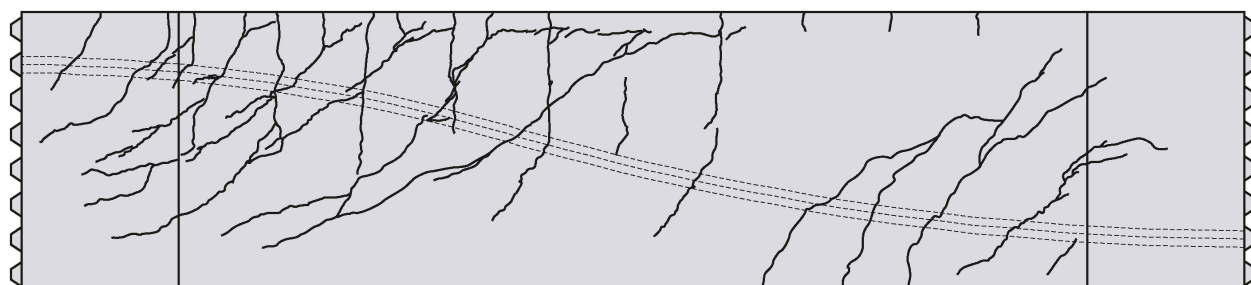
A.4.3.6 Versuchsträger V8, Bügel Ø6/25, gestoßener Bügel, $V_{max}=704 \text{ kN}$



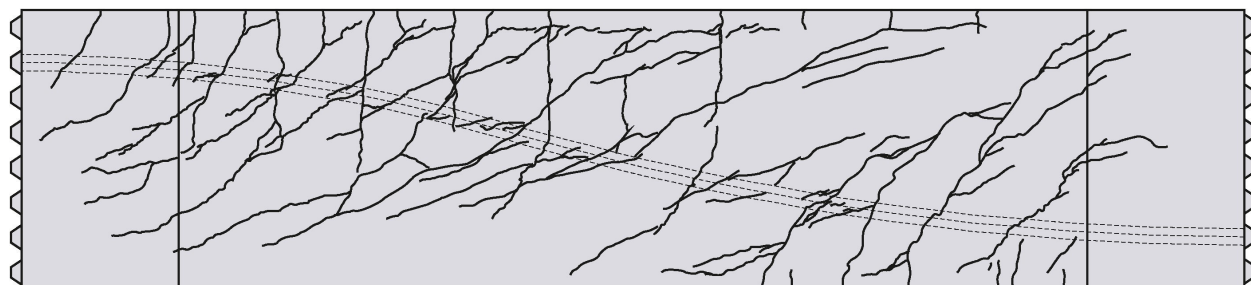
A 77: Rissbild, Laststufe 25% V_{max}



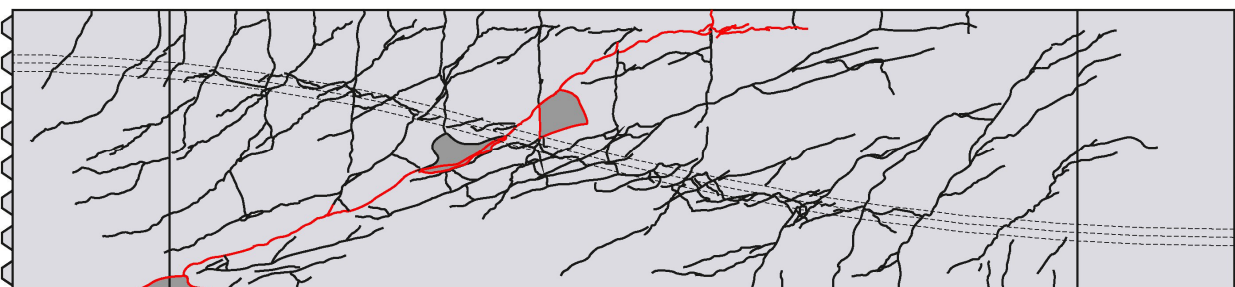
A 77: Rissbild, Laststufe 50% V_{max}



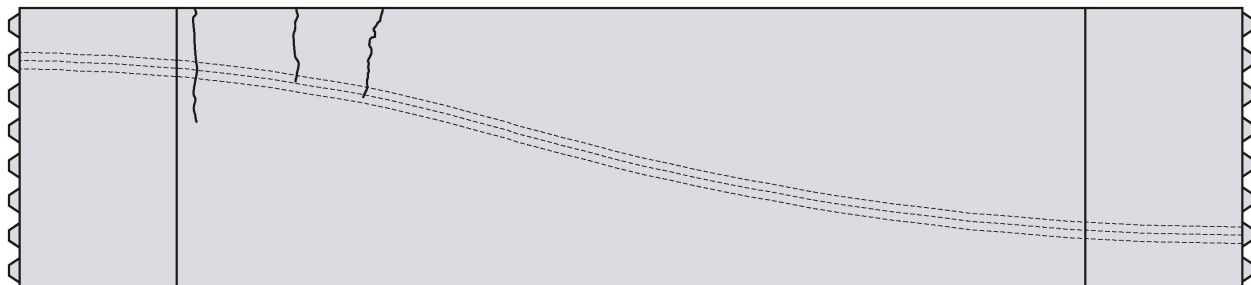
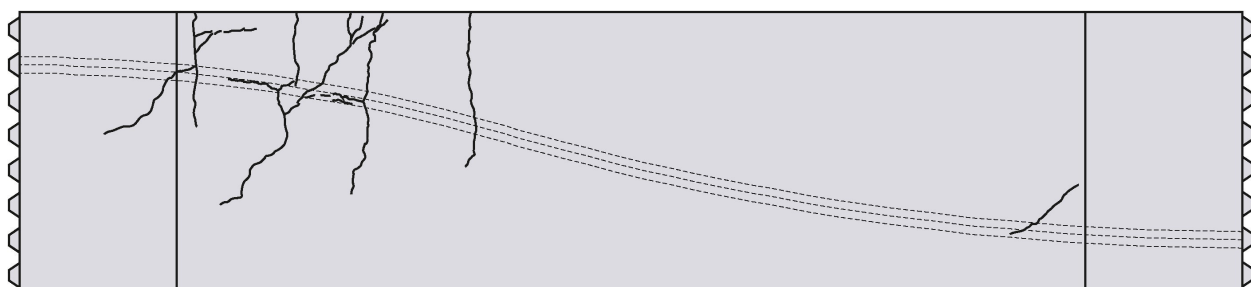
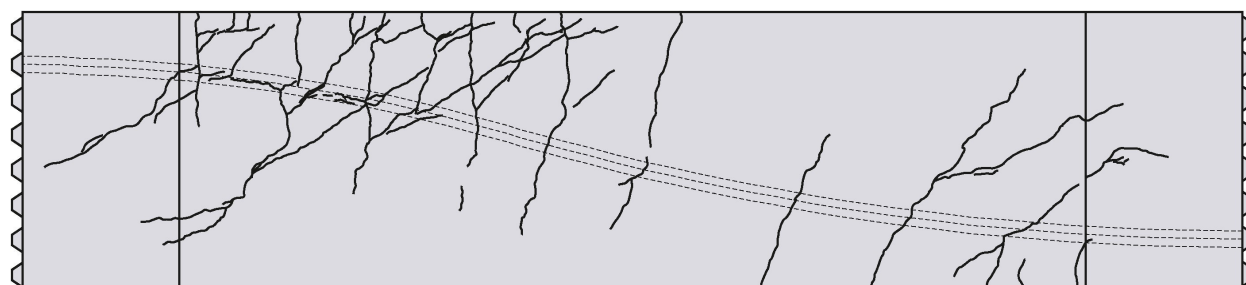
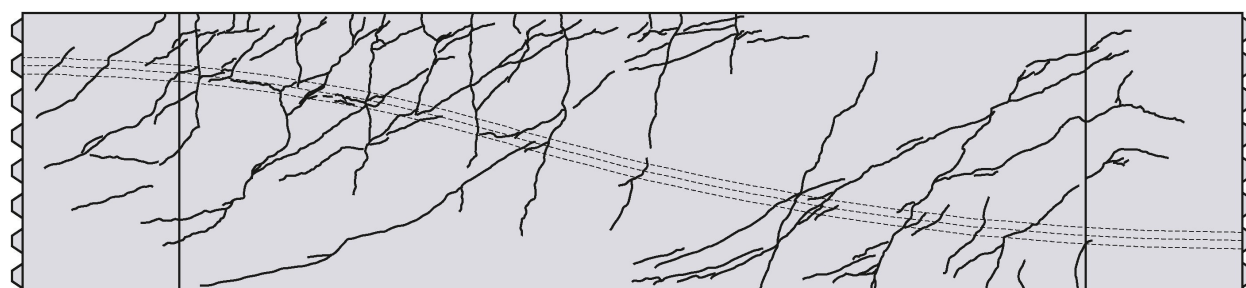
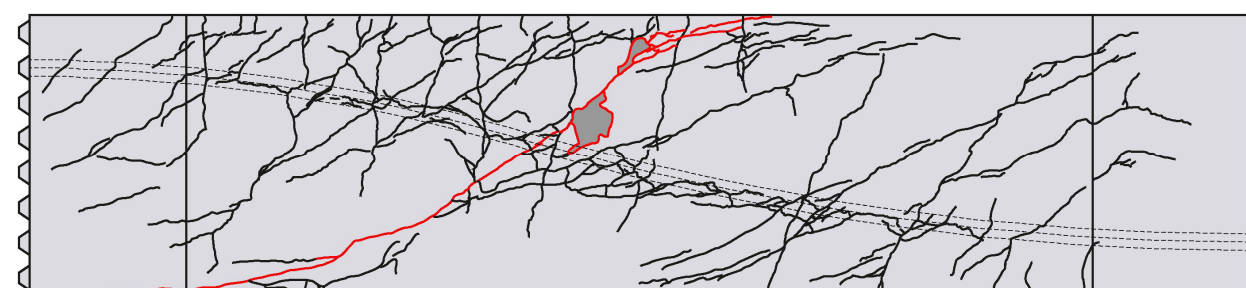
A 77: Rissbild, Laststufe 75% V_{max}



A 77: Rissbild, Laststufe 97% V_{max}

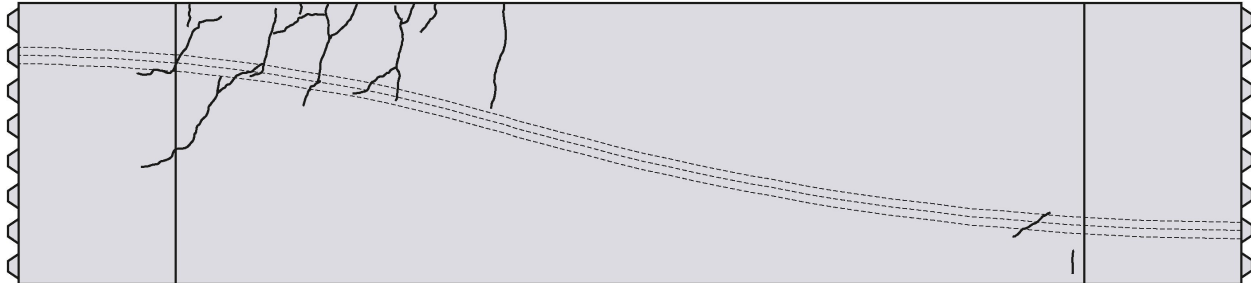


A 77: Rissbild, Laststufe Nachbruch

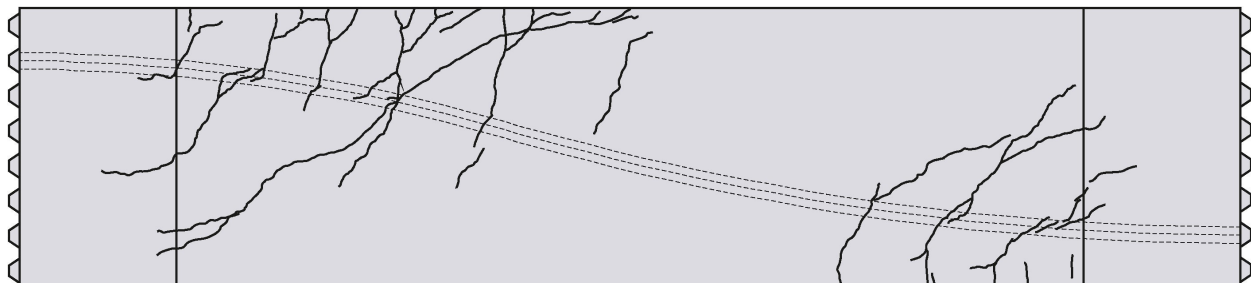
A.4.3.7 Versuchsträger V9, Bügel Ø6/25, gestoßener Bügel, $V_{max}=661 \text{ kN}$ A 82: Rissbild, Laststufe 25% V_{max} A 82: Rissbild, Laststufe 50% V_{max} A 82: Rissbild, Laststufe 75% V_{max} A 82: Rissbild, Laststufe 99% V_{max} 

A 82: Rissbild, Laststufe Nachbruch

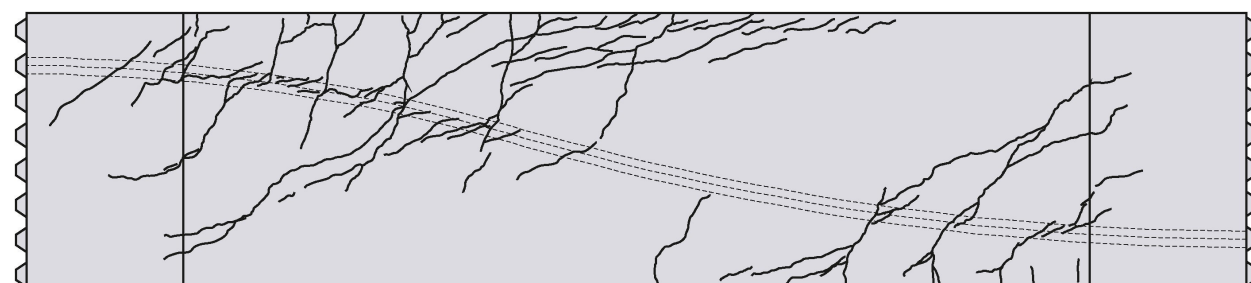
A.4.3.8 Versuchsträger V10, keine Bügel, $V_{max}=596 \text{ kN}$



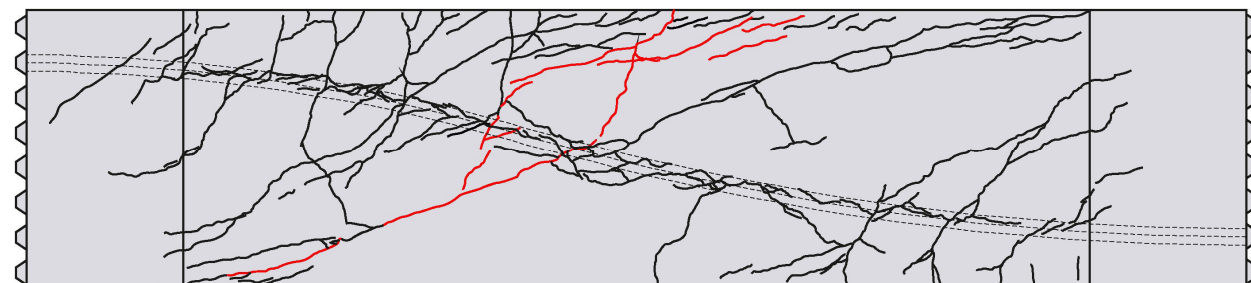
A 86: Rissbild, Laststufe 50% V_{max}



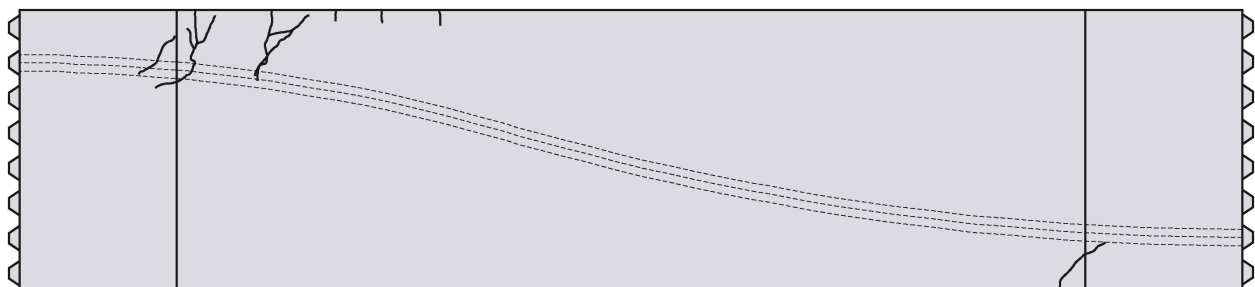
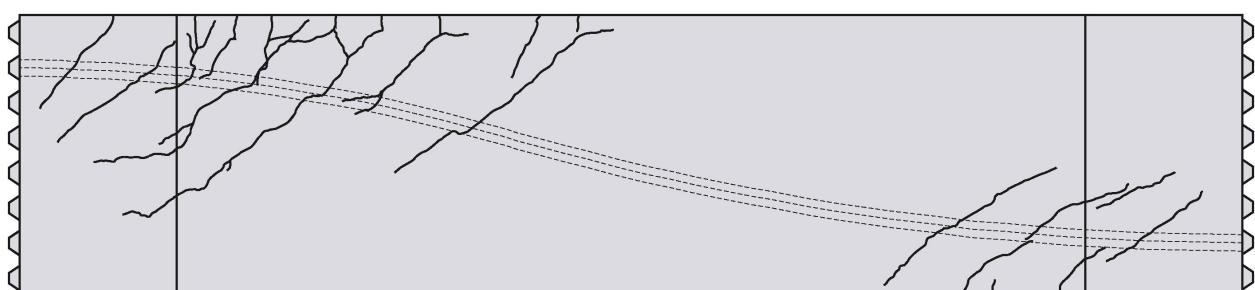
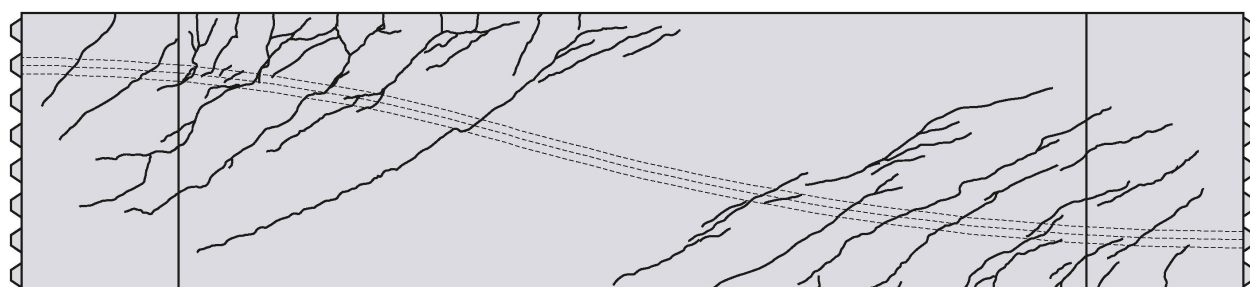
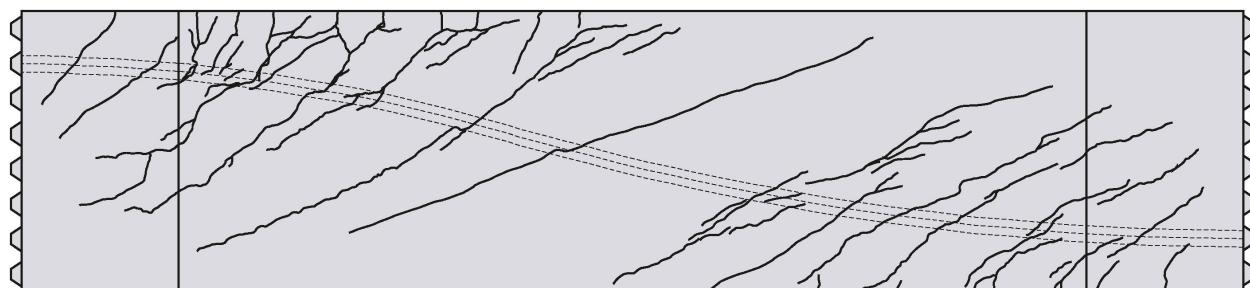
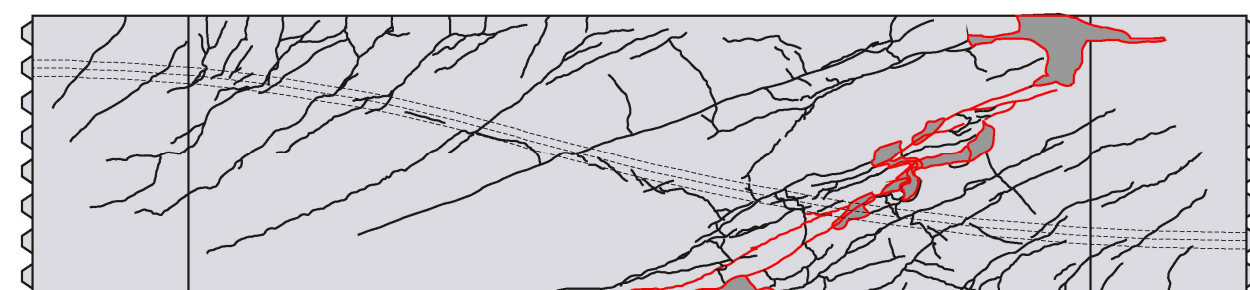
A 86: Rissbild, Laststufe 75% V_{max}



A 86: Rissbild, Laststufe 99% V_{max}



A 86: Rissbild, Laststufe Nachbruch

A.4.3.9 Versuchsträger V11, Bügel Ø10/25, geschlossene Bügel, $V_{max}=910 \text{ kN}$ A 91: Rissbild, Laststufe 25% V_{max} A 91: Rissbild, Laststufe 50% V_{max} A 91: Rissbild, Laststufe 75% V_{max} A 91: Rissbild, Laststufe 94% V_{max} 

A 91: Rissbild, Laststufe Nachbruch

A.5 Anwendung der Sicherheitskonzepte an den kalibrierten Rechenmodellen

A.5.1 Anwendung der Sicherheitskonzepte an DLT 2.1

Bemessungswerte:

Tabelle 92: Bemessungswerte Beton DLT 2.1

Beton Bemessungswerte:		
E	26848	[N/mm ²]
f _c	21,05	[N/mm ²]
f _{c,t}	1,07	[N/mm ²]
G _f	2,67E-05	[MN/m]
ε _{c1}	1,84	[‰]

Tabelle 93: Bemessungswerte Spannstahl DLT 2.1

Spannstahl Bemessungswerte:		
f _{p0,1}	1317	[N/mm ²]
f _p	1511	[N/mm ²]
E	199700	[N/mm ²]

Tabelle 94: Bemessungswerte Betonstahl DLT 2.1

Bewehrungsstahl Bemessungswerte:			
Durchmesser	f _y [N/mm ²]	f _t [N/mm ²]	E [N/mm ²]
Ø8	375	407	184000
Ø12	421	483	200750
Ø16	438	509	205200
Ø20	458	530	196000
Ø25	439	511	196000

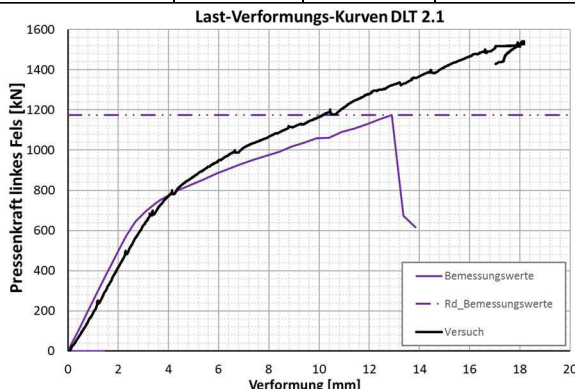


Bild 328: Last-Verformungs-Kurven aus Versuch und ATENA Simulation

γ_R Verfahren:

Tabelle 95: γ_R Werte Beton DLT 2.1

Beton γ_R :		
E	28878	[N/mm ²]
f _c	26,84	[N/mm ²]
f _{c,t}	1,36	[N/mm ²]
G _f	3,40E-05	[MN/m]
ε _{c1}	1,97	[‰]

Tabelle 96: γ_R Werte Spannstahl DLT 2.1

Spannstahl γ_R :		
f _{p0,1}	1666	[N/mm ²]
f _p	1911	[N/mm ²]
E	199700	[N/mm ²]

Tabelle 97: γ_R Werte Betonstahl DLT 2.1

Bewehrungsstahl γ_R :			
Durchmesser	f _y [N/mm ²]	f _t [N/mm ²]	E [N/mm ²]
Ø8	475	515	184000
Ø12	532	611	200750
Ø16	554	644	205200
Ø20	580	671	196000
Ø25	555	647	196000

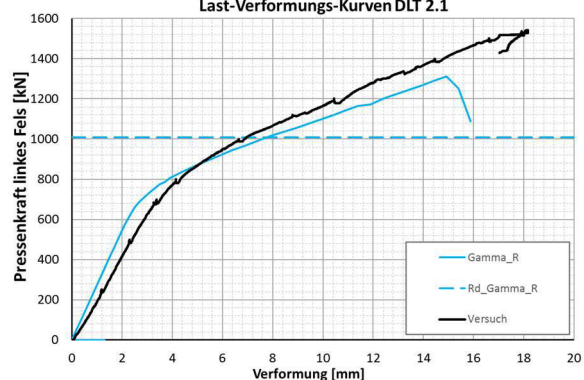


Bild 329: Last-Verformungs-Kurven aus Versuch und ATENA Simulation

ECOV Methode:

Tabelle 98: Mittelwerte Beton DLT 2.1

Beton Mittelwerte:		
E	32828	[N/mm ²]
f _c	41,15	[N/mm ²]
f _{c,t}	2,688	[N/mm ²]
G _f	6,72E-05	[MN/m]
ε _{c1}	2,22	[‰]

Tabelle 99: Mittelwerte Spannstahl DLT 2.1

Spannstahl Mittelwerte:		
fp _{0,1}	1666	[N/mm ²]
f _p	1911	[N/mm ²]
E	199700	[N/mm ²]

Tabelle 100: Mittelwerte Betonstahl DLT 2.1

Bewehrungsstahl Mittelwerte:			
Durchmesser	fy	ft	E
	[N/mm ²]	[N/mm ²]	[N/mm ²]
Ø8	475	515	184000
Ø12	532	611	200750
Ø16	554	644	205200
Ø20	580	671	196000
Ø25	555	647	196000

Tabelle 101: Charakteristische Werte Beton DLT 2.1

Beton charakteristisch:		
E	31836	[N/mm ²]
f _c	37,15	[N/mm ²]
f _{c,t}	1,8816	[N/mm ²]
G _f	4,70E-05	[MN/m]
ε _{c1}	2,16	[‰]

Tabelle 102: Charakteristische Werte Spannstahl DLT 2.1

Spannstahl charakteristisch:		
fp _{0,1}	1515	[N/mm ²]
f _p	1737	[N/mm ²]
E	199700	[N/mm ²]

Tabelle 103: Charakteristische Werte Betonstahl DLT 2.1

Bewehrungsstahl charakteristisch:			
Durchmesser	fy	ft	E
	[N/mm ²]	[N/mm ²]	[N/mm ²]
Ø8	432	468	184000
Ø12	484	555	200750
Ø16	504	586	205200
Ø20	527	610	196000
Ø25	505	588	196000

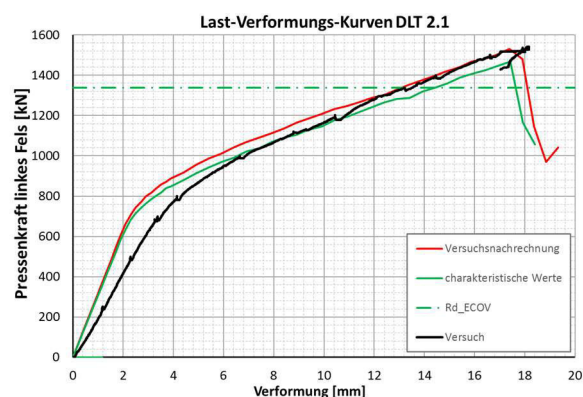


Bild 330: Last-Verformungs-Kurven aus Versuch und ATENA Simulation

Berechnung mit Streuenden Materialparametern:

$$F_{50\% \text{Fraktile}} = 1523,4 \text{ [kN]}$$

$$F_{5\% \text{Fraktile}} = 1430,2 \text{ [kN]}$$

$$\gamma^* = 1,099$$

$$\gamma_{\text{sys}} = 1,065$$

$$\gamma_R = 1,170$$

$$F_d = 1302,26 \text{ [kN]}$$

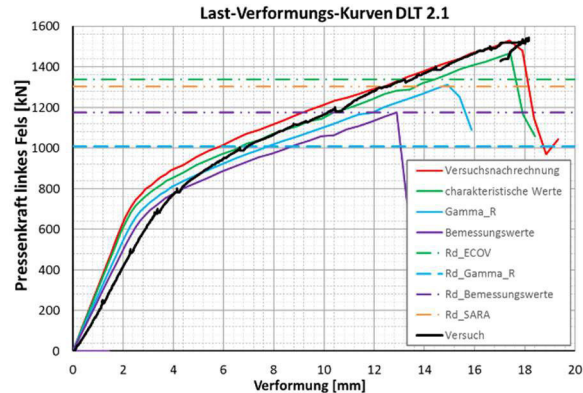


Bild 331: Last-Verformungs-Kurven und Auswertung der Sicherheitskonzepte

A.5.2 Anwendung der Sicherheitskonzepte an DLT 2.2

Bemessungswerte:

Tabelle 104: Bemessungswerte Beton DLT 2.2

Beton Bemessungswerte:		
E	26772	[N/mm ²]
fcd	19,17	[N/mm ²]
fctd	1,24	[N/mm ²]
Gfd	3,090E-05	[MN/m]
εc1	1,82	[‰]

Tabelle 105: Bemessungswerte Spannstahl DLT 2.2

Spannstahl Bemessungswerte:		
fp0,1d	1358,1	[N/mm ²]
fpd	1510,7	[N/mm ²]
E	199700	[N/mm ²]

Tabelle 106: Bemessungswerte Betonstahl DLT 2.2

Bewehrungsstahl Bemessungswerte:			
Durchmesser	fy	ft	E
	[N/mm ²]	[N/mm ²]	[N/mm ²]
Ø6	515	526	199170
Ø10	452	497	200807
Ø12	424	482	199696
Ø16	424	506	200683
Ø20	438	513	204019

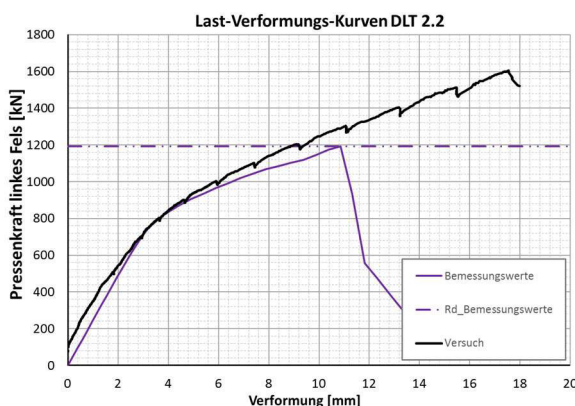


Bild 332: Last-Verformungs-Kurven aus Versuch und ATENA Simulation

γ_R Verfahren:

Tabelle 107: γ_R Werte Beton DLT 2.2

Beton γ_R :	
E	28796 [N/mm ²]
fcR	24,44 [N/mm ²]
fctR	1,58 [N/mm ²]
GfR	3,94E-05 [MN/m]
εc1	1,97 [%]

Tabelle 108: γ_R Werte Spannstahl DLT 2.2

Spannstahl γ_R :	
fp0,1	1718 [N/mm ²]
fp	1911 [N/mm ²]
E	199700 [N/mm ²]

Tabelle 109: γ_R Werte Betonstahl DLT 2.2

Bewehrungsstahl γ_R :			
Durchmesser	fy	ft	E
	[N/mm ²]	[N/mm ²]	[N/mm ²]
Ø6	652	665	199170
Ø10	572	629	200807
Ø12	536	609	199696
Ø16	536	640	200683
Ø20	555	649	204019

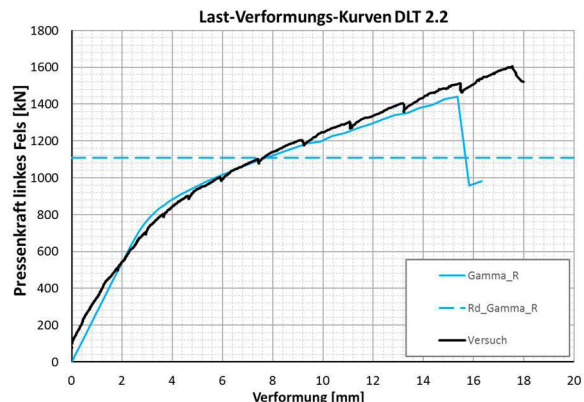


Bild 333: Last-Verformungs-Kurven aus Versuch und ATENA Simulation

ECOV Methode:

Tabelle 110: Mittelwerte Beton DLT 2.2

Beton Mittelwerte:		
E	32828	[N/mm ²]
fc	37,83	[N/mm ²]
fct	3,116	[N/mm ²]
Gf	7,79E-05	[MN/m]
εc1	2,25	[‰]

Tabelle 111: Mittelwerte Spannstahl DLT 2.2

Spannstahl Mittelwerte:		
fp0,1	1718	[N/mm ²]
fp	1911	[N/mm ²]
E	199700	[N/mm ²]

Tabelle 112: Mittelwerte Betonstahl DLT 2.2

Bewehrungsstahl Mittelwerte:			
Durchmesser	fy	ft	E
	[N/mm ²]	[N/mm ²]	[N/mm ²]
Ø6	652	665	199170
Ø10	572	629	200807
Ø12	536	609	199696
Ø16	536	640	200683
Ø20	555	649	204019

Tabelle 113: Charakteristische Werte Beton DLT 2.2

Beton charakteristisch:		
E	31746	[N/mm ²]
fc	33,83	[N/mm ²]
fct	2,18	[N/mm ²]
Gf	5,45E-05	[MN/m]
εc1	2,17	[‰]

Tabelle 114: Charakteristische Werte Spannstahl DLT 2.2

Spannstahl charakteristisch:		
fp0,1	1561,8	[N/mm ²]
fp	1737,3	[N/mm ²]
E	199700	[N/mm ²]

Tabelle 115: Charakteristische Werte Betonstahl DLT 2.2

Bewehrungsstahl charakteristisch:			
Durchmesser	fy	ft	E
	[N/mm ²]	[N/mm ²]	[N/mm ²]
Ø6	652	665	199170
Ø10	572	629	200807
Ø12	536	609	199696
Ø16	536	640	200683
Ø20	555	649	204019

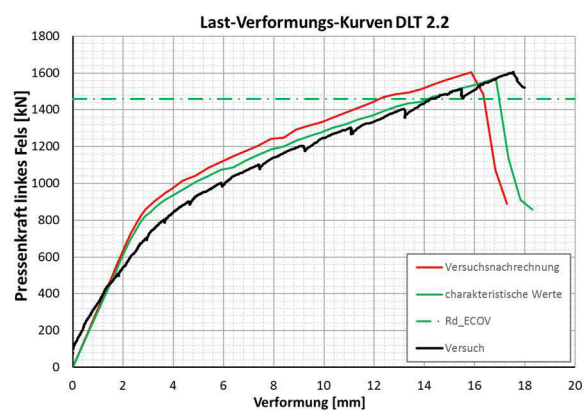


Bild 334: Last-Verformungs-Kurven aus Versuch und ATENA Simulation

Berechnung mit Streuenden Materialparametern:

$$F_{50\% \text{Fraktile}} = 1632,3 \text{ [kN]}$$

$$F_{5\% \text{Fraktile}} = 1533,7 \text{ [kN]}$$

$$\gamma^* = 1,097$$

$$\gamma_{\text{sys}} = 1,065$$

$$\gamma_R = 1,168$$

$$F_d = 1397,05 \text{ [kN]}$$

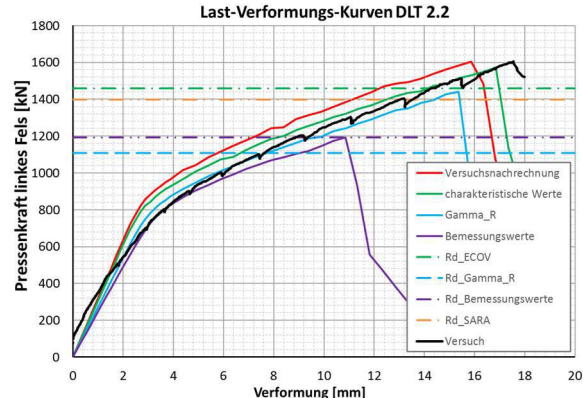


Bild 335: Last-Verformungs-Kurven und Auswertung der Sicherheitskonzepte

A.5.3 Anwendung der Sicherheitskonzepte an DLT 2.3

Bemessungswerte:

Tabelle 116: Bemessungswerte Beton DLT 2.3

Beton Bemessungswerte:		
E	26793	[N/mm ²]
fcd	19,65	[N/mm ²]
fctd	1,23	[N/mm ²]
Gfd	3,070E-05	[MN/m]
εc1	1,76	[‰]

Tabelle 117: Bemessungswerte Spannstahl DLT 2.3

Spannstahl Bemessungswerte:		
fp0,1d	1307,5	[N/mm ²]
fpd	1468,8	[N/mm ²]
E	197300	[N/mm ²]

Tabelle 118: Bemessungswerte Betonstahl DLT 2.3

Bewehrungsstahl Bemessungswerte:			
Durchmesser	fy	ft	E
	[N/mm ²]	[N/mm ²]	[N/mm ²]
Ø6	515,2	525,9	199170
Ø8	384,4	466,7	198305
Ø12	424,0	481,6	199696
Ø16	423,8	505,9	200683
Ø20	438,3	513,3	204019

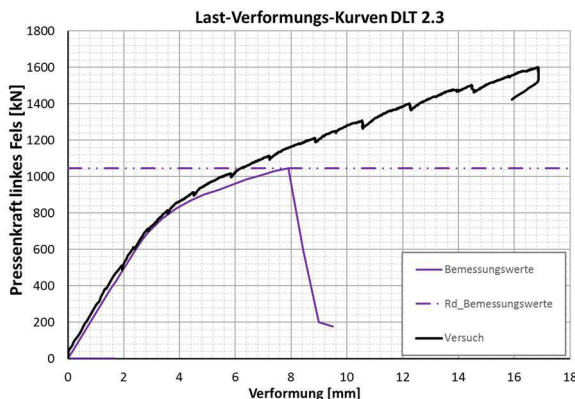


Bild 336: Last-Verformungs-Kurven aus Versuch und ATENA Simulation

γ_R Verfahren:

Tabelle 119: γ_R Werte Beton DLT 2.3

Beton γ_R :		
E	28818	[N/mm ²]
fcR	25,05	[N/mm ²]
fctR	1,57	[N/mm ²]
GfR	3,91E-05	[MN/m]
εc1	1,90	[‰]

Tabelle 120: γ_R Werte Spannstahl DLT 2.3

Spannstahl γ_R :		
fp0,1	1654	[N/mm ²]
fp	1858	[N/mm ²]
E	197300	[N/mm ²]

Tabelle 121: γ_R Werte Betonstahl DLT 2.3

Bewehrungsstahl γ_R :			
Durchmesser	fy	ft	E
	[N/mm ²]	[N/mm ²]	[N/mm ²]
Ø6	651,7	665,3	199170
Ø8	486,3	590,4	198305
Ø12	536,4	609,2	199696
Ø16	536,1	640,0	200683
Ø20	554,5	649,3	204019

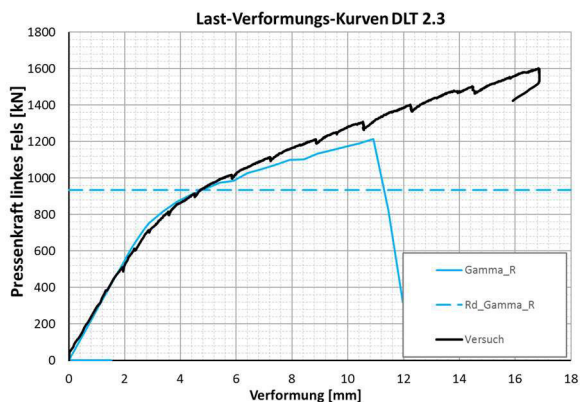


Bild 337: Last-Verformungs-Kurven aus Versuch und ATENA Simulation

ECOV Methode:

Tabelle 122: Mittelwerte Beton DLT 2.3

Beton Mittelwerte:		
E	32828	[N/mm ²]
f _c	38,67	[N/mm ²]
f _{c,t}	3,096	[N/mm ²]
G _f	7,74E-05	[MN/m]
ε _{c1}	2,17	[‰]

Bewehrungsstahl charakteristisch:			
Durchmesser	f _y	f _t	E
	[N/mm ²]	[N/mm ²]	[N/mm ²]
Ø6	651,7	665,3	199170
Ø8	486,3	590,4	198305
Ø12	536,4	609,2	199696
Ø16	536,1	640,0	200683
Ø20	554,5	649,3	204019

Tabelle 123: Mittelwerte Spannstahl DLT 2.3

Spannstahl Mittelwerte:		
f _{p0,1}	1654	[N/mm ²]
f _p	1858	[N/mm ²]
E	197300	[N/mm ²]

Tabelle 124: Mittelwerte Betonstahl DLT 2.3

Bewehrungsstahl Mittelwerte:			
Durchmesser	f _y	f _t	E
	[N/mm ²]	[N/mm ²]	[N/mm ²]
Ø6	651,7	665,3	199170
Ø8	486,3	590,4	198305
Ø12	536,4	609,2	199696
Ø16	536,1	640,0	200683
Ø20	554,5	649,3	204019

Tabelle 125: Charakteristische Werte Beton DLT 2.3

Beton charakteristisch:		
E	31770	[N/mm ²]
f _c	34,67	[N/mm ²]
f _{c,t}	2,17	[N/mm ²]
G _f	5,42E-05	[MN/m]
ε _{c1}	2,10	[‰]

Tabelle 126: Charakteristische Werte Spannstahl DLT 2.3

Spannstahl charakteristisch:		
f _{p0,1}	1503,6	[N/mm ²]
f _p	1689,1	[N/mm ²]
E	197300	[N/mm ²]

Tabelle 127: Charakteristische Werte Betonstahl DLT 2.3

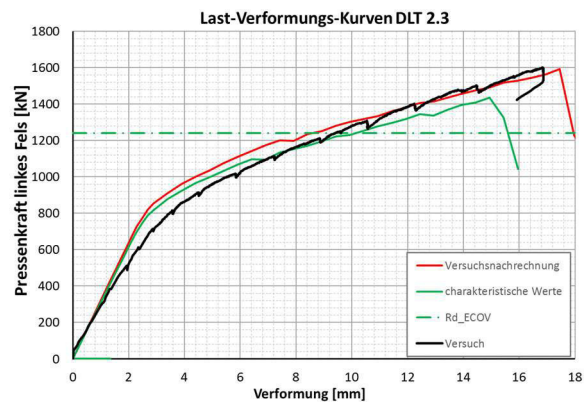


Bild 338: Last-Verformungs-Kurven aus Versuch und ATENA Simulation

Berechnung mit Streuenden Materialparametern:

$$F_{50\% \text{Fraktil}} = 1540,20 \text{ [kN]}$$

$$F_{5\% \text{Fraktil}} = 1406,58 \text{ [kN]}$$

$$\gamma^* = 1,145$$

$$\gamma_{\text{sys}} = 1,065$$

$$\gamma_R = 1,220$$

$$F_d = 1262,86 \text{ [kN]}$$

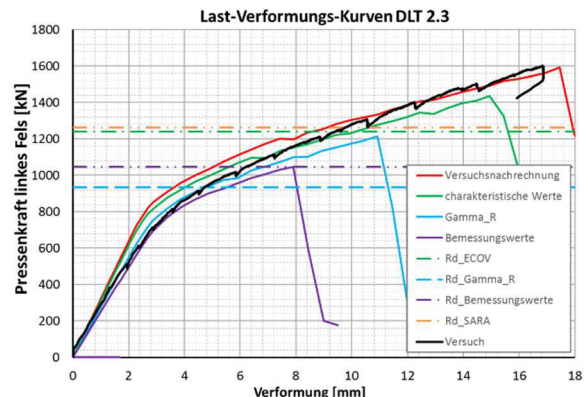


Bild 339: Last-Verformungs-Kurven und Auswertung der Sicherheitskonzepte

A.5.4 Anwendung der Sicherheitskonzepte an DLT 1.1

Bemessungswerte:

Tabelle 128: Bemessungswerte Beton DLT 1.1

Beton Bemessungswerte:		
E	21225	[N/mm ²]
fcd	25,30	[N/mm ²]
fctd	1,35	[N/mm ²]
Gfd	3,365E-05	[MN/m]

Tabelle 129: Bemessungswerte Spannstahl DLT 1.1

Spannstahl Bemessungswerte:		
fp0,1d	1366,8	[N/mm ²]
fpd	1541,5	[N/mm ²]
E	190000	[N/mm ²]

Tabelle 130: Bemessungswerte Betonstahl DLT 1.1

Bewehrungsstahl Bemessungswerte:			
Durchmesser	fy	ft	E
	[N/mm ²]	[N/mm ²]	[N/mm ²]
Ø6	443,5	494,1	200553
Ø8	419,8	518,6	196673
Ø10	411,1	471,9	195510
Ø12	438,7	503,6	194990
Ø16	471,1	546,2	196840
Ø25	440,3	520,2	201370

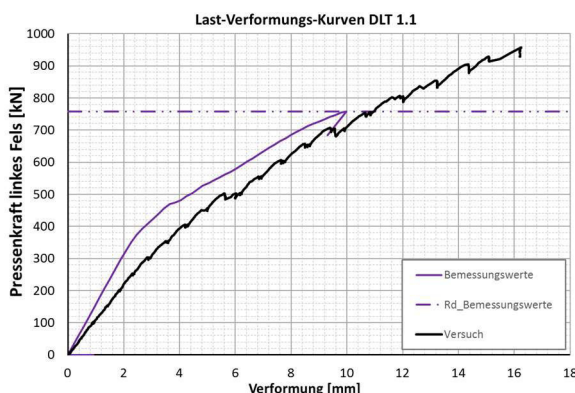


Bild 340: Last-Verformungs-Kurven aus Versuch und ATENA Simulation

γ_R Verfahren:

Tabelle 131: γ_R Werte Beton DLT 1.1

Beton γ_R :		
E	22830	[N/mm ²]
fcR	32,26	[N/mm ²]
fctR	1,72	[N/mm ²]
GfR	4,29E-05	[MN/m]

Tabelle 132: γ_R Werte Spannstahl DLT 1.1

Spannstahl γ_R :		
fp0,1	1729	[N/mm ²]
fp	1950	[N/mm ²]
E	190000	[N/mm ²]

Tabelle 133: γ_R Werte Betonstahl DLT 1.1

Bewehrungsstahl γ_R :			
Durchmesser	fy	ft	E
	[N/mm ²]	[N/mm ²]	[N/mm ²]
Ø6	561,0	625,0	200553
Ø8	531,0	656,0	196673
Ø10	520,0	597,0	195510
Ø12	555,0	637,0	194990
Ø16	596,0	691,0	196840
Ø25	557,0	658,0	201370

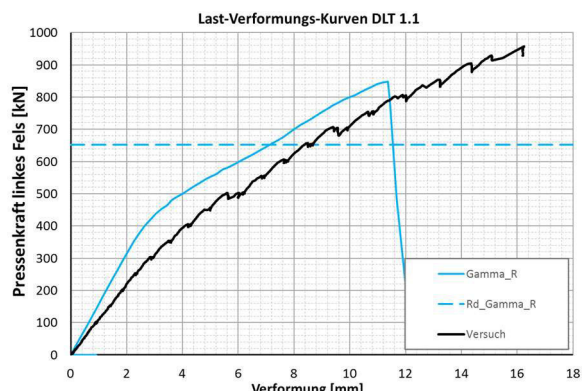


Bild 341: Last-Verformungs-Kurven aus Versuch und ATENA Simulation

ECOV Methode:

Tabelle 134: Mittelwerte Beton DLT 1.1

Beton Mittelwerte:		
E	25824,36	[N/mm ²]

fc	48,65	[N/mm ²]
fct	3,393	[N/mm ²]
Gf	8,48E-05	[MN/m]

Tabelle 135: Mittelwerte Spannstahl DLT 1.1

Spannstahl Mittelwerte:		
fp0,1	1729	[N/mm ²]
fp	1950	[N/mm ²]
E	190000	[N/mm ²]

Tabelle 136: Mittelwerte Betonstahl DLT 1.1

Bewehrungsstahl Mittelwerte:			
Durchmesser	fy	ft	E
	[N/mm ²]	[N/mm ²]	[N/mm ²]
Ø6	561,0	625,0	200553
Ø8	531,0	656,0	196673
Ø10	520,0	597,0	195510
Ø12	555,0	637,0	194990
Ø16	596,0	691,0	196840
Ø25	557,0	658,0	201370

Tabelle 137: Charakteristische Werte Beton DLT 1.1

Beton charakteristisch:		
E	25168	[N/mm ²]
fc	44,65	[N/mm ²]
fct	2,38	[N/mm ²]
Gf	5,94E-05	[MN/m]

Tabelle 138: Charakteristische Werte Spannstahl DLT 1.1

Spannstahl charakteristisch:		
fp0,1	1571,8	[N/mm ²]
fp	1772,7	[N/mm ²]
E	190000	[N/mm ²]

Tabelle 139: Charakteristische Werte Betonstahl DLT 1.1

Bewehrungsstahl charakteristisch:			
Durchmesser	fy	ft	E
	[N/mm ²]	[N/mm ²]	[N/mm ²]
Ø6	510,0	568,2	200553
Ø8	482,7	596,4	196673
Ø10	472,7	542,7	195510
Ø12	504,5	579,1	194990
Ø16	541,8	628,2	196840
Ø25	506,4	598,2	201370

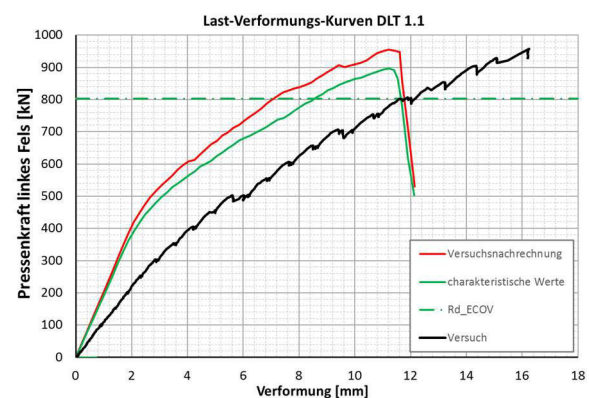


Bild 342: Last-Verformungs-Kurven aus Versuch und ATENA Simulation

Tabelle 142: Bemessungswerte Betonstahl DLT 1.2

Berechnung mit Streuenden Materialparametern:

$F_{50\% \text{Fraktile}} =$	963,73 [kN]
$F_{5\% \text{Fraktile}} =$	872,36 [kN]
$\gamma^* =$	1,161
$\gamma_{\text{sys}} =$	1,065
$\gamma_R =$	1,236
$F_d =$	779,65 [kN]

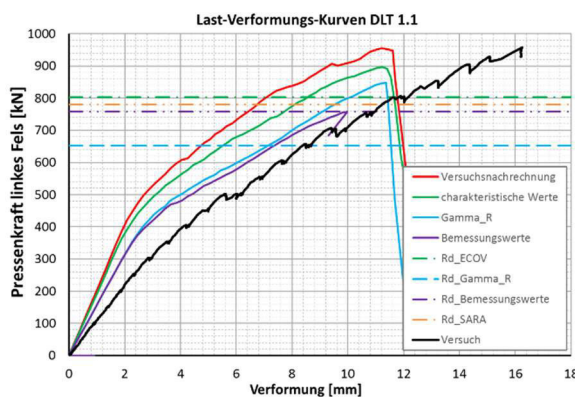


Bild 343: Last-Verformungs-Kurven und Auswertung der Sicherheitskonzepte

Bewehrungsstahl Bemessungswerte:			
Durchmesser	f_y	f_t	E
	[N/mm ²]	[N/mm ²]	[N/mm ²]
$\varnothing 6$	443,5	494,1	200553
$\varnothing 8$	419,8	518,6	196673
$\varnothing 10$	411,1	471,9	195510
$\varnothing 12$	438,7	503,6	194990
$\varnothing 16$	471,1	546,2	196840
$\varnothing 25$	440,3	520,2	201370

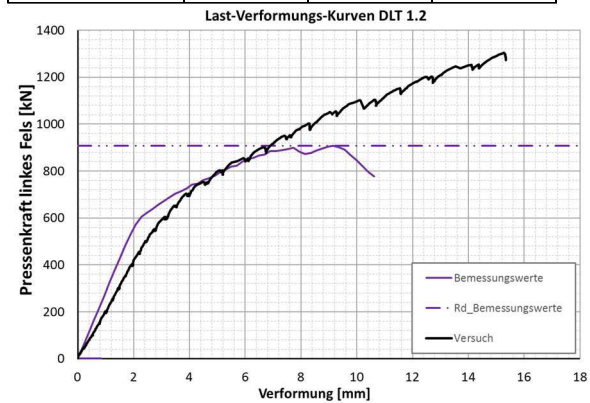


Bild 344: Last-Verformungs-Kurven aus Versuch und ATENA Simulation

A.5.5 Anwendung der Sicherheitskonzepte an DLT 1.2

Bemessungswerte:

Tabelle 140: Bemessungswerte Beton DLT 1.2

Beton Bemessungswerte:		
E	22253	[N/mm ²]
fcd	20,33	[N/mm ²]
fctd	1,27	[N/mm ²]
Gfd	3,173E-05	[MN/m]
eps_c1=	1,781	[‰]

Tabelle 141: Bemessungswerte Spannstahl DLT 1.2

Spannstahl Bemessungswerte:		
fp0,1d	1366,8	[N/mm ²]
fpd	1541,5	[N/mm ²]
E	190000	[N/mm ²]

γ_R Verfahren:

Tabelle 143: γ_R Werte Beton DLT 1.2

Beton γ_R :		
E	23936	[N/mm ²]
f _{cR}	25,92	[N/mm ²]
f _{c_tR}	1,62	[N/mm ²]
G _{fR}	4,05E-05	[MN/m]
eps_c1=	1,920	[‰]

Tabelle 144: γ_R Werte Spannstahl DLT 1.2

Spannstahl γ_R :		
f _{p0,1}	1729	[N/mm ²]
f _p	1950	[N/mm ²]
E	190000	[N/mm ²]

Tabelle 145: γ_R Werte Betonstahl DLT 1.2

Bewehrungsstahl γ_R :			
Durchmesser	fy	ft	E
	[N/mm ²]	[N/mm ²]	[N/mm ²]
Ø6	561,0	625,0	200553
Ø8	531,0	656,0	196673
Ø10	520,0	597,0	195510
Ø12	555,0	637,0	194990
Ø16	596,0	691,0	196840
Ø25	557,0	658,0	201370

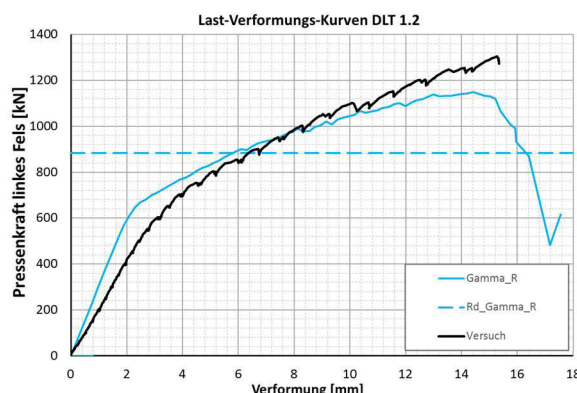


Bild 345: Last-Verformungs-Kurven aus Versuch und ATENA Simulation

ECOV Methode:

Tabelle 146: Mittelwerte Beton DLT 1.2

Beton Mittelwerte:		
E	27237,46	[N/mm ²]
fc	39,87	[N/mm ²]
fct	3,2	[N/mm ²]
Gf	8,00E-05	[MN/m]
eps_c1=	2,194	[‰]

Tabelle 147: Mittelwerte Spannstahl DLT 1.2

Spannstahl Mittelwerte:		
fp0,1	1729	[N/mm ²]
fp	1950	[N/mm ²]
E	190000	[N/mm ²]

Tabelle 148: Mittelwerte Betonstahl DLT 1.2

Bewehrungsstahl Mittelwerte:			
Durchmesser	fy	ft	E
	[N/mm ²]	[N/mm ²]	[N/mm ²]
Ø6	561,0	625,0	200553
Ø8	531,0	656,0	196673
Ø10	520,0	597,0	195510
Ø12	555,0	637,0	194990
Ø16	596,0	691,0	196840
Ø25	557,0	658,0	201370

Tabelle 149: Charakteristische Werte Beton DLT 1.2

Beton charakteristisch:	
E	26387 [N/mm ²]
fc	35,87 [N/mm ²]
fct	2,24 [N/mm ²]
Gf	5,60E-05 [MN/m]
eps_c1=	2,124 [%]

Tabelle 150: Charakteristische Werte Spannstahl DLT 1.2

Spannstahl charakteristisch:	
fp0,1	1571,8 [N/mm ²]
fp	1772,7 [N/mm ²]
E	190000 [N/mm ²]

Tabelle 151: Charakteristische Werte Betonstahl DLT 1.2

Bewehrungsstahl charakteristisch:			
Durchmesser	fy	ft	E
	[N/mm ²]	[N/mm ²]	[N/mm ²]
Ø6	510,0	568,2	200553
Ø8	482,7	596,4	196673
Ø10	542,7	542,7	195510
Ø12	579,1	579,1	194990
Ø16	541,8	628,2	196840
Ø25	506,4	598,2	201370

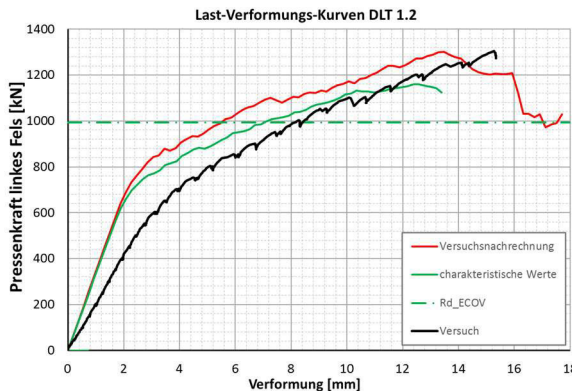


Bild 346: Last-Verformungs-Kurven aus Versuch und ATENA Simulation

Berechnung mit Streuenden Materialeigenschaften:

$$F_{50\% \text{Fraktile}} = 1263,56 \text{ [kN]}$$

$$F_{5\% \text{Fraktile}} = 1121,96 \text{ [kN]}$$

$$\gamma^* = 1,246$$

$$\gamma_{\text{sys}} = 1,065$$

$$\gamma_R = 1,327$$

$$F_d = 952,42 \text{ [kN]}$$

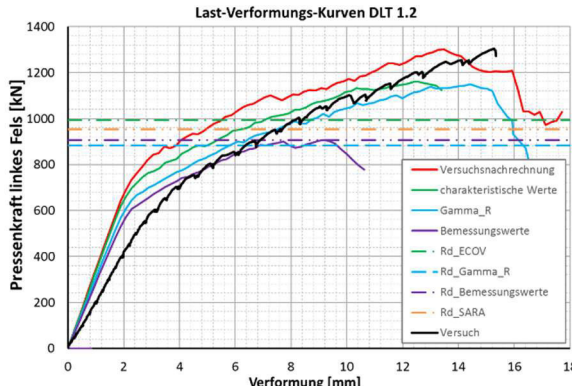


Bild 347: Last-Verformungs-Kurven und Auswertung der Sicherheitskonzepte

A.5.6 Anwendung der Sicherheitskonzepte an DLT 1.3

Bemessungswerte:

Tabelle 152: Bemessungswerte Beton DLT 1.3

Beton Bemessungswerte:	
E	21102 [N/mm ²]
fcd	20,18 [N/mm ²]
fctd	1,27 [N/mm ²]
Gfd	3,177E-05 [MN/m]

Tabelle 153: Bemessungswerte Spannstahl DLT 1.3

Spannstahl Bemessungswerte:	
fp0,1d	1366,8 [N/mm ²]
fpd	1541,5 [N/mm ²]
E	190000 [N/mm ²]

Tabelle 154: Bemessungswerte Betonstahl DLT 1.3

Bewehrungsstahl Bemessungswerte:			
Durchmesser	fy	ft	E
	[N/mm ²]	[N/mm ²]	[N/mm ²]
Ø6	443,5	494,1	200553
Ø8	419,8	518,6	196673
Ø10	411,1	471,9	195510
Ø12	438,7	503,6	194990
Ø16	471,1	546,2	196840
Ø25	440,3	520,2	201370

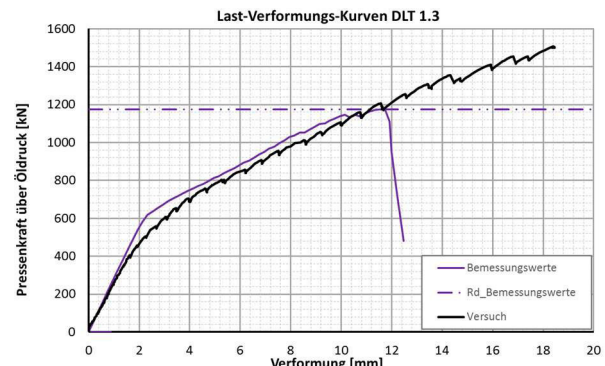


Bild 348: Last-Verformungs-Kurven aus Versuch und ATENA Simulation

γ_R Verfahren:Tabelle 155: γ_R Werte Beton DLT 1.3

Beton γ_R :		
E	22697	[N/mm ²]
fcR	25,74	[N/mm ²]
fctR	1,62	[N/mm ²]
GfR	4,05E-05	[MN/m]

Tabelle 156: γ_R Werte Spannstahl DLT 1.3

Spannstahl γ_R :		
fp0,1	1729	[N/mm ²]
fp	1950	[N/mm ²]
E	190000	[N/mm ²]

Tabelle 157: γ_R Werte Betonstahl DLT 1.3

Bewehrungsstahl γ_R :			
Durchmes- ser	fy	ft	E
	[N/mm ²]	[N/mm ²]	[N/mm ²]
Ø6	561,0	625,0	200553
Ø8	531,0	656,0	196673
Ø10	520,0	597,0	195510
Ø12	555,0	637,0	194990
Ø16	596,0	691,0	196840
Ø25	557,0	658,0	201370

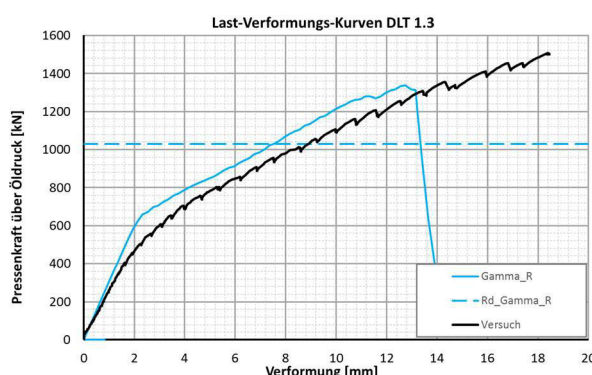


Bild 349: Last-Verformungs-Kurven aus Versuch und ATENA Simulation

ECOV Methode:

Tabelle 158: Mittelwerte Beton DLT 1.3

Beton Mittelwerte:		
E	25833,44	[N/mm ²]
fc	39,62	[N/mm ²]
fct	3,204	[N/mm ²]
Gf	8,01E-05	[MN/m]

Tabelle 159: Mittelwerte Spannstahl DLT 1.3

Spannstahl Mittelwerte:		
fp0,1	1729	[N/mm ²]
fp	1950	[N/mm ²]
E	190000	[N/mm ²]

Tabelle 160: Mittelwerte Betonstahl DLT 1.3

Bewehrungsstahl Mittelwerte:			
Durchmesser	fy	ft	E
	[N/mm ²]	[N/mm ²]	[N/mm ²]
Ø6	561,0	625,0	200553
Ø8	531,0	656,0	196673
Ø10	520,0	597,0	195510
Ø12	555,0	637,0	194990
Ø16	596,0	691,0	196840
Ø25	557,0	658,0	201370

Tabelle 161: Charakteristische Werte Beton DLT 1.3

Beton charakteristisch:		
E	25022	[N/mm ²]
fc	35,62	[N/mm ²]
fct	2,24	[N/mm ²]
Gf	5,61E-05	[MN/m]

Tabelle 162: Charakteristische Werte Spannstahl DLT 1.3

Spannstahl charakteristisch:		
fp0,1	1571,8	[N/mm ²]
fp	1772,7	[N/mm ²]
E	190000	[N/mm ²]

Tabelle 163: Charakteristische Werte Betonstahl DLT 1.3

Bewehrungsstahl charakteristisch:			
Durchmesser	fy	ft	E
	[N/mm ²]	[N/mm ²]	[N/mm ²]
Ø6	510,0	568,2	200553
Ø8	482,7	596,4	196673
Ø10	472,7	542,7	195510
Ø12	504,5	579,1	194990
Ø16	541,8	628,2	196840
Ø25	506,4	598,2	201370

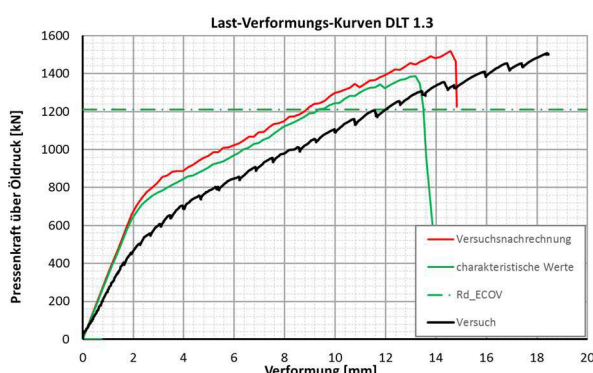


Bild 350: Last-Verformungs-Kurven aus Versuch und ATENA Simulation

Berechnung mit Streuenden Materialparametern:

$$F_{50\% \text{Fraktile}} = 1478,10 \text{ [kN]}$$

$$F_{5\% \text{Fraktile}} = 1417,08 \text{ [kN]}$$

$$\gamma^* = 1,081$$

$$\gamma_{\text{sys}} = 1,06473595$$

$$\gamma R = 1,151$$

$$Fd = 1284,15 \text{ [kN]}$$

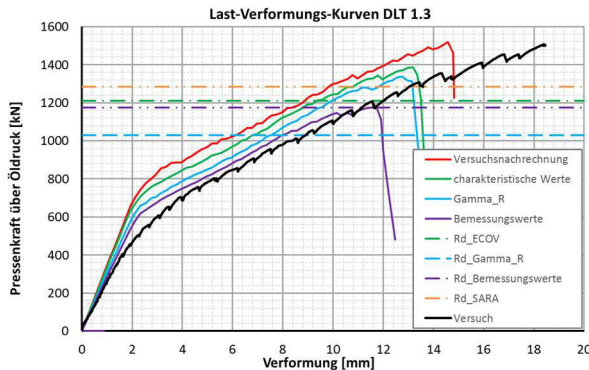


Bild 351: Last-Verformungs-Kurven und Auswertung der Sicherheitskonzepte

A.5.7 Anwendung der Sicherheitskonzepte an DLT 1.4

Bemessungswerte:

Tabelle 164: Bemessungswerte Beton DLT 1.4

Beton Bemessungswerte:		
E	15579	[N/mm ²]
fcd	23,87	[N/mm ²]
fctd	1,51	[N/mm ²]
Gfd	3,784E-05	[MN/m]

Tabelle 165: Bemessungswerte Spannstahl DLT 1.4

Spannstahl Bemessungswerte:		
fp0,1d	1366,8	[N/mm ²]
fpd	1541,5	[N/mm ²]
E	190000	[N/mm ²]

Tabelle 166: Bemessungswerte Betonstahl DLT 1.4

Bewehrungsstahl Bemessungswerte:			
Durchmesser	fy	ft	E
	[N/mm ²]	[N/mm ²]	[N/mm ²]
Ø6	443,5	494,1	200553
Ø8	419,8	518,6	196673
Ø10	411,1	471,9	195510
Ø12	438,7	503,6	194990
Ø16	471,1	546,2	196840
Ø25	440,3	520,2	201370

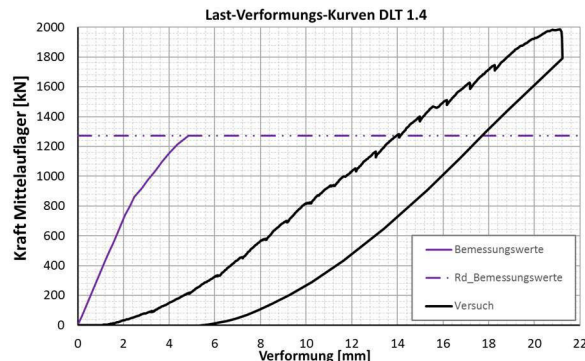


Bild 352: Last-Verformungs-Kurven aus Versuch und ATENA Simulation

γ_R Verfahren:Tabelle 167: γ_R Werte Beton DLT 1.4

Beton γ_R :		
E	15420	[N/mm ²]
fcR	30,44	[N/mm ²]
fctR	1,93	[N/mm ²]
GfR	4,82E-05	[MN/m]

Tabelle 168: γ_R Werte Spannstahl DLT 1.4

Spannstahl γ_R :		
fp0,1	1729	[N/mm ²]
fp	1950	[N/mm ²]
E	190000	[N/mm ²]

Tabelle 169: γ_R Werte Betonstahl DLT 1.4

Bewehrungsstahl γ_R :			
Durchmes- ser	fy	ft	E
	[N/mm ²]	[N/mm ²]	[N/mm ²]
Ø6	561,0	625,0	200553
Ø8	531,0	656,0	196673
Ø10	520,0	597,0	195510
Ø12	555,0	637,0	194990
Ø16	596,0	691,0	196840
Ø25	557,0	658,0	201370

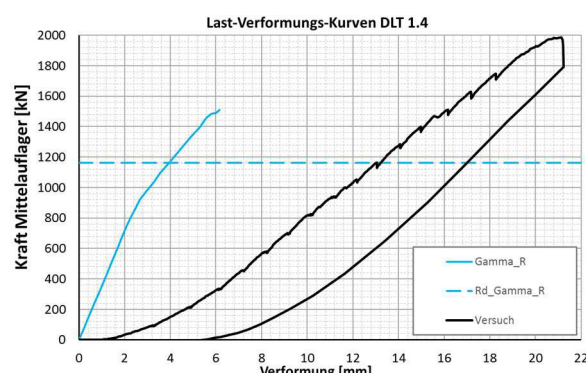


Bild 353: Last-Verformungs-Kurven aus Versuch und ATENA Simulation

ECOV Methode:

Tabelle 170: Mittelwerte Beton DLT 1.4

Beton Mittelwerte:		
E	23368,62	[N/mm ²]
fc	46,13	[N/mm ²]
fct	3,816	[N/mm ²]
Gf	9,54E-05	[MN/m]

Tabelle 171: Mittelwerte Spannstahl DLT 1.4

Spannstahl Mittelwerte:		
fp0,1	1729	[N/mm ²]
fp	1950	[N/mm ²]
E	190000	[N/mm ²]

Tabelle 172: Mittelwerte Betonstahl DLT 1.4

Bewehrungsstahl Mittelwerte:			
Durchmesser	fy	ft	E
	[N/mm ²]	[N/mm ²]	[N/mm ²]
Ø6	561,0	625,0	200553
Ø8	531,0	656,0	196673
Ø10	520,0	597,0	195510
Ø12	555,0	637,0	194990
Ø16	596,0	691,0	196840
Ø25	557,0	658,0	201370

Tabelle 173: Charakteristische Werte Beton DLT 1.4

Beton charakteristisch:		
E	21342	[N/mm ²]
fc	42,13	[N/mm ²]
fct	2,67	[N/mm ²]
Gf	6,68E-05	[MN/m]

Tabelle 174: Charakteristische Werte Spannstahl DLT 1.4

Spannstahl charakteristisch:		
fp0,1	1571,8	[N/mm ²]
fp	1772,7	[N/mm ²]
E	190000	[N/mm ²]

Tabelle 175: Charakteristische Werte Betonstahl DLT 1.4

Bewehrungsstahl charakteristisch:			
Durchmesser	fy	ft	E
	[N/mm ²]	[N/mm ²]	[N/mm ²]
Ø6	510,0	568,2	200553
Ø8	482,7	596,4	196673
Ø10	472,7	542,7	195510
Ø12	504,5	579,1	194990
Ø16	541,8	628,2	196840
Ø25	506,4	598,2	201370

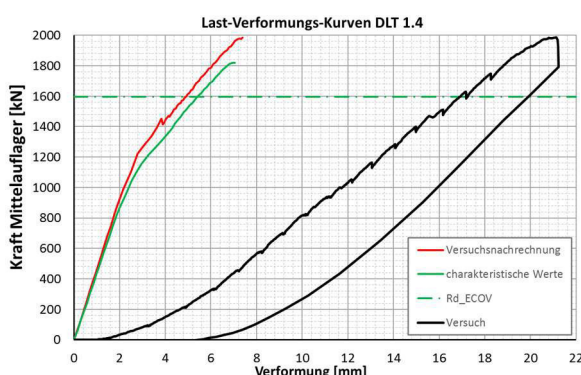


Bild 354: Last-Verformungs-Kurven aus Versuch und ATENA Simulation

Berechnung mit Streuenden Materialparametern:

$$F_{50\% \text{Fraktile}} = 1934,92 \text{ [kN]}$$

$$F_{5\% \text{Fraktile}} = 1727,15 \text{ [kN]}$$

$$\gamma^* = 1,186$$

$$\gamma_{\text{sys}} = 1,065$$

$$\gamma_R = 1,263$$

$$F_d = 1532,33 \text{ [kN]}$$

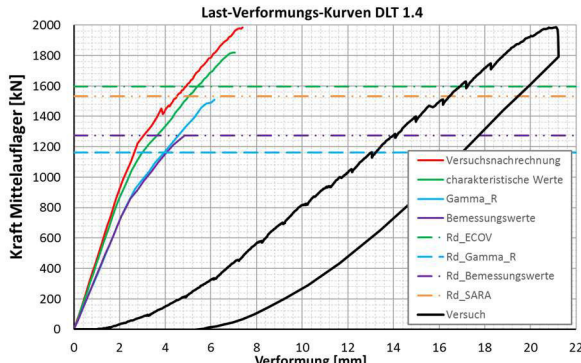


Bild 355: Last-Verformungs-Kurven und Auswertung der Sicherheitskonzepte

A.5.8 Anwendung der Sicherheitskonzepte an DLT 1.5

Bemessungswerte:

Tabelle 176: Bemessungswerte Beton DLT 1.5

Beton Bemessungswerte:	
E	17745 [N/mm ²]
fcd	23,21 [N/mm ²]
fctd	1,31 [N/mm ²]
Gfd	3,284E-05 [MN/m]

Tabelle 177: Bemessungswerte Spannstahl DLT 1.5

Spannstahl Bemessungswerte:	
fp0,1d	1358,1 [N/mm ²]
fpd	1510,7 [N/mm ²]
E	199700 [N/mm ²]

Tabelle 178: Bemessungswerte Betonstahl DLT 1.5

Bewehrungsstahl Bemessungswerte:			
Durchmes-ser	fy	ft	E
	[N/mm ²]	[N/mm ²]	[N/mm ²]
Ø6	443,5	494,1	200553
Ø8	419,8	518,6	196673
Ø10	411,1	471,9	195510
Ø12	438,7	503,6	194990
Ø16	471,1	546,2	196840
Ø25	440,3	520,2	201370

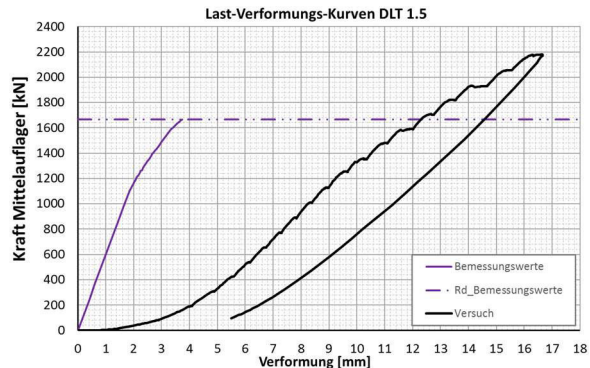


Bild 356: Last-Verformungs-Kurven aus Versuch und ATENA Simulation

γ_R Verfahren:Tabelle 179: γ_R Werte Beton DLT 1.5

Beton γ_R :		
E	17520	[N/mm ²]
f _{cR}	29,59	[N/mm ²]
f _{cR} t	1,68	[N/mm ²]
G _{fR}	4,19E-05	[MN/m]

Tabelle 180: γ_R Werte Spannstahl DLT 1.5

Spannstahl γ_R :		
f _{p0,1}	1718	[N/mm ²]
f _p	1911	[N/mm ²]
E	199700	[N/mm ²]

Tabelle 181: γ_R Werte Betonstahl DLT 1.5

Bewehrungsstahl γ_R :			
Durchmesser	fy	ft	E
	[N/mm ²]	[N/mm ²]	[N/mm ²]
Ø6	561,0	625,0	200553
Ø8	531,0	656,0	196673
Ø10	520,0	597,0	195510
Ø12	555,0	637,0	194990
Ø16	596,0	691,0	196840
Ø25	557,0	658,0	201370

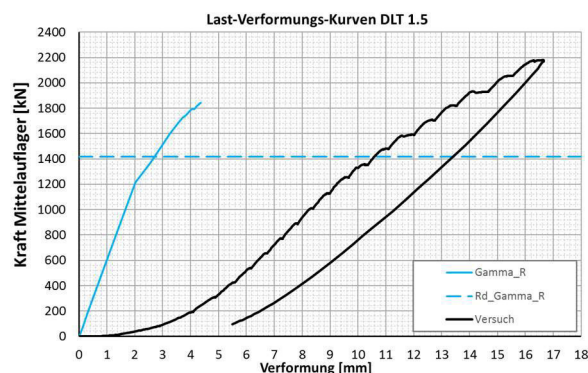


Bild 357: Last-Verformungs-Kurven aus Versuch und ATENA Simulation

ECOV Methode:

Tabelle 182: Mittelwerte Beton DLT 1.5

Beton Mittelwerte:		
E	26617,71	[N/mm ²]
f _c	44,95	[N/mm ²]
f _c t	3,312	[N/mm ²]
G _f	8,28E-05	[MN/m]

Tabelle 183: Mittelwerte Spannstahl DLT 1.5

Spannstahl Mittelwerte:		
f _{p0,1}	1718	[N/mm ²]
f _p	1911	[N/mm ²]
E	199700	[N/mm ²]

Tabelle 184: Mittelwerte Betonstahl DLT 1.5

Bewehrungsstahl Mittelwerte:			
Durchmesser	fy	ft	E
	[N/mm ²]	[N/mm ²]	[N/mm ²]
Ø6	561,0	625,0	200553
Ø8	531,0	656,0	196673
Ø10	520,0	597,0	195510
Ø12	555,0	637,0	194990
Ø16	596,0	691,0	196840
Ø25	557,0	658,0	201370

Tabelle 185: Charakteristische Werte Beton DLT 1.5

Beton charakteristisch:		
E	24249	[N/mm ²]
f _c	40,95	[N/mm ²]
f _c t	2,32	[N/mm ²]
G _f	5,80E-05	[MN/m]

Tabelle 186: Charakteristische Werte Spannstahl DLT 1.5

Spannstahl charakteristisch:		
f _{p0,1}	1561,8	[N/mm ²]
f _p	1737,3	[N/mm ²]
E	199700	[N/mm ²]

Tabelle 187: Charakteristische Werte Betonstahl DLT 1.5

Bewehrungsstahl charakteristisch:			
Durchmesser	f_y	f_t	E
	[N/mm 2]	[N/mm 2]	[N/mm 2]
$\varnothing 6$	510,0	568,2	200553
$\varnothing 8$	482,7	596,4	196673
$\varnothing 10$	472,7	542,7	195510
$\varnothing 12$	504,5	579,1	194990
$\varnothing 16$	541,8	628,2	196840
$\varnothing 25$	506,4	598,2	201370

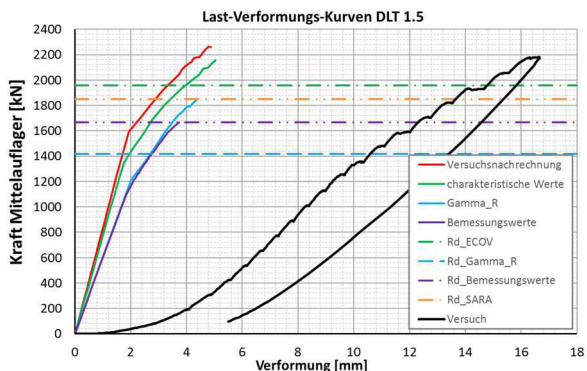


Bild 359: Last-Verformungs-Kurven und Auswertung der Sicherheitskonzepte

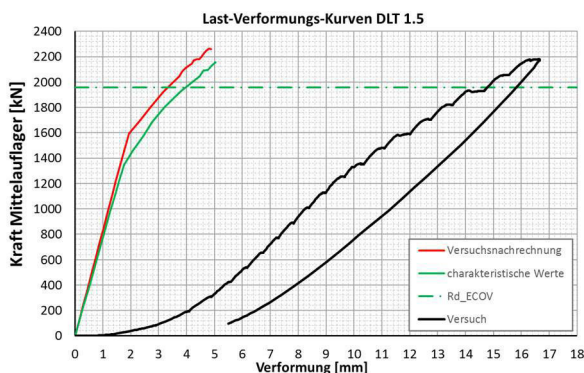


Bild 358: Last-Verformungs-Kurven aus Versuch und ATENA Simulation

Berechnung mit Streuenden Materialparametern:

$$F_{50\% \text{Fraktile}} = 2290,55 \text{ [kN]}$$

$$F_{5\% \text{Fraktile}} = 2070,88 \text{ [kN]}$$

$$\gamma^* = 1,163$$

$$\gamma_{\text{sys}} = 1,065$$

$$\gamma R = 1,238$$

$$Fd = 1849,61 \text{ [kN]}$$

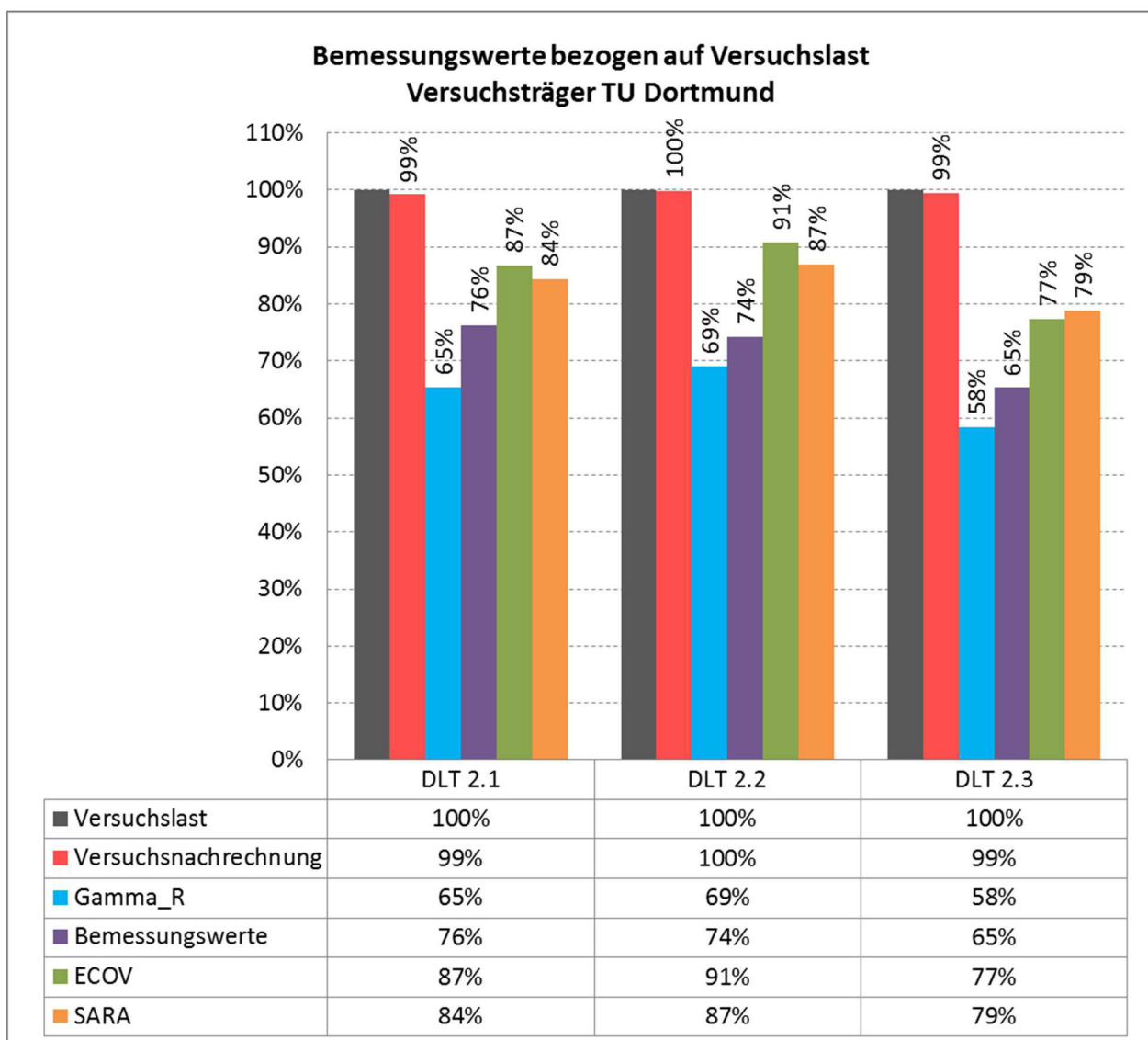


Bild 360: Bemessungswerte des Tragwiderstandes nach den einzelnen Sicherheitskonzepten bezogen auf der Versuchslast, Versuchsträger TU Dortmund

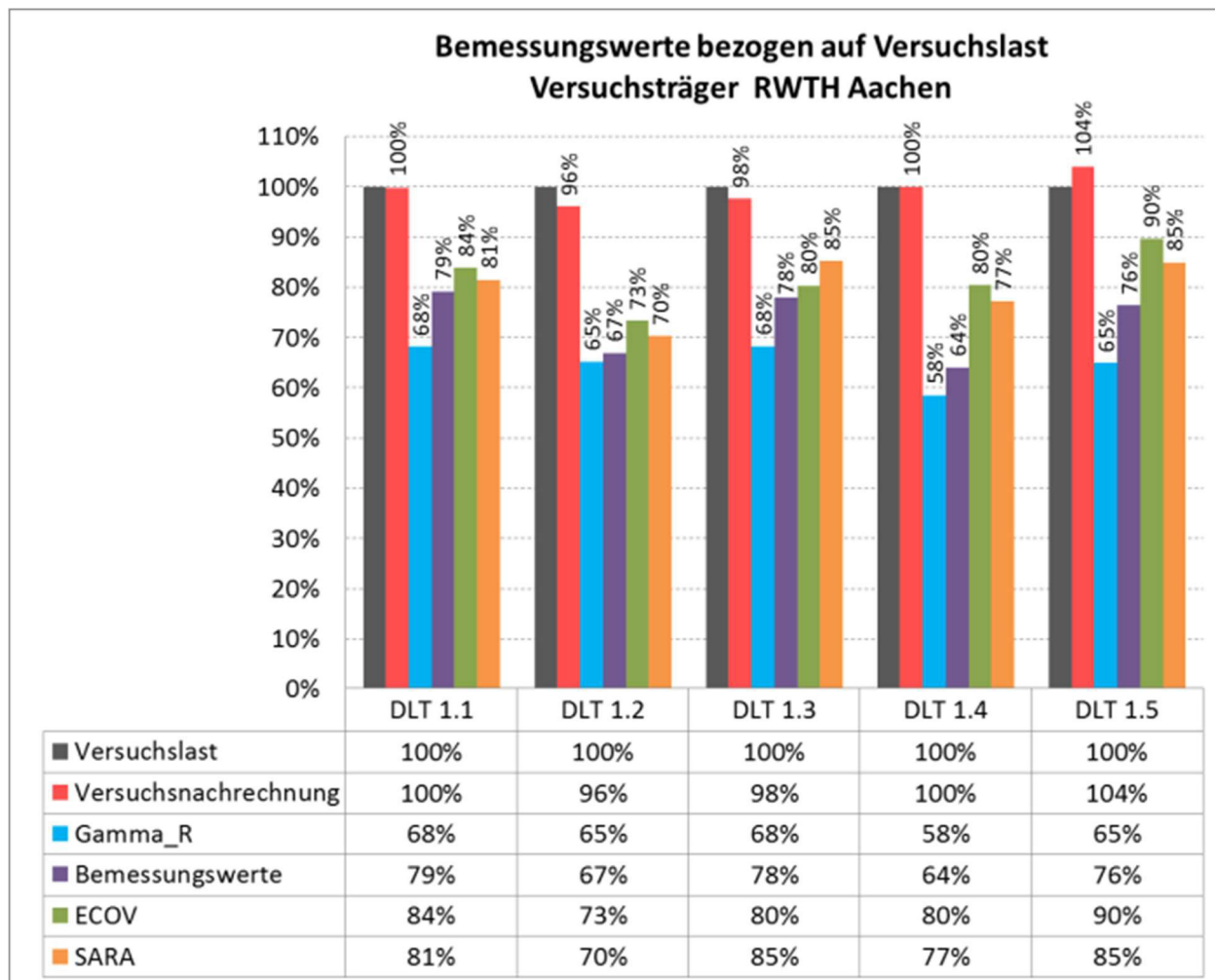


Bild 361: Bemessungswerte des Tragwiderstandes nach den einzelnen Sicherheitskonzepten bezogen auf der Versuchslast, Versuchsträger RWTH Aachen